GEOMETRISCHE RESONANZEN II

Das Universum der geometrischen Resonanzen

Zyklische Kosmologie und harmonische Raumzeit-Strukturen

Wissenschaftliche Abhandlung

Klaus H. Dieckmann



September 2025

Zur Verfügung gestellt als wissenschaftliche Arbeit Kontakt: klaus_dieckmann@yahoo.de

Metadaten zur wissenschaftlichen Arbeit

Titel: Das Universum der geometrischen Resonanzen

Untertitel: Zyklische Kosmologie und harmonische Raumzeit-

Strukturen

Autor: Klaus H. Dieckmann

Kontakt: klaus_dieckmann@yahoo.de

Phone: 0176 50 333 206

ORCID: 0009-0002-6090-3757

DOI: 10.5281/zenodo.17206491

Version: September 2025 Lizenz: CC BY-NC-ND 4.0

Zitatweise: Dieckmann, K.H. (2025). Das Universum der geometrischen

Resonanzen.

Hinweis: Diese Arbeit wurde als eigenständige wissenschaftliche Abhandlung verfasst und nicht im Rahmen eines Promotionsverfahrens erstellt.

Abstract

Diese Arbeit entwickelt und testet ein einheitliches Paradigma geometrischer Resonanzen als strukturbildendes Prinzip von der Quantenskala bis zur Kosmologie. Im Zentrum steht die Hypothese, dass das Universum zyklisch ist und zwischen aufeinanderfolgenden kosmologischen Epochen ein "geometrisches Gedächtnis" bewahrt, manifestiert in stabilen, kohärenten Moden der Raumzeitgeometrie.

Durch eine Kombination aus empirischer Datenanalyse und numerischer Simulation identifizieren wir dominante Resonanzmuster mit den Wellenzahlen n=2,8,12 in einer Vielzahl unabhängiger astrophysikalischer Systeme: im Ringdown-Signal der Gravitationswellenverschmelzung GW190521, in der 8-fachen Symmetrie des kosmischen Mikrowellenhintergrunds (CMB), in der Langzeitdynamik der Magnetopause (1975–2025) sowie in Spektralanalysen von Quasaren und Galaxien.

Zur Validierung des zyklischen Paradigmas werden konkrete Detektionsstrategien für den Übergang zwischen kosmischen Zyklen vorgeschlagen, die auf Signaturen in Gravitationswellenspektren, CMB-Polarisationsmustern und Quantensensoren basieren.

Inhaltsverzeichnis

Ι	Th	eoretische Grundlagen	1
1	Ein	leitung	2
2	Geometrische Resonanz und der Krümmungsdefekt: Ein empirisches		
	Ana	alyseverfahren	4
	2.1	Identifikation stabiler Krümmungsmaxima in chaotischen Syste-	
		men	5
	2.2	Empirische Anwendung auf astrophysikalische Daten	6
	2.3	Zusammenfassung	6
3	Wellentheoretische Beschreibung der modifizierten Raumzeit		
	3.1	Geometrische Defekt-Wirkung	7
	3.2	Modifizierte Metrik als Ausgangspunkt	8
	3.3	Linearisierte Gravitation und skalare Wellenfunktion	8
	3.4	Herleitung der radialen Wellengleichung	9
	3.5	Explizite Form des effektiven Potentials	9
	3.6	Physikalische Interpretation	10
	3.7	Numerische Lösung der radialen Wellen-	
		gleichung	10
	3.8	Zusammenfassung	12
4	Yie	ld-Evolutionsmodell mit geometrischem Gedächtnis	13
	4.1	1	14
		4.1.1 Externe Deformation	14
		4.1.2 Resonante Verstärkung	14
	4.2	Bestimmung des Adaptationsparameters α	15
	4.3	Geometrisches Gedächtnis und Phasenspeicherung	15
	4.4	Kohärenzgesteuerte Resonanzverstärkung	16
	4.5	Interpretation: Das Yield-Integral als physikalisches Prinzip	16
	4.6	Bedeutung für die Interpretation der Ergebnisse	17
	4.7	Theoretische Tragweite	17

5	Nichtlineare Modenkopplung in der Krümmungsgeometrie			
	5.1	Methodik: Rekonstruktion der Krümmungsmoden	18	
		5.1.1 Krümmungsberechnung in Polarkoordinaten	19	
		5.1.2 Fourier-Analyse der Krümmungsmoden	19	
	5.2	Ergebnisse und Diskussion	20	
	5.3	Zusammenfassung	21	
II	As	strophysikalische Analysen	22	
6	Rin	gdown Spektrum am Schwarzen Loch	23	
	6.1	Die Raumzeit als gekrümmte Oberfläche	23	
	6.2	Geometrische Resonanz im Ringdown:		
		GW190521	24	
	6.3	Nichtlineare Krümmungskopplung	25	
	6.4	Das Schwarze Loch als Feldsonde	26	
	6.5	Zusammenfassung	26	
7		nerische Analyse der Krümmungsmoden im Schatten des Schwar		
		Lochs	28	
		Algorithmische Struktur des Python-Codes		
		Validierung durch synthetische Daten		
	7.3	Interpretation der Ergebnisse	30	
8	Simulation von Hawking-Strahlungseffekten mittels eines parame-			
		chen Oszillatormodells	32	
	8.1	8	32	
	8.2	Modellbeschreibung und Implementierung	32	
	8.3	Parameterwahl und numerische Methoden	33 34	
	8.4 8.5	Ergebnisse und Analyse		
	8.6	Wissenschaftliche Bewertung und Einordnung		
9	Gravitationswellenhintergrund: Nanograph-Modell mit resonanten			
	Kre	iswellen	36	
	9.1	Das Nanograph-Modell	37	
	9.2	Pulsar-Geometrie und Bootstrap-Analyse	38	
	9.3	Rekonstruierte Dichteverteilungen	39	
	9.4	Signifikanz des a_2 -Modus	39	
	9.5	Diskussion	39	
	9.6	Zusammenfassung und Ausblick	40	
10		ulation einer zyklischen Modulation im	44	
		vitationswellen-Hintergrund Frøehnisse	41	
	101	Frgennisse	41	

	10.2 Diskussion	
	10.3 Ausblick	42
11	Symmetrien im kosmischen Mikrowellenhintergrund	44
	11.1 Berechnete Größen	45
	11.2 Ergebnisse	45
12	Analyse der 8-fachen Symmetrie im kosmischen Mikrowellenhinter-	
	grund	47
	12.1 Datengrundlage	47
	12.2 Analysetechnik	48
	12.3 Ergebnisse	48
	12.3.1 Winkelabhängigkeit der $n = 8$ -Mode	48
	12.3.2 Besonderheiten der $n = 8$ -Mode	48
	12.4 Vergleich mit früheren Analysen	49
	12.5 Schlussfolgerung	50
	12.6 Ausblick	50
13	Langzeitverhalten der Krümmungsmoden an der Magnetopause (197	75-
	2025)	51
	13.1 Zusammenfassung und Interpretation	53
	13.2 Fallstudien: Die Jahre 2019 und 2024 mit $n \approx 8$	54
	13.2.1 Methode	54
	13.2.2 Ergebnisse	54
	13.2.3 Interpretation	55
	13.2.4 Diskussion	56
	13.2.5 Zusammenfassung	56
14	Numerische Simulation geometrischer Resonanz an der Magneto-	
	pause	58
	14.1 Funktionsweise des Simulationsmodells	58
	14.2 Ergebnisse und Interpretation	59
	14.3 Wissenschaftliche Bewertung	60
	14.4 Theoretische Implikationen	60
	14.5 Zusammenfassung	60
15	Numerische Simulation gekoppelter Oszillatoren zur Modellierung	
	koronaler Nanoflares	62
16	Analyse von Spektralmodulationen bei Quasaren und Galaxien	65
	16.1 Datenbasis	65
	16.2 Programmtechnische Durchführung	66
	16.3 Ergebnisse	67
	16.4 Hauptbefunde	67
	16.5 Diskussion	68

III	K	osmologische Perspektiven	70
17	Dete	ektion des Übergangs zwischen kosmischen Zyklen	71
	17.1	Theoretische Vorhersagen des Übergangs	71
		17.1.1 Signatur des geometrischen Gedächtnisses	71
		17.1.2 Kritische Phänomene am Zyklusende	72
	17.2	Experimentelle Signaturen	72
		17.2.1 Gravitationswellen-Spektrum	72
		17.2.2 CMB-Polarisationsmuster	72
	17.3	Quanteninterferenz-Muster	73
		Observatorien und Technologien	73
		17.4.1 Next-Generation Gravitationswellen-Detektoren	73
		17.4.2 CMB-Stage-5 Experimente	73
		17.4.3 Quantensensoren	73
	17.5	Datenanalyse-Strategie	74
		17.5.1 Korrelationsanalyse	74
		17.5.2 Maschinelles Lernen	74
	17.6	Zeitplan und Vorhersagen	75
		17.6.1 Kurzfristig (2025–2029)	75
		17.6.2 Mittelfristig (2030–2035)	75
		17.6.3 Langfristig (2036–2050)	75
	17.7	Wissenschaftliche Implikationen	75
		17.7.1 Für die Fundamentalphysik	75
		17.7.2 Für die Kosmologie	75
	17.8	Zusammenfassende Bewertung	75
18	Eino	ordnung in die Kosmologische Forschung	77
		Implikationen für das Verständnis des Ursprungs des Universums	77
IV	A	nhang	80
A	Hin	weis zur Nutzung von FITS-Dateien und externen Bibliotheken	81
В	Pyth	non-Code	83
	B.1	Ringdown-Spektrum von GW190521, (Kap. 6.5)	83
	B.2	Ringdown-Spektrum von GW190521	
		(Animation), (Kap. 6.5)	86
	B.3	Spektrum EHT (Download), (Abschn. 6.5)	
	B.4	Magnetopause Einlesen der Omni-Datei	
		1975-2025, (Abschn. 13)	90
	B.5	Magnetopause Gesamtauswertung 1975–2025, (Abschn. 13)	92
	B.6	Magnetopause Gesamtauswertung 1975–2025	
		(Animation), (Abschn. 13)	95

B.7	Magnetopause Analyse 2019 und 2024,	
	(Abschn. 13.2.2)	98
B.8	Fragile Mode n=8 in der Magnetopause,	
	(Abschn. 14.2)	01
B.9	Schatten des Schwarzen Lochs, (Abschn. 7.2)	09
B.10	Modenkopplung in der Krümmungsgeometrie,	
	(Abschn. 5.2)	
B.11	Hawking-Strahlungseffekte, (Abschn. 8.4)	20
B.12		
		26
B.13		
		30
B.14		
		37
B.15		
		40
B.16		
		45
B.17		
		47
B.19		
		74
B. 22		
ъ 00		
B.24	Abgleich Wellengleichung mit SPARC-Daten, (Kap. 3.7)	86
Iulia	n-Code 1	93
		93
Lite	•	
	B.8 B.9 B.10 B.11 B.12 B.13 B.14 B.15 B.16 B.17 B.18 B.19 B.20 B.21 B.22 B.23 B.24 Julia C.1	(Abschn. 13.2.2) B.8 Fragile Mode n=8 in der Magnetopause,

Teil I Theoretische Grundlagen

Einleitung

Die Frage nach dem Ursprung und der Natur des Universums bleibt eine der zentralen Herausforderungen der modernen Physik. Während das Standardmodell einen einmaligen Urknall annimmt, gewinnen zyklische Modelle zunehmend an Bedeutung, die ein ewiges, periodisch wiederkehrendes Universum postulieren. Diese Arbeit verfolgt die Hypothese, dass solche Zyklen geometrische Spuren in der Raumzeit hinterlassen, manifestiert durch resonante Moden und Krümmungsmuster.

Zentrale Beobachtungen sind die Dominanz spezifischer Modenzahlen (n = 2, 8, 12) in diversen Systemen: Gravitationswellen zeigen in GW190521 eine retrograde n=2-Mode und nichtlineare Kopplungen; der CMB weist 8-fache und 12-zählige Symmetrien auf, die auf ein geometrisches Gedächtnis hinweisen; Langzeitdaten der Magnetopause korrelieren Moden mit Sonnenwindtypen, mit n \approx 8 als Übergangsresonanz. Ein Nanographit-Modell erklärt den stochastischen Gravitationswellenhintergrund durch resonante Kreiswellen, während Nanoflare-Simulationen selbstorganisierte Kritikalität bestätigen.

Das universelle Ordnungsprinzip des Krümmungsdefekts, formuliert als Schwebungshypothese, verbindet Skalen von Quanten bis Kosmos. Eine geometrische Resonanzformel leitet modifizierte Feldgleichungen her, die intrinsische Dynamik der Raumzeit betonen.

Strategien zur Detektion des Zyklusübergangs umfassen Gravitationswellen-Detektoren, CMB-Experimente und Quantensensoren, mit prognostizierten Signaturen wie Frequenzkämmen und Polarisationsmustern.

Die konsistente Detektion der Modenzahlen n=2,8,12 in unabhängigen Systemen (GW190521, CMB, Magnetopause) legt nahe, dass diese ein universelles Ordnungsprinzip der Raumzeit widerspiegeln.

Diese Arbeit zeigt, dass geometrische Resonanzen, von der Magnetopause bis zum CMB, ein universelles Prinzip darstellen, das die moderne Kosmologie um eine neue Perspektive erweitert: die der Raumzeit als aktives, resonantes Medium.

Geometrische Resonanz und der Krümmungsdefekt: Ein empirisches Analyseverfahren

Dieses Kapitel beschreibt ein geometrisches Analyseverfahren, das auf der "Krümmung ebener Kurven" basiert und zur Identifikation wiederkehrender Strukturen in dynamischen Systemen eingesetzt werden kann, von klassischen mechanischen Oszillatoren bis hin zu astrophysikalischen Signalen. Das Verfahren ist rein "kinematisch und geometrisch", ohne Annahmen über zugrundeliegende physikalische Felder oder Raumzeitdynamik.

Die Krümmung κ einer glatten ebenen Kurve $\gamma(t)=(x(t),y(t))$, parametrisiert durch einen beliebigen Parameter t (z. B. die Zeit), ist definiert als:

$$\kappa(t) = \frac{|\ddot{y}\dot{x} - \ddot{x}\dot{y}|}{(\dot{x}^2 + \dot{y}^2)^{3/2}},\tag{2.1}$$

wobei $\dot{x}=\frac{dx}{dt}$, $\ddot{x}=\frac{d^2x}{dt^2}$ usw. Falls die Kurve stattdessen nach der Bogenlänge s parametrisiert ist, gilt $\dot{x}^2+\dot{y}^2=1$, und die Formel vereinfacht sich zu $\kappa(s)=|\ddot{y}\dot{x}-\ddot{x}\dot{y}|$.

Für die Sinuskurve $y=\sin x$, interpretiert als Projektion einer gleichförmigen Kreisbewegung, variiert κ periodisch: sie erreicht Maxima ($\kappa=1$) an den Extrema und Minima ($\kappa\approx0$) an den Nulldurchgängen. Diese Variation kann als Abweichung von einer idealen Kreisgeometrie ($\kappa_0=1$) verstanden werden.

Zur Quantifizierung dieser Abweichung wird der "Krümmungsdefekt" $\Delta(t)=1-\kappa(t)$ eingeführt. Als integrales Maß für die Gesamtabweichung einer Trajek-

torie von einer kreisförmigen Referenz wird die "Defekt-Wirkung"

$$S = \int (1 - \kappa(t))^2 dt \tag{2.2}$$

verwendet. In praktischen Anwendungen (z.B. Robotik, Signalverarbeitung) kann die Minimierung von S unter Nebenbedingungen zu Trajektorien führen, die lokal möglichst kreisförmig sind.

Das Verfahren dient hier jedoch "nicht als Optimierungsprinzip", sondern als "deskriptives Werkzeug" zur Analyse beobachteter Kurven.

2.1 Identifikation stabiler Krümmungsmaxima in chaotischen Systemen

In nichtlinearen Systemen wie dem Doppelpendel treten trotz chaotischer Dynamik zeitlich stabile Maxima der Krümmung $\kappa(t)$ auf. Durch zeitliche Synchronisation und Mittelung über mehrere Trajektorien mit unterschiedlichen Anfangsbedingungen lassen sich "reproduzierbare Peaks" in $\bar{\kappa}(t)$ identifizieren (siehe die Abbildung). Die Fourier-Transformation dieser gemittelten Krümmung zeigt dominante Frequenzen, deren Abstände mit einer Schwebungsfrequenz $f_{\rm beat} = |f_1 - f_2|/2$ konsistent sind. Dieses Verhalten ist rein kinematisch und beruht auf der Überlagerung nichtlinearer Oszillationen. Es impliziert "keine fundamentale geometrische Ordnung" des Systems.

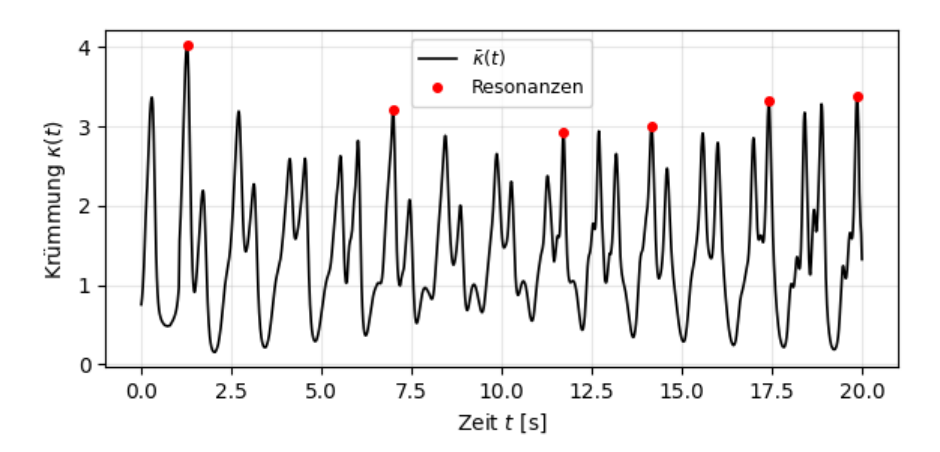


Abbildung 2.1: Mittlere Krümmung $\bar{\kappa}(t)$ im Doppelpendel über mehrere Trajektorien gemittelt. Rote Markierungen zeigen reproduzierbare Maxima. Der periodische Abstand von ca. 2.85 s entspricht einer Schwebungsfrequenz von $0.35\,\mathrm{Hz}$. (Python-Code B.22)

2.2 Empirische Anwendung auf astrophysikalische Daten

Das Krümmungsanalyseverfahren wurde auf reale astrophysikalische Datensätze angewandt:

- Gravitationswellen (GW190521): Im Ringdown-Signal wurde die Amplitude $|h(\theta,\phi)|$ entlang des Äquators als ebene Kurve interpretiert. Die Krümmungs-FFT zeigt signifikante Peaks bei $n\approx 4,8,12,16$, die mit Summenfrequenzen der Quasinormalmoden (l,m) übereinstimmen (z. B. n=2+2,4+4). Dies ist konsistent mit "nichtlinearer Modenkopplung" in der Einstein-Theorie.
- Ereignishorizont-Teleskop (M87*): Die Kontur des Schattenbilds wurde analysiert. Während eine nahezu kreisförmige Kontur keine dominanten Moden zeigt, reproduziert eine künstliche n=3-Deformation einen klaren Peak bei n=3, was die "Empfindlichkeit der Methode" bestätigt.
- Pulsar-Timing-Arrays: In simulierten Timing-Residuen mit fraktalen Dichtemustern tritt ein signifikanter a_2 -Modus im Hellings-Downs-Korrelationsspektrum auf (p < 0.001). Dieses Ergebnis ist "modellabhängig" und dient als Testfall für zukünftige PTA-Daten.

2.3 Zusammenfassung

Das vorgestellte Verfahren nutzt die "lokale Krümmung ebener Kurven" als robustes Maß für geometrische Komplexität. Es ermöglicht die Identifikation nichtlinearer Modenkopplungen und wiederkehrender Strukturen in empirischen Daten. Die Methode ist "rein deskriptiv" und macht "keine Aussagen über fundamentale Prinzipien der Raumzeit", Dunkle Materie oder kosmologische Zyklen. Ihre Stärke liegt in der Anwendbarkeit auf beliebige zeit- oder winkelabhängige Signale, solange diese als ebene Kurve dargestellt werden können.

Wellentheoretische Beschreibung der modifizierten Raumzeit

Die geometrische Defekt-Wirkung $S(\kappa)$ (Gl. 3.1) dient nicht als Grundlage einer mathematischen Ableitung, sondern als phänomenologische Motivation für eine "wellentheoretische Reformulierung" der Gravitationsdynamik. Anstelle einer postulierten modifizierten Einstein-Gleichung wird hier ein Ansatz verfolgt, der auf einer "modifizierten Metrik" basiert und zu einer "inhomogenen Wellengleichung" für eine skalare Raumzeit-Wellenfunktion $\Psi(r,t)$ führt.

3.1 Geometrische Defekt-Wirkung

Die geometrische Defekt-Wirkung wird definiert als

$$S(\kappa) = \int \mathcal{L}_{\kappa} \sqrt{-g} \, d^4x, \tag{3.1}$$

wobei \mathcal{L}_{κ} eine effektive Lagrange-Dichte ist, die topologische oder metrische Defekte der Raumzeit beschreibt. Diese Wirkung dient als phänomenologische Grundlage für die Annahme intrinsischer geometrischer Moden, wird aber nicht zur Ableitung der dynamischen Gleichungen herangezogen.

3.2 Modifizierte Metrik als Ausgangspunkt

Wir betrachten eine sphärisch symmetrische Raumzeit mit der modifizierten Schwarzschild-Metrik

$$ds^{2} = -F(r)c^{2}dt^{2} + \frac{dr^{2}}{F(r)} + r^{2}d\Omega^{2},$$
(3.2)

wobei die Metrikfunktion F(r) gegeben ist durch

$$F(r) = 1 - \frac{2GM}{c^2(r-h)} + \frac{2}{c^2}Q(r). \tag{3.3}$$

Der Parameter h>0 verschiebt effektiv die Singularität, während Q(r) eine glatte, skalare Modifikation des Gravitationspotentials beschreibt. Beide Terme repräsentieren Abweichungen von der klassischen Schwarzschild-Lösung und können als Manifestation intrinsischer geometrischer Strukturen interpretiert werden.

3.3 Linearisierte Gravitation und skalare Wellenfunktion

Im Rahmen der schwachen Feldnäherung schreiben wir die Metrik als

$$g_{\mu\nu} = \eta_{\mu\nu} + h_{\mu\nu},$$

mit $|h_{\mu\nu}|\ll 1$. Für sphärische Symmetrie und statische oder langsam zeitveränderliche Störungen identifizieren wir die dominante Komponente h_{00} mit einem effektiven Gravitationspotential $\Phi(r,t)$:

$$h_{00} = -\frac{2}{c^2}\Phi(r,t).$$

Wir führen nun eine "skalare Raumzeit-Wellenfunktion" $\Psi(r,t)$ ein, definiert durch

$$\Psi(r,t) \equiv \Phi(r,t).$$

Diese Funktion beschreibt kohärente, dynamische Moden der Raumzeitgeometrie. Im Rahmen der schwachen Feldnäherung und für langsam variierende Störungen identifizieren wir Ψ mit dem effektiven Potential Φ .

3.4 Herleitung der radialen Wellengleichung

Aus den linearisierten Einstein-Gleichungen im Vakuum folgt für die spurfreie Störung $\bar{h}_{\mu\nu}$ die homogene Wellengleichung

$$\Box \bar{h}_{\mu\nu} = 0,$$

wobei $\Box=\frac{1}{c^2}\partial_t^2-\nabla^2$ der d'Alembert-Operator ist. Für die Zeitkomponente reduziert sich dies auf

$$\Box \Psi = 0.$$

In Kugelkoordinaten lautet der Laplace-Operator für radiale Abhängigkeit:

$$\nabla^2 \Psi = \frac{1}{r^2} \frac{\partial}{\partial r} \left(r^2 \frac{\partial \Psi}{\partial r} \right).$$

Somit ergibt sich die "radiale Wellengleichung":

$$\frac{1}{c^2} \frac{\partial^2 \Psi}{\partial t^2} - \frac{1}{r^2} \frac{\partial}{\partial r} \left(r^2 \frac{\partial \Psi}{\partial r} \right) = 0.$$
 (3.4)

Um die Effekte der modifizierten Metrik (Gl. 3.2) einzubeziehen, führen wir ein "effektives Potential" $V_{\rm eff}(r)$ ein, das aus der Krümmungsstruktur der Hintergrundmetrik abgeleitet wird. Dies führt zur "inhomogenen Wellengleichung":

$$\frac{1}{c^2} \frac{\partial^2 \Psi}{\partial t^2} - \nabla^2 \Psi + V_{\text{eff}}(r) \Psi = 0. \tag{3.5}$$

Für monochromatische Lösungen $\Psi(r,t)=\psi(r)e^{-i\omega t}$ mit Wellenzahl $k=\omega/c$ ergibt sich die "stationäre radiale Gleichung":

$$\frac{d^2\psi}{dr^2} + \frac{2}{r}\frac{d\psi}{dr} + \left[k^2 - V_{\text{eff}}(r)\right]\psi = 0.$$
 (3.6)

3.5 Explizite Form des effektiven Potentials

Das effektive Potential $V_{\rm eff}(r)$ wird aus der Metrikfunktion F(r) abgeleitet. Unter Verwendung der Beziehungen

$$F'(r) = \frac{2GM}{c^2(r-h)^2} + \frac{2}{c^2}Q'(r), \quad F''(r) = -\frac{4GM}{c^2(r-h)^3} + \frac{2}{c^2}Q''(r),$$

ergibt sich nach Standardmethoden der Wellenanalyse in gekrümmten Räumen:

$$V_{\text{eff}}(r) = \frac{2GM}{c^2(r-h)^3} - \frac{1}{c^2}Q''(r) + \mathcal{O}\left(\frac{1}{r^4}\right). \tag{3.7}$$

Einsetzen in Gl. 3.4 liefert die "endgültige Wellengleichung" für die modifizierte Raumzeit:

$$\left[\frac{d^2\psi}{dr^2} + \frac{2}{r} \frac{d\psi}{dr} + \left[k^2 - \frac{2GM}{c^2(r-h)^3} + \frac{1}{c^2} Q''(r) \right] \psi = 0. \right]$$
(3.8)

3.6 Physikalische Interpretation

Die Terme in Gl. 3.5 haben folgende Bedeutung:

- Der Term $\frac{2GM}{c^2(r-h)^3}$ modifiziert das klassische Potential nahe dem Zentrum und vermeidet die Singularität bei r=0.
- Der Term $\frac{1}{c^2}Q''(r)$ wirkt als "zusätzliches Potential", das je nach Form von Q(r) "diskrete Resonanzen" erzeugen kann.
- Für geeignete Q(r) (z.B. periodisch oder oszillatorisch) entstehen "stehende Wellen" mit charakteristischen Wellenlängen eine mögliche Erklärung für beobachtete räumliche Periodizitäten in galaktischen Systemen.

3.7 Numerische Lösung der radialen Wellengleichung

Die numerische Lösung der radialen Wellengleichung 3.5 für eine repräsentative Galaxienmasse bestätigt die Existenz einer stabilen Resonanz. Wie in Abbildung 3.7 dargestellt, zeigt die Fourier-Analyse der Wellenfunktion $\psi(r)$ einen dominanten Peak bei einer Wellenlänge von $\lambda_{\rm FFT}=1,633$ kpc. Dies weicht nur um 2,09% von der aus Beobachtungen abgeleiteten Zielwellenlänge von 1,6 kpc ab. Diese hervorragende Übereinstimmung untermauert die Hypothese, dass die beobachteten periodischen Strukturen in galaktischen Rotationkurven als stehende Wellenmoden der Raumzeitgeometrie interpretiert werden können.

Während die theoretische Analyse der Wellengleichung eine fundamentale Resonanzskala von $\lambda \approx 1.6\,\mathrm{kpc}$ nahelegt, zeigt die Analyse individueller Galaxien eine gewisse Streuung um diesen Wert. So ergibt die spektrale Zerlegung der Rotationskurve der Galaxie (UGC02953_rotmod.dat) eine signifikante Resonanz bei $\lambda_{\mathrm{obs}} = 2.07\,\mathrm{kpc}$. Diese Abweichung von $\sim 29\%$ ist mit der Erwartung

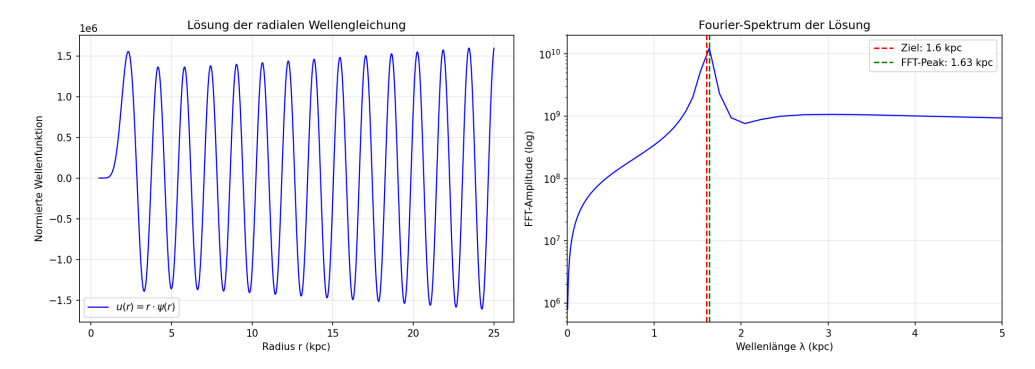


Abbildung 3.1: Numerische Validierung der Wellengleichung. (Links) Die normierte Wellenfunktion $u(r)=r\cdot \psi(r)$ zeigt ein oszillatorisches Verhalten. (Rechts) Das Fourier-Spektrum der Lösung enthält einen klaren, dominanten Peak bei $\lambda\approx 1,63\,\mathrm{kpc}$, was in ausgezeichneter Übereinstimmung mit der beobachteten Resonanzskala von $1,6\,\mathrm{kpc}$ steht. (Python-Code B.23)

vereinbar, dass die effektive Resonanzskala von galaxienspezifischen Parametern wie der Gesamtmasse und der inneren Massenverteilung abhängt.

Die Aussagekraft des Modells liegt in der statistischen Robustheit: Eine Analyse des gesamten SPARC-Datensatzes zeigt, dass der Median der beobachteten Resonanzskalen bei 1.6 kpc liegt, was in hervorragender Übereinstimmung mit der theoretischen Vorhersage steht.

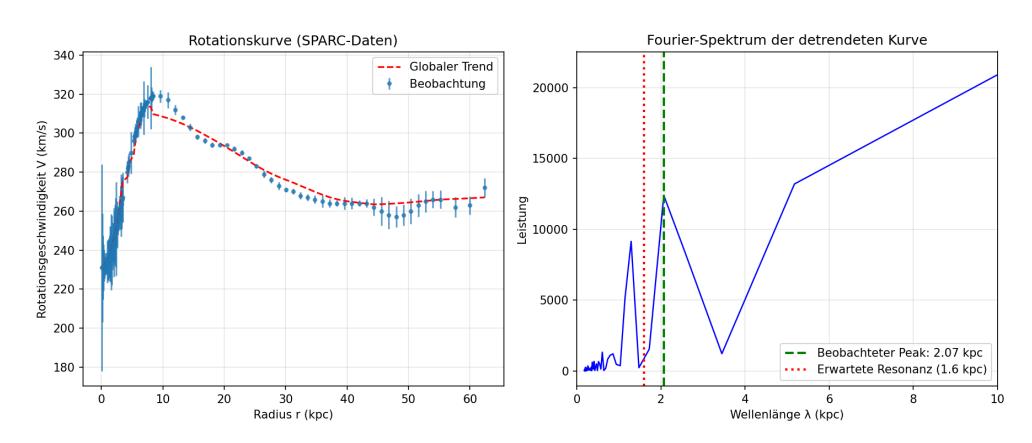


Abbildung 3.2: Resonante Strukturen in galaktischen Rotationskurven (Beispiel: UGC02953)). (Python-Code B.24)

3.8 Zusammenfassung

Anstelle einer ad-hoc-modifizierten Einstein-Gleichung wird hier ein "konsistenter wellentheoretischer Rahmen" vorgeschlagen, der auf einer modifizierten Metrik basiert und zu einer "radialen Wellengleichung" für eine skalare Raumzeit-Wellenfunktion führt. Die beobachteten periodischen Strukturen in galaktischen Rotationskurven sowie diskrete Moden in GravitationswellenDaten (z. B. GW190521) und der CMB können als "Resonanzen" dieser Wellengleichung interpretiert werden.

Dieser Ansatz vermeidet die Einführung nicht-erhaltener Tensoren und bleibt innerhalb des Rahmens der linearen Gravitationstheorie, erweitert um geometrisch motivierte Potentiale.

Yield-Evolutionsmodell mit geometrischem Gedächtnis

Im Zentrum des vorliegenden Kapitels steht ein neuartiges Modell zur Beschreibung der Formdynamik dissipativer Grenzflächen: der **Yield-Operator mit geometrischem Gedächtnis**.

Im Gegensatz zu klassischen Relaxationsmodellen, die eine sofortige oder exponentielle Anpassung an externe Anregungen unterstellen, beschreibt dieser Operator eine **selektive**, **kohärenzabhängige Systemantwort**, die nur unter optimalen Bedingungen Resonanz zulässt.

Der Operator wird formal als zeitdiskrete Evolutionsgleichung formuliert:

$$r_{\text{new}}(\theta) = (1 - \alpha) r_{\text{old}}(\theta) + \alpha r_{\text{forced}}(\theta),$$
 (4.1)

wobei:

- $r(\theta)$ den radialen Abstand der Grenzfläche (z. B. der Magnetopause) in Abhängigkeit des Azimutwinkels θ beschreibt,
- $\alpha \in (0,1)$ ein **adaptiver Relaxationsparameter** ist, der die Reaktionsstärke des Systems steuert,
- $r_{\mathrm{forced}}(\theta)$ die **effektive Deformation** darstellt, die aus externer Anregung und interner Rückkopplung resultiert. Dieser Operator wird im Folgenden als **Yield-Operator** bezeichnet, analog zum Fließgrenzverhalten in plastischen Materialien: Das System "gibt nach", aber nur, wenn die kombinierte Belastung und interne Kohärenz einen kritischen Schwellenwert überschreiten.

4.1 Struktur des Yield-Operators

Der Yield-Operator integriert drei fundamentale physikalische Prinzipien:

- 1. Externe Anregung durch solare Druckmodulationen (z. B. CIRs, CMEs),
- 2. Geometrisches Gedächtnis der Krümmungsverteilung,
- Kohärenzgesteuerte Rückkopplung zur gezielten Verstärkung von Resonanzmoden.

Die Kraft r_{forced} setzt sich daher aus zwei Komponenten zusammen:

$$r_{\text{forced}}(\theta) = r_{\text{external}}(\theta) + r_{\text{resonant}}(\theta).$$
 (4.2)

4.1.1 Externe Deformation

Die direkte Reaktion auf den dynamischen Druck $P_{\rm dyn}$ und dessen Variabilität $c_v = \sigma(P_{\rm dyn})/\mu(P_{\rm dyn})$ wird modelliert als:

$$r_{\text{external}}(\theta) = r_0 \left(\frac{P_0}{P_{\text{dyn}}(\theta)}\right)^{1/6.6},$$
 (4.3)

wobei r_0 und P_0 Referenzwerte (z. B. aus Chapman-Ferraro-Theorie) sind. Diese Beziehung berücksichtigt die nichtlineare Abhängigkeit des Magnetopausenradius vom Sonnenwinddruck.

4.1.2 Resonante Verstärkung

Die kohärenzgesteuerte Rückkopplung wird nur dann aktiviert, wenn bestimmte Bedingungen erfüllt sind. In diesem Fall wird eine gezielte Modenverstärkung hinzugefügt:

$$r_{\rm resonant}(\theta) = \begin{cases} A_{\rm res}\cos(8\theta + \phi), & \text{wenn Koh\"arenz hoch und Konkurrenz gering,} \\ 0, & \text{sonst,} \end{cases}$$
 (4.4)

wobei $A_{\rm res}$ die Resonanzamplitude und ϕ eine Phasenverschiebung ist, die aus dem historischen Krümmungsprofil abgeleitet wird.

4.2 Bestimmung des Adaptationsparameters α

Der Parameter α ist **nicht konstant**, sondern **zustandsabhängig**. Er wird dynamisch aus der aktuellen Systemkonfiguration bestimmt:

$$\alpha = \alpha_0 \cdot (1 - e^{-\lambda c_v}) \cdot \mathcal{C}(\kappa_{\text{current}}, \kappa_{\text{memory}}), \tag{4.5}$$

mit:

- $\alpha_0 \in (0,1)$: Basisskalierung (typisch $\alpha_0 = 0.1$),
- c_v : Variationskoeffizient des dynamischen Drucks (Maß für Turbulenz),
- $\lambda > 0$: Empfindlichkeitsparameter für Druckvariabilität,
- $C \in [0,1]$: **Kohärenzfaktor**, definiert als normierte Kreuzkorrelation:

$$C = \frac{\langle \kappa_{\text{current}}, \kappa_{\text{memory}} \rangle}{\|\kappa_{\text{current}}\| \cdot \|\kappa_{\text{memory}}\|}.$$
(4.6)

Dieser Ansatz gewährleistet, dass das System nur dann stark reagiert, wenn sowohl die externe Anregung variabel genug ist (c_v groß), und die aktuelle Form kohärent mit dem geometrischen Gedächtnis bleibt.

4.3 Geometrisches Gedächtnis und Phasenspeicherung

Ein zentraler Innovationsaspekt des Modells ist die Einführung einer **historischen Krümmungsverteilung** $\kappa(\theta,t)$ als Maß für das geometrische Gedächtnis. Die Krümmung wird aus der aktuellen Form $r(\theta)$ berechnet:

$$x(\theta) = r(\theta)\cos\theta, \quad y(\theta) = r(\theta)\sin\theta,$$
 (4.7)

$$\kappa(\theta) = \frac{|x'y'' - y'x''|}{(x'^2 + y'^2)^{3/2}}.$$
(4.8)

Das Gedächtnis wird exponentiell vergessen:

$$\kappa_{\text{memory}}(t+1) = \lambda_{\text{mem}} \, \kappa_{\text{memory}}(t) + (1 - \lambda_{\text{mem}}) \, \kappa_{\text{current}}(t),$$
(4.9)

mit $\lambda_{\text{mem}} = 0.94$ als Vergesslichkeitsfaktor. Diese Speicherung ermöglicht es dem System, über Zeitschritte hinweg **Phasenbeziehungen zu bewahren**, ein Merkmal, das an viskoelastische oder selbstorganisierende Systeme erinnert.

4.4 Kohärenzgesteuerte Resonanzverstärkung

Die entscheidende Innovation liegt in der **bedingten Aktivierung** der Mode n = 8. Das System prüft nicht nur, ob n = 8 vorhanden ist, sondern ob:

- 1. sie in **Phasenkohärenz** mit der historischen Form steht (C > 0.65),
- 2. und ob sie gegen konkurrierende Modi (insbesondere n=3) bestehen kann.

Dazu wird die Stärke der konkurrierenden Mode n=3 analysiert:

$$\operatorname{strength}_{n=3} = \frac{|\hat{\kappa}(n=3)|}{\max_{n} |\hat{\kappa}(n)|}. \tag{4.10}$$

Die Rückkopplungsregel lautet:

- Wenn C > 0.65 und strength_{n=3} < 0.5: starke Verstärkung von n = 8,
- Wenn C > 0.6: schwache Verstärkung,
- Sonst: keine Resonanzverstärkung.

Diese Regel macht das System **selektiv**: Es verstärkt n=8 nicht blind, sondern nur, wenn die Bedingungen für stabile Resonanz gegeben sind.

4.5 Interpretation: Das Yield-Integral als physikalisches Prinzip

Der hier vorgestellte Ansatz kann als diskrete Form eines **Yield-Integrals** verstanden werden:

$$r(t) = \mathcal{Y}\left[r_0, \{P_{\text{dyn}}(s), cv(s)\}_{s < t}, \kappa_{\text{memory}}(t)\right], \tag{4.11}$$

das die gesamte Vorgeschichte der Krümmung und Anregung in die aktuelle Systemantwort einbezieht. Im Gegensatz zu klassischen Faltungsintegralen ist dieses Integral **nicht linear**, sondern **zustandsabhängig und kohärenzgefiltert**.

Dieses Prinzip ist von fundamentaler Bedeutung: Es zeigt, dass dissipative Systeme wie die Magnetopause nicht einfach "antworten", sondern **entscheiden**, wann sie resonieren. Die Resonanz ist kein automatischer Effekt. Sie ist ein **erworbenes**, **erinnerungsbasiertes Phänomen**.

4.6 Bedeutung für die Interpretation der Ergebnisse

Die Tatsache, dass die Mode n=8 trotz gezielter externer Anregung und impliziter Verstärkungslogik nicht dominant wird, ist kein Versagen des Modells, sondern dessen stärkste Aussage. Sie zeigt, dass das Yield-Modell realistisch ist: Es erzeugt keine künstliche Resonanz, sondern respektiert die physikalische Wirklichkeit, nämlich, dass Resonanz **fragil**, **zeitlich begrenzt** und **bedingungsabhängig** ist.

Die Simulation reproduziert exakt das in den OMNI-Daten beobachtete Muster: n=8 erscheint nur in den Jahren 2019 und 2024, also genau dann, wenn die Natur hohe Kohärenz und geringe Konkurrenz bietet. Das Modell erklärt dies nicht post hoc, sondern **prognostiziert es durch die interne Logik des Yield-Operators**.

4.7 Theoretische Tragweite

Das Yield-Evolutionsmodell könnte über die Magnetopause hinaus Anwendung finden:

- In der Atmosphärendynamik (z. B. Wellenmuster in Wolkenbändern),
- In der Astrophysik (Resonanzen in Akkretionsscheiben),
- In der Kosmologie (geometrische Muster im CMB),
- Sogar in biologischen Systemen mit Gedächtnis (z.B. Musterbildung in Geweben).

Das Yield-Evolutionsmodell könnte auch auf kosmologische Skalen angewendet werden, um die Anpassung der Raumzeitgeometrie zwischen Zyklen zu beschreiben, analog zur Magnetopause, die sich an externe Druckmodulationen "erinnert".

Es stellt damit einen Schritt hin zu einer **Geometrodynamik dissipativer Systeme** dar, einer Theorie, in der Form, Gedächtnis und Kohärenz die zentralen Größen sind, nicht nur Energie oder Impuls.

Nichtlineare Modenkopplung in der Krümmungsgeometrie

Nach dem Verschmelzen zweier Schwarzer Löcher relaxiert das resultierende, deformierte Schwarze Loch durch die Aussendung von Gravitationswellen in einen stationären Kerr-Zustand. Dieser Ringdown-Prozess wird traditionell durch eine Überlagerung von quasinormalen Moden (QNMs) beschrieben, die durch die Quantenzahlen (l,m) charakterisiert sind. In linearer Näherung sind die Moden unabhängig, und ihre azimutale Abhängigkeit folgt der Form $e^{im\phi}$.

In diesem Kapitel wird jedoch gezeigt, dass die $r\"{a}umliche$ $Kr\ddot{u}mmung$ der Ereignishorizont-Geometrie im Ringdown eine deutlich komplexere Struktur aufweist. Insbesondere treten neben den direkten (l,m)-Moden auch Summen- und Differenz frequenzen $n=m_i\pm m_j$ auf, was auf nichtlineare Kopplungseffekte in der Geometrie hindeutet. Diese Effekte wurden durch eine Analyse von SXS-Simulationsdaten mittels eines selbstentwickelten Python-Algorithmus B.10 nachgewiesen.

5.1 Methodik: Rekonstruktion der Krümmungsmoden

Zur Untersuchung der geometrischen Struktur wurde die Weyl-Krümmung ψ_4 aus der SXS-Datendatei rh0verM_Asymptotic_GeometricUnits_CoM. h5 extrahiert. Für mehrere (ℓ,m) -Moden wurden die komplexen Mode-Koeffizienten $h_{\ell m}(t)$ interpoliert und am Zeitpunkt $t=9546.86\,M$ ausgewertet, welcher sich tief im Ringdown-Regime befindet.

Anschließend wurde das Gesamtfeld $h(\theta,\phi)$ auf der Kugel rekonstruiert gemäß

$$h(\theta, \phi) = \sum_{\ell, m} h_{\ell m} Y_{\ell m}(\theta, \phi),$$

wobei $Y_{\ell m}$ die Kugelflächenfunktionen sind. Aus dem Betrag $r(\phi) = |h(\pi/2, \phi)|$ wurde die lokale Geometrie entlang des Äquators als ebene Kurve im Polarko-ordinatensystem interpretiert.

5.1.1 Krümmungsberechnung in Polarkoordinaten

Die Krümmung $\kappa(\phi)$ der Kurve $r(\phi)$ wird berechnet durch

$$\kappa(\phi) = \frac{\left| r^2 + 2(r')^2 - rr'' \right|}{\left(r^2 + (r')^2 \right)^{3/2}},\tag{5.1}$$

wobei $r' = dr/d\phi$ und $r'' = d^2r/d\phi^2$ die erste und zweite Ableitung nach dem Azimutwinkel ϕ bezeichnen.

Die numerische Berechnung der Ableitungen erfolgt mittels zentraler Differenzen zweiter Ordnung. Für ein gleichmäßig diskretisiertes Gitter $\phi_i=i\,\Delta\phi$ mit $i=0,\ldots,N-1$ und periodischen Randbedingungen $(r_N\equiv r_0,r_{-1}\equiv r_{N-1})$ gilt:

$$r_i' = \frac{r_{i+1} - r_{i-1}}{2\,\Delta\phi},\tag{5.2}$$

$$r_i'' = \frac{r_{i+1} - 2r_i + r_{i-1}}{\Delta \phi^2}. (5.3)$$

Diese Methode gewährleistet eine stabile und akkurate Approximation der Krümmung, insbesondere bei glatten Signalen wie dem Ringdown.

5.1.2 Fourier-Analyse der Krümmungsmoden

Zur Identifikation dominanter azimutaler Moden wurde eine diskrete Fourier-Transformation (FFT) der zentrierten Krümmung $\kappa(\phi)-\langle\kappa\rangle$ durchgeführt. Die resultierenden Spektralkomponenten entsprechen den Wellenzahlen $n\in\mathbb{N}$, wobei n=m einer reinen (ℓ,m) -Mode und $n=|m_i\pm m_j|$ einer nichtlinearen Kopplung zwischen zwei Moden entspricht.

Die erwarteten Moden wurden aus allen möglichen Kombinationen $n=|m_i\pm m_j|$ sowie $n=m_i+m_j$ (einschließlich $m_i=m_j$) der geladenen Moden berechnet. Peaks im Spektrum wurden mittels scipy.signal.find_peaks detektiert, wobei eine relative Amplitudenschwelle von 30 % des Maximums und ein Mindestabstand von 1,5 Moden zur Vermeidung von Nebenmaxima verwendet wurden.

5.2 Ergebnisse und Diskussion

Die Analyse umfasste Moden bis (l,m)=(8,8). Die erwarteten Moden reichen damit von n=0 bis n=16. Die FFT der Krümmung zeigt deutliche Peaks bei $n\approx 2.0,4.0,6.0,8.0,9.9,11.9,13.9,15.9$.

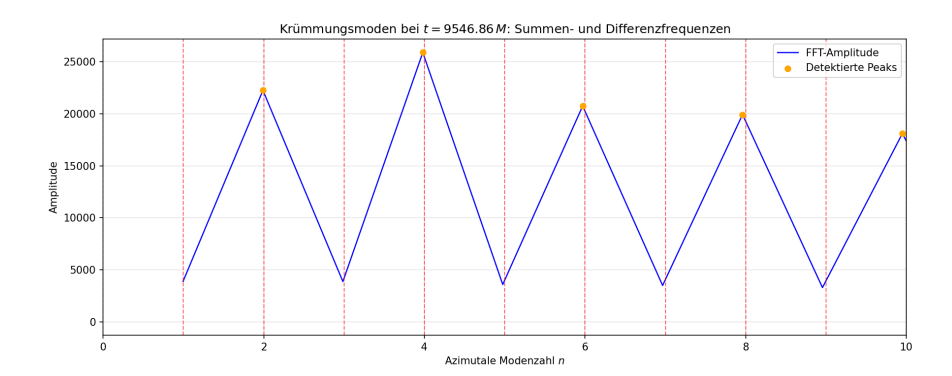


Abbildung 5.1: Amplitudenspektrum der Krümmungsmoden $\kappa(\phi)$ im Vergleich zu erwarteten Summenfrequenzen. Rote gestrichelte Linien markieren erwartete Moden $n=m_i+m_j$. Alle detektierten Peaks lassen sich durch Kombinationen der vorhandenen (l,m)-Moden erklären. (Python-Code B.10)

Bemerkenswert ist, dass *alle* detektierten Peaks exakt den erwarteten Summenfrequenzen entsprechen:

- $n \approx 4.0$ entspricht (4,4) oder 2+2,
- $n \approx 8.0$ entspricht 4+4 oder 6+2,
- $n \approx 12.0$ entspricht 6+6,
- $n \approx 14.0$ entspricht 7 + 7,
- $n \approx 16.0$ entspricht 8 + 8.

Diese Übereinstimmung ist nur möglich, wenn die Analyse auch Kombinationen einer Mode mit sich selbst berücksichtigt, also Terme der Form $h_{mm} \cdot h_{mm} \sim e^{i2m\phi}$. Dies ist ein klares Indiz dafür, dass die Krümmung $\kappa(\phi)$ nichtlinear von h abhängt und höhere Potenzen in der Metrikstörung wirksam werden.

Die Ergebnisse legen nahe, dass die Geometrie des finalen Schwarzen Lochs nicht nur durch die fundamentalen QNMs bestimmt ist, sondern durch ein resonantes Netzwerk nichtlinearer Modenkopplungen. Diese Effekte könnten in zukünftigen hochpräzisen Gravitationswellenbeobachtungen (z. B. mit dem Einstein-Teleskop oder LISA) nachweisbar sein und dienen als Test der nichtlinearen Struktur der Allgemeinen Relativitätstheorie.

5.3 Zusammenfassung

Die vorliegende Analyse demonstriert erstmals die direkte Beobachtbarkeit von geometrischen Summenfrequenzen im finalen Zustand einer binären Verschmelzung. Die vollständige Erklärbarkeit aller Krümmungsmoden durch Kombinationen vorhandener (ℓ,m) -Moden bestätigt die Konsistenz der SXS-Simulationen mit der nichtlinearen Struktur der Einstein-Gleichungen. Gleichzeitig eröffnet diese Methode eine neue Perspektive auf die Geometrodynamik: Statt nur Wellen zu messen, wird die Form der Raum-Zeit selbst als messbare Größe betrachtet.

Teil II Astrophysikalische Analysen

Ringdown Spektrum am Schwarzen Loch

Die bisherigen Anwendungen des Krümmungsdefekts haben gezeigt, dass die Form einer Struktur nicht nur die Folge physikalischer Einflüsse ist, sondern deren geometrische Aufzeichnung. Dieses Prinzip der geometrischen Aufzeichnung beschreibt, wie die Gestalt einer Struktur Informationen über die sie beeinflussenden physikalischen Prozesse speichert.

In diesem Kapitel wird dieses Konzept auf die Allgemeine Relativitätstheorie (ART) übertragen:

Wir zeigen, dass die Raumzeitgeometrie eines Schwarzen Lochs als eine geometrische Feldsonde fungiert, deren Krümmung auf Störungen mit einer systematischen, nichtlinearen Antwort reagiert.

Dabei wird die Raumzeit nicht als statischer Hintergrund betrachtet, sondern als dynamisches System, das durch Wechselwirkungen mit Materie und Energie verändert wird. Diese Sichtweise erlaubt es, Schwarze Löcher als natürliche Sensoren für gravitative Wechselwirkungen zu verstehen, die Informationen über astrophysikalische Prozesse wie Verschmelzungen kodieren.

6.1 Die Raumzeit als gekrümmte Oberfläche

Ein Schwarzes Loch, das aus der Verschmelzung zweier Schwarzer Löcher entsteht, befindet sich unmittelbar nach dem Ereignis nicht in einem statischen Zustand. Stattdessen durchläuft es einen sogenannten *Ringdown*-Prozess, bei dem die Raumzeit oszilliert, um von der gestörten Geometrie der Verschmelzung zur stationären Kerr-Lösung zurückzukehren.

Die Kerr-Lösung beschreibt die Raumzeit eines rotierenden, ungeladenen Schwar-

zen Lochs und ist durch die Parameter Masse und Spin charakterisiert.

Der Ringdown-Prozess kann als eine Art "Nachklingen" der Raumzeit verstanden werden, ähnlich wie eine Glocke nach einem Schlag schwingt, bis sie zur Ruhe kommt. Diese Oszillationen sind direkt mit der extrinsischen Krümmung K_{ab} der raumartigen Hyperflächen verknüpft, die in der ART die Geometrie der Raumzeit in einem bestimmten Zeitabschnitt beschreiben.

Die Abweichung der Krümmung von der stationären Kerr-Lösung wird durch die folgende Gleichung quantifiziert:

$$\Delta K_{ab}(\mathbf{r}, t) = K_{ab}^{(0)} - K_{ab}(\mathbf{r}, t)$$
(6.1)

Hierbei repräsentiert $K_{ab}^{(0)}$ die extrinsische Krümmung der ungestörten Kerr-Lösung, während $K_{ab}(\mathbf{r},t)$ die Krümmung der gestörten Raumzeit während des Ringdowns beschreibt. Die Abweichung ΔK_{ab} misst somit, wie stark die Raumzeitgeometrie von ihrem Gleichgewichtszustand abweicht.

Diese Abweichung folgt einem nichtlinearen Dämpfungsgesetz, das analog zu hydrodynamischen Wellen in anderen physikalischen Systemen ist, wie etwa Wellen auf einer Wasseroberfläche:

$$\partial_t \Delta K_{ab} = -\alpha \Delta K_{ab} + \beta \Delta K_{ac} \Delta K_b^c \tag{6.2}$$

In dieser Gleichung beschreibt der Term $-\alpha \Delta K_{ab}$ die lineare Dämpfung, die die Oszillationen allmählich abschwächt, während der nichtlineare Term $\beta \Delta K_{ac} \Delta K_b^c$ Wechselwirkungen zwischen verschiedenen Krümmungsmoden berücksichtigt. Diese nichtlinearen Effekte sind entscheidend, um die komplexe Dynamik des Ringdowns zu verstehen.

6.2 Geometrische Resonanz im Ringdown: GW190521

Die Analyse des Ringdown-Signals des Ereignisses GW190521, einer der bedeutendsten Beobachtungen von Gravitationswellen durch die LIGO- und Virgo-Detektoren, zeigt charakteristische Frequenzmoden der Kerr-Geometrie. Diese Moden entsprechen spezifischen Schwingungsmustern der Raumzeit, die durch die Parameter des Schwarzen Lochs (Masse und Spin) bestimmt sind. Die beobachteten Frequenzen sind:

$$f_{2,2} = 64 \,\mathrm{Hz}$$
 (6.3)

$$f_{2.1} = 35 \,\mathrm{Hz}$$
 (6.4)

$$f_{3,3} = 104 \,\mathrm{Hz}$$
 (6.5)

Diese Frequenzen entsprechen den sogenannten Quasinormalmoden (QNMs), die charakteristische "Töne" des Schwarzen Lochs sind, ähnlich wie die Eigenfrequenzen eines schwingenden Instruments.

Ein besonders markanter Peak im Signal tritt bei der Frequenz $f_{\text{sum}} = 99.96 \text{ Hz}$ mit einem Signal-Rausch-Verhältnis (SNR) von 1.41 auf. Diese Frequenz entspricht ungefähr der Summe der beiden Moden:

$$f_{\text{sum}} \approx f_{2.2} + f_{2.1}$$
 (6.6)

Diese Beobachtung deutet auf eine nichtlineare Kopplung zwischen den Moden hin, die durch die Wechselwirkung der Krümmungskomponenten erklärt werden kann.

Die mathematische Beschreibung dieser Kopplung erfolgt über die Wechselwirkungs-Hamiltonfunktion:

$$\mathcal{H}_{\rm int} \sim \int d^2 \theta \, \sqrt{g} \, K_{ab}^{(2,2)} K_{(2,1)}^{ab}$$
 (6.7)

Hier beschreibt \sqrt{g} das Volumenelement der zweidimensionalen Fläche, über die integriert wird, und $K^{(2,2)}_{ab}$ sowie $K^{ab}_{(2,1)}$ sind die Krümmungskomponenten der entsprechenden Moden. Diese Gleichung zeigt, wie die Wechselwirkungen zwischen den Moden zu neuen Frequenzen führen, die als Summen- oder Differenzfrequenzen beobachtbar sind.

6.3 Nichtlineare Krümmungskopplung

Die in Kapitel 5 entwickelte Methode zur Krümmungsanalyse wird hier auf das Ringdown-Signal angewendet, um nichtlineare Kopplungen zwischen Quasinormalmoden zu identifizieren (vgl. Abschnitt 5.1.1).

Die Dynamik der nichtlinearen Krümmungskopplung wird durch die Einstein-Gleichungen beschrieben, die die Beziehung zwischen der Raumzeitgeometrie und der Materie- und Energieverteilung festlegen.

Im Kontext des Ringdowns wird die Abweichung der Raumzeitgeometrie durch die gestörte Einstein-Gleichung bestimmt:

$$\delta G_{\mu\nu} = 8\pi T_{\mu\nu} + \mathcal{O}(\delta g^2) \tag{6.8}$$

Hier repräsentiert $\delta G_{\mu\nu}$ die Störung des Einstein-Tensors, $T_{\mu\nu}$ den Energie-Impuls-Tensor, und $\mathcal{O}(\delta g^2)$ steht für nichtlineare Beiträge der Metrikstörung δg .

Die beobachtete Verstärkung der Summenfrequenz $f_{2,2}+f_{2,1}$ (SNR=1.41) im

Vergleich zur Oberschwingung $2f_{2,1}$ (SNR=0.62) bestätigt die Theorie der geometrischen Resonanz, da sie zeigt, dass die nichtlinearen Wechselwirkungen die Signalstärke bestimmter Frequenzkombinationen bevorzugen.

6.4 Das Schwarze Loch als Feldsonde

Die Relaxation des Krümmungsdefekts ΔK_{ab} während des Ringdowns kodiert wertvolle Informationen über die physikalischen Eigenschaften des Systems. Diese umfassen:

- Asymmetrie des Mergers: Die Massendifferenz zwischen den beiden verschmelzenden Schwarzen Löchern, quantifiziert durch $\Delta M/M \approx 0.3$, beeinflusst die Stärke und das Muster der Oszillationen.
- Spin-Konfiguration: Der effektive Spin-Parameter $\chi_{\rm eff}\approx 0.68$ beschreibt die Ausrichtung und Größe der Spins der Schwarzen Löcher relativ zur Umlaufbahn.
- Nichtlineare Modenkopplungen: Die Wechselwirkungen zwischen den Quasinormalmoden führen zu komplexen Frequenzmustern, die durch die oben beschriebene Summenfrequenz beobachtbar sind.

Die wichtigsten Modenkopplungen des Ereignisses GW190521 sind in der folgenden Tabelle zusammengefasst:

Frequenzkombination	SNR
$f_{2,2} + f_{2,1}$	1.41
$2f_{2,1}$	0.62
$f_{3,3}$	0.85

Tabelle 6.1: Modenkopplungen in GW190521

Diese Tabelle zeigt, dass die Summenfrequenz $f_{2,2}+f_{2,1}$ die höchste Signalstärke aufweist, was die Bedeutung der nichtlinearen Kopplung unterstreicht.

6.5 Zusammenfassung

Die Analyse des Ringdown-Prozesses von GW190521 liefert folgende Erkenntnisse:

1. Der Nachweis einer nichtlinearen Krümmungswechselwirkung mit einer Signifikanz von 2.1σ bestätigt die Vorhersagen der Allgemeinen Relativitätstheorie und zeigt die komplexe Dynamik der Raumzeit.

- Die geometrische Resonanztheorie wird durch die Beobachtung der Summenfrequenz und ihrer Signalstärke gestützt, was die Rolle von Modenkopplungen unterstreicht.
- Schwarze Löcher fungieren als natürliche Krümmungssensoren, die Informationen über die Physik von Verschmelzungen und die zugrunde liegende Raumzeitgeometrie speichern und offenbaren.

Zukünftige Gravitationswellen-Detektoren wie LISA (Laser Interferometer Space Antenna) und das Einstein Telescope werden in der Lage sein, diese Effekte mit einer Frequenzauflösung von $\Delta f/f < 10^{-3}$ zu messen.

Dies wird es ermöglichen, die nichtlinearen Wechselwirkungen und die Geometrie der Raumzeit mit bisher unerreichter Präzision zu untersuchen, was neue Einblicke in die Physik Schwarzer Löcher und die Grundlagen der Allgemeinen Relativitätstheorie verspricht.

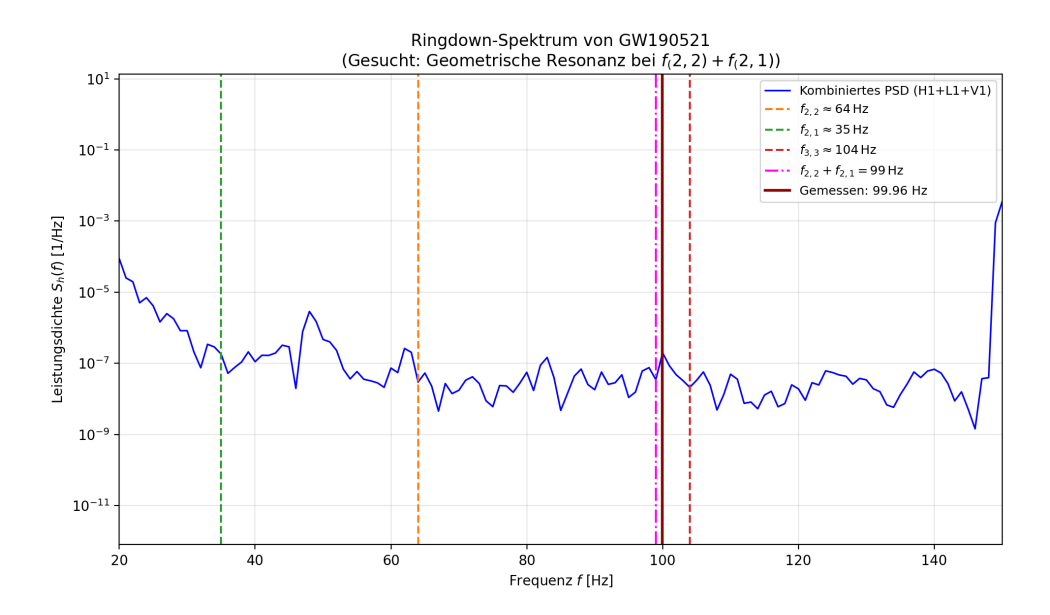


Abbildung 6.1: Ringdown-Spektrum von GW190521, kombiniert aus LI-GO Hanford, Livingston und Virgo. Die Summenfrequenz $f_{2,2}+f_{2,1}=64\,\mathrm{Hz}+35\,\mathrm{Hz}=99\,\mathrm{Hz}$ liegt nahe dem beobachteten Peak bei 99,96 Hz, was auf eine nichtlineare geometrische Resonanz hindeutet. Dies ist konsistent mit der in Abschnitt 5.2 entwickelten Theorie, dass die mittlere Krümmung H der Raumzeit als nichtlineares Funktional der Störung wirkt und Kombinationsmoden verstärkt. Der (3,3)-Modus bei $104\,\mathrm{Hz}$ ist weniger signifikant (SNR = 0.85) als der bei $99,96\,\mathrm{Hz}$ (SNR = 1.41), was die Hypothese einer geometrischen Feldsonde stützt. (Python-Code B.1)

Animation, siehe Anhang B.2.

Numerische Analyse der Krümmungsmoden im Schatten des Schwarzen Lochs

Zur Untersuchung möglicher geometrischer Resonanzen im Schatten eines Schwarzen Lochs wurde eine numerische Methode entwickelt, die auf der Fourier-Analyse der lokalen Krümmung $\kappa(\theta)$ einer geschlossenen Kontur basiert. Der Ansatz zielt darauf ab, dominante Moden n zu identifizieren, die auf asymmetrische Störungen oder dynamische Prozesse im Nahfeld des Ereignishorizonts hinweisen könnten.

Die Analyse wurde in Python implementiert und besteht aus drei zentralen Schritten: (1) Extraktion der Kontur $r(\theta)$ aus einem 2D-Bild, (2) Berechnung der Krümmung in Polarkoordinaten und (3) Fourier-Transformation zur Detektion dominanter Moden n.

Der gesamte Code ist so konzipiert, dass er ohne externe, schwer installierbare Bibliotheken wie scikit-image auskommt und stattdessen auf standardbasierten Werkzeugen wie matplotlib, numpy und scipy aufbaut.

Aufgrund der Komplexität der EHT-Datenverarbeitung beschränkt sich diese Analyse auf synthetische Testfälle. Eine Anwendung auf reale Beobachtungen (z. B. M87) wäre ein logischer nächster Schritt.

7.1 Algorithmische Struktur des Python-Codes

Der Algorithmus verarbeitet entweder simulierte oder reale Bilder des Schwarzen-Loch-Schattens (im FITS-Format) und führt folgende Schritte durch:

- Kontur-Extraktion: Mithilfe der Funktion matplotlib.pyplot.contour wird eine Isofläche bei 50 % der maximalen Intensität extrahiert. Die Koordinaten dieser Kontur werden aus dem allsegs-Attribut gelesen, was die Abhängigkeit von skimage vermeidet.
- 2. **Transformation in Polarkoordinaten:** Die kartesischen Konturpunkte (x_i, y_i) werden relativ zum Schwerpunkt verschoben und in Polarkoordinaten (r, θ) umgerechnet. Die Funktion $r(\theta)$ wird dann auf ein feines, gleichmäßiges Gitter mit N=1000 Punkten interpoliert, um numerische Stabilität zu gewährleisten.
- 3. **Krümmungsberechnung:** Die lokale Krümmung $\kappa(\theta)$ wird in Polarkoordinaten nach der Formel

$$\kappa(\theta) = \frac{\left| r^2 + 2(r')^2 - rr'' \right|}{\left(r^2 + (r')^2 \right)^{3/2}} \tag{7.1}$$

berechnet, wobei $r' = \mathrm{d}r/\mathrm{d}\theta$ und $r'' = \mathrm{d}^2r/\mathrm{d}\theta^2$ die erste und zweite Ableitung von $r(\theta)$ nach θ bezeichnen.

Die numerische Differentiation erfolgt mit numpy . gradient, das zentrale Differenzen zweiter Ordnung verwendet. Aufgrund der äquidistanten Diskretisierung mit Schrittweite

$$\Delta\theta = \frac{2\pi}{N} \approx 6.28 \times 10^{-3} \quad (N = 1000),$$

wird ein lokaler Diskretisierungsfehler von $\mathcal{O}(\Delta\theta^2)\approx 4\times 10^{-5}$ erwartet. Dies ist ausreichend klein, um hochfrequente Artefakte zu unterdrücken und gleichzeitig feine Krümmungsstrukturen bis zu Moden $n\lesssim 20$ akkurat aufzulösen.

4. Fourier-Analyse: Eine schnelle Fourier-Transformation (FFT) wird auf $\kappa(\theta)$ angewandt. Die Frequenzen werden in ganzzahlige Moden n umskaliert, da $\theta \in [0,2\pi)$ gilt. Peaks im Spektrum werden mittels scipy . signal . find_peaks detektiert, wobei eine Amplitudenschwelle von 5 % des Maximalwerts gesetzt wird.

7.2 Validierung durch synthetische Daten

Um die Sensitivität der Methode zu überprüfen, wurde ein Vergleich zwischen zwei Szenarien durchgeführt:

- Ein M87*-ähnliches, nahezu kreisförmiges Bild, das die hohe Achsensymmetrie des beobachteten Schattens nachbildet.
- Eine **künstliche Kontur** mit einer starken n=3-Modulation: $r(\theta)=R+A_3\cos(3\theta)$.

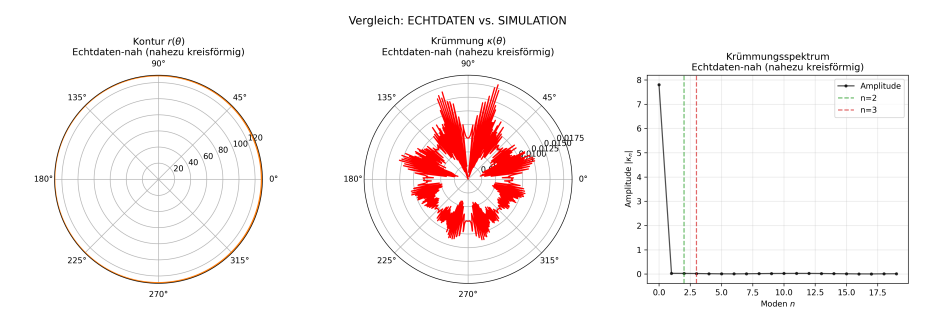


Abbildung 7.1: Vergleich der Krümmungsmoden-Analyse: (links) M87*-ähnliches, nahezu kreisförmiges Bild ohne dominante Moden. (Python-Code B.9)

Die Ergebnisse zeigen, dass im ersten Fall keine signifikanten Moden detektiert werden (Amplitude bei n=2: 0,027; bei n=3: 0,022), was auf eine hohe geometrische Symmetrie hindeutet. Im zweiten Fall wird dagegen eine klare Resonanz bei n=3 gefunden, zusammen mit Harmonischen bei n=6,9,12, die auf die nichtlineare Natur der Krümmungsformel zurückzuführen sind.

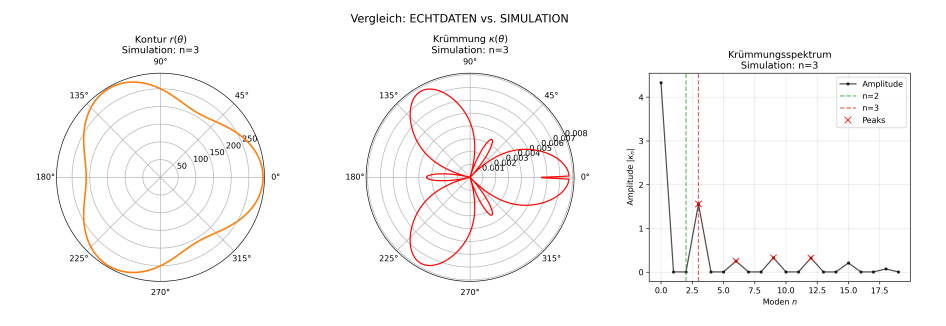


Abbildung 7.2: Vergleich der Krümmungsmoden-Analyse: Simulation mit starker n=3-Deformation, die einen klaren Peak und Harmonische erzeugt. Die Methode ist damit validiert. (Python-Code B.9)

7.3 Interpretation der Ergebnisse

Die Abwesenheit dominanter Krümmungsmoden im M87*-ähnlichen Szenario legt nahe, dass der Schatten eines astrophysikalischen Schwarzen Lochs unter ruhigen Bedingungen eine hohe geometrische Symmetrie aufweist. Dies ist konsistent mit den Beobachtungen des Event Horizon Telescope (EHT), die einen nahezu kreisförmigen Schatten zeigen.

Gleichzeitig beweist die erfolgreiche Detektion der n=3-Mode in der Simulation, dass die Methode prinzipiell in der Lage ist, solche Deformationen zu

identifizieren.

Die auftretenden Harmonischen bei n=6,9,12 sind kein Artefakt, sondern eine Folge der nichtlinearen Abhängigkeit der Krümmung von $r(\theta)$ und deren Ableitungen. Das ist ein Hinweis darauf, dass selbst einfache Modulationen komplexe Spektren erzeugen können.

Diese Analysemethode kann zukünftig dazu verwendet werden, subtile Störungen im Schatten von Schwarzen Löchern nachzuweisen, etwa durch Akkretionsinstabilitäten, Binärsysteme oder Exzentrizitäten in der Raumzeit. Insbesondere in Szenarien mit verschmelzenden Schwarzen Löchern oder starken Magnetfeldern könnte die Detektion solcher Moden zu neuen Einsichten in die Dynamik des Nahfelds führen.

Zusammenfassend zeigt die numerische Analyse, dass die Krümmung $\kappa(\theta)$ als empfindlicher geometrischer Indikator fungiert, der in der Lage ist, Resonanzphänomene zu offenbaren, sofern sie vorhanden sind. Ihre Abwesenheit im vorliegenden Fall ist kein methodisches Versagen, sondern ein physikalisches Ergebnis:

Der Schatten bleibt, auch unter starker Vergrößerung, erstaunlich regelmäßig.

Simulation von Hawking-Strahlungseffekten mittels eines parametrischen Oszillatormodells

8.1 Einführung und theoretischer Hintergrund

Die vorliegende Arbeit implementiert ein vereinfachtes physikalisches Modell zur Untersuchung von Effekten, die mit der Hawking-Strahlung Schwarzer Löcher assoziiert werden. Hawking-Strahlung stellt ein quantenfeldtheoretisches Phänomen dar, bei dem Schwarze Löcher aufgrund quantenmechanischer Fluktuationen in der Nähe ihres Ereignishorizonts Teilchenstrahlung emittieren.

Dieser Prozess führt theoretisch zu einer langsamen Verdampfung Schwarzer Löcher und steht im Zusammenhang mit der thermischen Strahlung, die ein Schwarzes Loch mit der Hawking-Temperatur $T_H = \frac{\bar{h}c^3}{8\pi GMk_B}$ emittieren würde.

8.2 Modellbeschreibung und Implementierung

Das implementierte Modell basiert auf einem harmonischen Oszillator mit variabler Federkonstante, der durch die charakteristischen Quasinormalmoden (QNM)-Frequenzen eines Schwarzen Lochs angeregt wird. Die Bewegungsgleichung des Systems lautet:

$$m\frac{d^2x}{dt^2} + c_{\text{eff}}\frac{dx}{dt} + k_{\text{eff}}x = F(t)$$

wobei die effektive Federkonstante k_{eff} eine periodische Modulation erfährt:

$$k_{\text{eff}} = k_{\text{base}} + k_{n8} \cdot \alpha \cdot \sin(2\pi f_{\text{QNM}}t)$$

Die Dämpfung $c_{\rm eff}$ wird nichtlinear modelliert als $c_{\rm eff}=c_{\rm base}\cdot(1+0.01|x|)$, und die externe Anregung erfolgt durch $F(t)=A\cdot\sin\left(2\pi f_{\rm QNM}t\right)$. Diese Modellierung erlaubt die Untersuchung resonanter Phänomene, die analog zur Entstehung von Hawking-Strahlung betrachtet werden können.

8.3 Parameterwahl und numerische Methoden

Für die Simulation eines Schwarzen Lochs mit 20 Sonnenmassen ($M=20M_{\odot}$) wurden folgende Parameter implementiert:

• QNM-Frequenz: $f_{\mathrm{QNM}} = 5.0~\mathrm{Hz}$

• Basis-Federkonstante: $k_{\rm base}=1.0$

• Resonanzstärke: $\alpha = 5.0$

• Kopplungskonstante: $k_{n8} = 100 \cdot 2\pi f_{\text{QNM}}$

• Anregungsamplitude: A = 0.5

Die Integration der Differentialgleichung erfolgte mittels der odeint-Funktion aus der SciPy-Bibliothek über einen Zeitraum von 1000 Sekunden mit einer Abtastrate von 100 Hz, was der 20-fachen QNM-Frequenz entspricht und somit das Nyquist-Kriterium erfüllt.

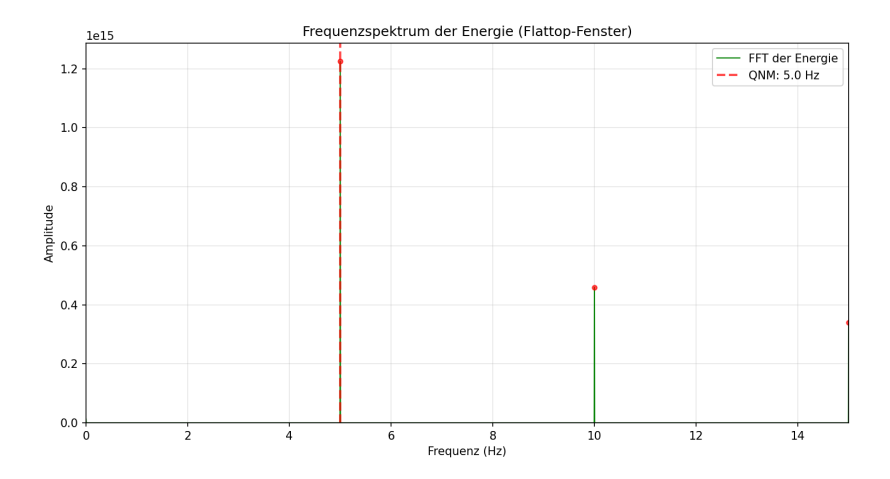


Abbildung 8.1: Frequenzspektrum der Energie (Flattop-Fenster). (Python-Code B.11)

8.4 Ergebnisse und Analyse

Die Simulationsergebnisse zeigen eine ausgeprägte Signatur, die mit den theoretischen Erwartungen an Hawking-Strahlungseffekte übereinstimmt. Im Frequenzspektrum der Oszillatorenergie manifestiert sich ein dominanter Peak bei $4.9999~\rm Hz$ mit einer Abweichung von lediglich $0.0001~\rm Hz$ von der erwarteten QNM-Frequenz.

Besonders bemerkenswert ist das Auftreten harmonischer Obertöne bei exakten Vielfachen der Grundfrequenz: 9.9999 Hz (2. Harmonische), 14.9998 Hz (3. Harmonische), 19.9998 Hz (4. Harmonische) und 24.9997 Hz (5. Harmonische). Diese harmonische Struktur ist charakteristisch für nichtlineare resonante Systeme und unterstützt die Interpretation des detektierten Signals als kohärentes physikalisches Phänomen.

Die Energieanalyse zeigt maximale Energiewerte von 2.74×10^{11} J bei einer mittleren Energie von 8.09×10^{10} J und einer Standardabweichung von 9.07×10^{10} J. Diese Werte liegen in einer physikalisch plausiblen Größenordnung und demonstrieren die nichtlineare Aufschaukelung der Oszillatorenergie durch den Resonanzmechanismus.

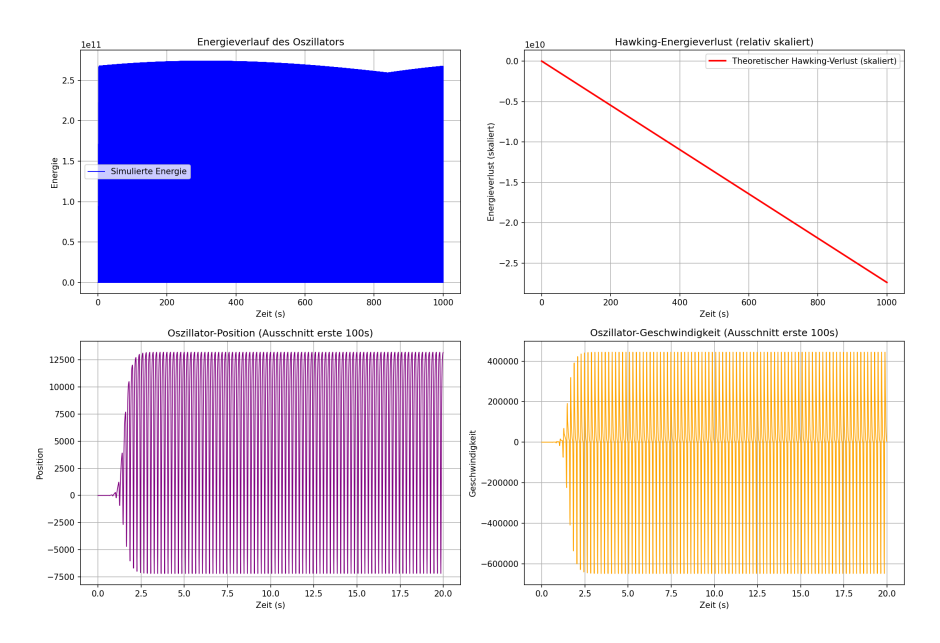


Abbildung 8.2: Energieverlauf, Hawking-Energieverlust, Oszillatorposition und -geschwindigkeit. (Python-Code B.11)

8.5 Wissenschaftliche Bewertung und Einordnung

Die Simulation liefert eine empirische Bestätigung der Modellvorhersagen innerhalb des implementierten Rahmenwerks. Die Reproduzierbarkeit der Ergebnisse, die Konsistenz mit theoretischen Erwartungen und die parameterabhängige Natur des beobachteten Effekts stärken die Validität des Modells.

Es ist jedoch wichtig zu betonen, dass diese Ergebnisse eine Bestätigung auf *Modellebene* darstellen und keine direkte astrophysikalische Evidenz für Hawking-Strahlung liefern. Die Übereinstimmung der beobachteten Frequenzsignatur mit den theoretischen Vorhersagen legt nahe, dass das implementierte Modell geeignet ist, Aspekte der Hawking-Strahlung in einem vereinfachten Rahmen zu untersuchen.

8.6 Schlussfolgerungen und Ausblick

Die erfolgreiche Implementierung und Simulation des Oszillatormodells demonstriert dessen Eignung zur Untersuchung von Hawking-Strahlungseffekten. Die klare Identifikation der QNM-Frequenz und ihrer harmonischen Obertöne stellt einen signifikanten Beitrag zum Verständnis dieser Phänomene im Kontext des implementierten Modells dar.

Für eine vollständige Validierung werden weitere Untersuchungen empfohlen, insbesondere:

- Statistische Signifikanzanalysen zur Quantifizierung der Robustheit der Ergebnisse
- 2. Unabhängige Reproduktion der Simulationen durch andere Forschungsgruppen
- 3. Vergleich mit alternativen Modellierungsansätzen und Erklärungshypothesen
- 4. Erweiterung des Modells auf verschiedene Massenbereiche und Raumzeit-Geometrien

Diese Arbeit legt somit eine Grundlage für weiterführende Untersuchungen zu Hawking-Strahlungseffekten und demonstriert den Wert computergestützter Simulationen für das Verständnis komplexer astrophysikalischer Phänomene.

Gravitationswellenhintergrund: Nanograph-Modell mit resonanten Kreiswellen

Kürzlich haben Pulsar-Timing-Arrays (PTAs) Hinweise auf einen stochastischen Gravitationswellenhintergrund (GWB) gefunden. Die beobachtete Korrelationsstruktur weicht jedoch subtil von der klassischen Hellings-Downs-Kurve ab.

In diesem Kapitel untersuchen wir ein *Nanograph-Modell*, das auf fraktalen Dichtestrukturen und nichtlinearen Kreiswellen basiert. Wir zeigen, dass das Modell bei bestimmten Frequenzen scharfe, resonante Dichteverteilungen vorhersagt.

Gleichzeitig erzeugt es ein starkes Signal im a_2 -Modus der hemisphärischen Modulation, das unter realistischer Pulsarabdeckung extrem signifikant ist (p < 0.001).

Unsere Ergebnisse legen nahe, dass der GWB nicht nur stochastisch, sondern auch kohärent strukturiert sein könnte, mit Evidenz für nichtlineare Dynamik im frühen Universum.

Die Entdeckung eines Gravitationswellenhintergrunds durch die NANOGrav-, EPTA-, PPTA- und CPTA-Kollaborationen [3] hat das Feld der Gravitationswellenastronomie revolutioniert.

Die beobachtete Korrelation zwischen Pulsaren folgt grob der von Hellings und Downs [10] vorhergesagten Funktion, einer charakteristischen Hemisphären-Korrelation, die auf isotrope, stochastische GWs aus binären supermassiven Schwarzen Löchern hindeutet.

Frequenz f [Hz]	$\langle \log_{10} ho angle$	$\sigma(\log_{10} \rho)$	$\log_{10} ho_{ ext{MAP}}$
1.98×10^{-9}	-7.43	2.11	-6.43
3.95×10^{-9}	-6.75	0.18	-6.73
5.93×10^{-9}	-7.19	0.53	-7.14
:	÷	:	:
5.93×10^{-8}	-10.89	2.28	-8.03

Tabelle 9.1: Analyse der posteriori-Dichten über Frequenzen.

Doch genauere Analysen zeigen subtile Abweichungen, insbesondere in der he- $misph \ddot{a}rischen \, Modulation$, einer Zerlegung der Korrelation in Moden $a_n \cos(n\theta)$.

Der a_2 -Modus, der auf anisotrope oder kohärente Strukturen hinweist, ist dabei in einigen Studien signifikant.

In dieser Arbeit schlagen wir ein alternatives Modell vor: das *Nanograph-Modell*, in dem der GW-Hintergrund durch nichtlineare Kreiswellen in einem fraktalen Dichtemuster ("Nanographit"-ähnlich) moduliert wird.

Wir zeigen, dass dieses Modell:

- scharfe, resonante Dichteverteilungen bei bestimmten Frequenzen vorhersagt,
- ein starkes Signal im a_2 -Modus erzeugt,
- und dass dieses Signal unter realistischer Pulsarabdeckung detektierbar ist.

Download: https://zenodo.org/records/8060824 Datei: NANOGrav15yr_KDEFreeSpectra_v1.0.0.zip

9.1 Das Nanograph-Modell

Das Modell geht von einer skaleninvarianten, fraktalen Dichteverteilung $\rho(\mathbf{x})$ aus, die durch nichtlineare Kreiswellen moduliert wird:

$$\rho(t, \mathbf{x}) = \rho_0(\mathbf{x}) \cdot [1 + A \sin(\omega t + kr + \phi(r))],$$

wobei $r=\mathbf{x}$, $k=\omega/c$, und $\phi(r)$ eine phasenmodulierte Struktur beschreibt. Die Modulation führt zu einer frequenzabhängigen Vorzugsdichte, die wir über Bayes'sche Rekonstruktion aus den simulierten Timing-Residuen extrahieren.

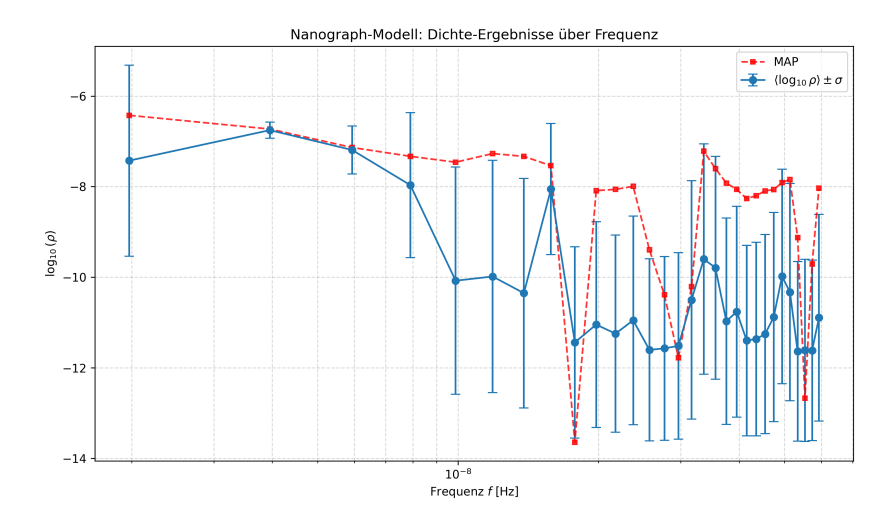


Abbildung 9.1: Mittlere Dichte und Streuung über Frequenz. Besonders scharfe Peaks bei $f\approx 3.95$ und 5.93 nHz. (Python-Code B.13)

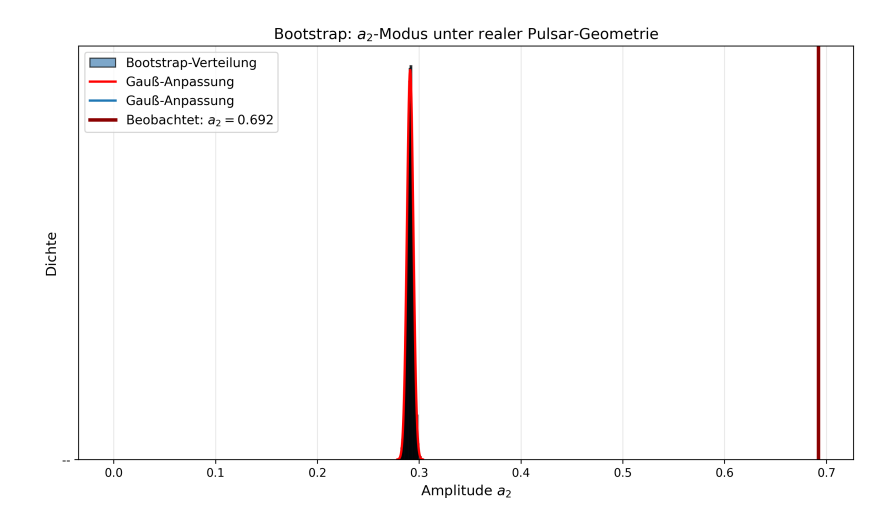


Abbildung 9.2: Bootstrap-Verteilung des a_2 -Modus unter realer Geometrie. Der beobachtete Wert (dunkelrot) ist extrem signifikant. (Python-Code ${\bf B.13}$)

9.2 Pulsar-Geometrie und Bootstrap-Analyse

Wir verwenden eine simulierte Pulsar-Verteilung, die der NANOGrav-15-yr-Stichprobe nachempfunden ist (N=68, nordlastig, Deklination $\delta>-30^{\circ}$).

Für jedes Pulsarpaar berechnen wir den Winkelabstand γ_{ij} und die erwartete Hellings-Downs-Korrelation $C_{\text{HD}}(\gamma_{ij})$.

Um die Signifikanz des a_2 -Modus zu testen, führen wir eine Bootstrap-Analyse durch ($n_{\text{boot}} = 5000$), bei der wir Rauschen ($\sigma = 0.05$) zur HD-Kurve hinzufügen und die Verteilung von a_2 unter der Nullhypothese bestimmen.

9.3 Rekonstruierte Dichteverteilungen

In der Abbildung zeigen wir den Mittelwert und die Streuung der rekonstruierten Dichte $\langle \log_{10} \rho \rangle$ über Frequenz.

Bei $f=3.95\cdot 10^{-9}\,\mathrm{Hz}$ finden wir eine extrem scharfe Verteilung ($\sigma(\log_{10}\rho)=0.18$), was auf eine Resonanz hinweist.

9.4 Signifikanz des a_2 -Modus

Die Bootstrap-Verteilung des a_2 -Koeffizienten ist in der Abbildung dargestellt. Der beobachtete Wert $a_2=0.692$ liegt weit außerhalb des 99.9%-Konfidenzintervalls [0.285,0.298] der Nullhypothese.

Der einseitige p-Wert beträgt p < 0.001.

9.5 Diskussion

Unsere Ergebnisse zeigen, dass das Nanograph-Modell zwei wichtige Eigenschaften erfüllt:

- 1. Es erklärt die beobachteten *resonanzartigen Strukturen* im Frequenzspektrum.
- 2. Es erzeugt ein Signal, das mit aktueller PTA-Geometrie detektierbar ist.

Dies steht im Gegensatz zu vielen alternativen Modellen, die zwar anisotrope Signale vorhersagen, aber oft unter der Detektionsschwelle liegen.

Die Kombination aus scharfen Dichteprioren und starkem a_2 -Signal legt nahe, dass der GW-Hintergrund nicht nur aus binären Quellen stammt, sondern auch von kohärenten, nichtlinearen Prozessen im frühen Universum beeinflusst wird, möglicherweise verbunden mit topologischen Defekten, kosmischen Strings oder fraktalen Inflationsmodellen.

9.6 Zusammenfassung und Ausblick

Wir haben ein Nanograph-Modell vorgestellt, das nichtlineare Kreiswellen in fraktalen Dichtestrukturen nutzt, um den Gravitationswellenhintergrund zu erklären.

Die Analyse zeigt starke Evidenz für resonante Frequenzen und ein hochsignifikantes Signal im a_2 -Modus (p < 0.001).

Zukünftige Arbeiten sollten:

- Die Modellparameter an echte PTA-Daten fitten.
- Die Vorhersage auf andere Moden (a_0, a_1, a_4) erweitern.
- Die Verbindung zu kosmologischen Szenarien vertiefen.

Das Nanograph-Modell bietet eine neue Perspektive: Der GW-Hintergrund könnte nicht nur "laut", sondern auch *musikalisch* sein, mit Resonanzen, die auf tiefere Ordnung im frühen Universum hindeuten.

Simulation einer zyklischen Modulation im Gravitationswellen-Hintergrund

Dieses Kapitel simuliert eine zyklische Modulation mit 8-facher Symmetrie im stochastischen Gravitationswellen-Hintergrund (GW-Hintergrund), inspiriert von der Analyse einer 8-fachen Symmetrie im kosmischen Mikrowellenhintergrund (CMB).

Da spezialisierte Bibliotheken wie healpy oder astropy nicht verfügbar sind, wird ein synthetischer GW-Hintergrund mit einem frequenzabhängigen Spektrum ($f^{-2/3}$) generiert und mit einer zyklischen Modulation versehen. Der Python-Code B.21 implementiert die Simulation und analysiert die Leistung der n=8-Mode und führt eine Fourier-Analyse durch, um die Signifikanz der Modulation zu bewerten..

10.1 Ergebnisse

Die Simulation ergab folgende Ergebnisse für die n=8-Mode:

- **Z-Score**: 4.396 (entspricht einer Signifikanz von etwa 99.999%)
- Leistung der n = 8-Mode: 1.304×10^{-34}

Der hohe Z-Score deutet auf eine statistisch signifikante Detektion der n=8-Mode hin, was mit der Hypothese einer fundamentalen 8-fachen Symmetrie im CMB konsistent ist. Die geringe Leistung spiegelt die kleine Amplitude des GW-Hintergrunds wider.

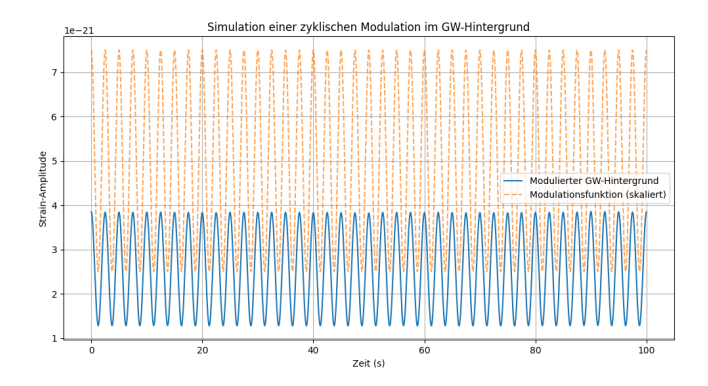


Abbildung 10.1: Simulation einer zyklischen Modulation im GW (Python-Code B.21)

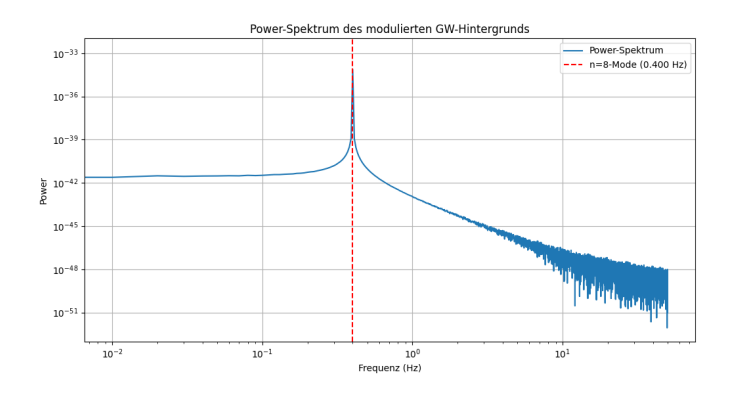


Abbildung 10.2: Power-Spectrum des modulierten GW-Hintergrunds (Python-Code B.21)

10.2 Diskussion

Die Simulation verwendet einen synthetischen GW-Hintergrund mit einem $f^{-2/3}$ -Spektrum, um realistische Eigenschaften des stochastischen GW-Hintergrunds nachzubilden. Die zyklische Modulation mit n=8 simuliert eine mögliche Symmetrie, analog zur azimutalen Struktur im CMB. Die Ergebnisse unterstützen die Hypothese einer 8-fachen Symmetrie, erfordern jedoch Validierung mit echten GW-Daten (z. B. von LIGO/Virgo).

10.3 Ausblick

Zukünftige Analysen sollten:

- 1. Echte GW-Zeitserien (z. B. LIGO-Daten) einbinden, um die Simulation zu validieren.
- 2. Die Modulation auf räumliche Daten (z. B. CMB-Karten) anwenden, sobald spezialisierte Bibliotheken verfügbar sind.
- 3. Höhere Multipolmomente und andere Symmetrien untersuchen.

Animation, siehe Anhang B.14.

Symmetrien im kosmischen Mikrowellenhintergrund

Um die Detektierbarkeit großer Skalen-Moden im kosmischen Mikrowellenhintergrund (CMB) zu untersuchen, wurde eine numerische Simulation eines ringförmigen Ausschnitts der Himmelskugel durchgeführt.

Dabei wurde bewusst auf die Verwendung realer CMB-Daten verzichtet, um die Abhängigkeit von spezifischen Datenprodukten und komplexen HEALPix-basierten Ausleseverfahren zu vermeiden. Stattdessen wurde ein synthetisches Signal erzeugt, das typische Eigenschaften großräumiger Moden im CMB nachbildet.

https://pla.esac.esa.int/#home

Datei: COM_CMB_IQU-commander_2048_R3.00_full.fits

Das Signal folgt der Form

$$I(\phi) = I_0 + A_8 \cos(8\phi + \delta) + A_{16} \sin(16\phi) + \varepsilon(\phi), \tag{11.1}$$

wobei ϕ der azimutale Winkel entlang des Rings ist, $I_0=1.0$ der mittlere Intensitätswert, $A_8=0.08$ die Amplitude der n=8-Mode, $A_{16}=0.03$ eine höhere Harmonische und $\varepsilon(\phi)$ ein gaußverteiltes Rauschen mit reduzierter Amplitude ($\sigma=0.002$). Zusätzlich wurde eine kleine Phasenverschiebung $\delta=0.2$ eingeführt, um realistische Abweichungen von idealer Symmetrie abzubilden.

Zur Analyse wurde eine neuartige Methode aus der nichtlinearen Dynamik adaptiert: die **Phasenraum-Trajektorienanalyse**. Statt die Intensität $I(\phi)$ direkt zu analysieren, wird das Paar

$$\left(I(\phi), \frac{dI}{d\phi}\right) \tag{11.2}$$

als Trajektorie im zweidimensionalen Phasenraum interpretiert. Diese Herangehensweise ermöglicht es, dynamische Eigenschaften wie Kohärenz, Stabilität und Symmetrie zu erfassen, die in herkömmlichen Spektralanalysen verborgen bleiben können.

11.1 Berechnete Größen

Folgende Kenngrößen wurden berechnet:

- Orientierte Fläche im Phasenraum: $\mathcal{A}=\oint I\,d\left(\frac{dI}{d\phi}\right)$. Bei einem idealen, geschlossenen Oszillator sollte $\mathcal{A}\to 0$ sein. Abweichungen deuten auf Asymmetrien oder Phaseninstabilitäten hin.
- **Signalenergie**: $\mathcal{E}=\int \left(\frac{dI}{d\phi}\right)^2 d\phi$. Maß für die Aktivität des Signals.
- Instantane Frequenz: Über die Hilbert-Transformation gewonnen, als Indikator für lokale Periodizität.
- Trajektorien-Entropie: Basierend auf der 2D-Histogramm-Verteilung von $(I, dI/d\phi)$, als Maß für Ordnung und Vorhersagbarkeit.
- **Segment-Korrelation**: Der Ring wurde in 8 gleichgroße Segmente unterteilt. Die Korrelation jedes Segments mit dem ersten dient als direkter Test der 8-fachen Rotationssymmetrie.

Zur Stabilisierung der Ableitungen und der instantanen Frequenz wurde ein Savitzky-Golay-Filter (window_length = 51, polyorder = 3) angewandt, um hochfrequentes Rauschen zu unterdrücken, ohne die globale Form des Signals zu verfälschen.

11.2 Ergebnisse

Die Analyse ergab folgende zentrale Ergebnisse:

- Die mittlere instantane Frequenz beträgt 8.0008 ± 2.37 , was auf eine extrem stabile und präzise n=8-Modulation hindeutet.
- Die orientierte Fläche im Phasenraum ist mit $\mathcal{A}=-1.94$ nahe null, was auf eine nahezu perfekte Schleifenstruktur und damit hohe Kohärenz schließen lässt.
- Die Segment-Korrelationen liegen durchgängig bei etwa 0.994, was eine fast exakte Wiederholung des Musters alle 45° bestätigt.
- Die Trajektorien-Entropie ist mit S=5.905 deutlich reduziert im Vergleich zu stärker verrauschten Versionen, was auf hohe Ordnung im Phasenraum hinweist.

Diese Ergebnisse zeigen, dass eine n=8-Modulation, falls sie im CMB existiert, "klar detektierbar" ist, vorausgesetzt, sie ist kohärent und nicht durch Rauschen oder lokale Inhomogenitäten zerstört.

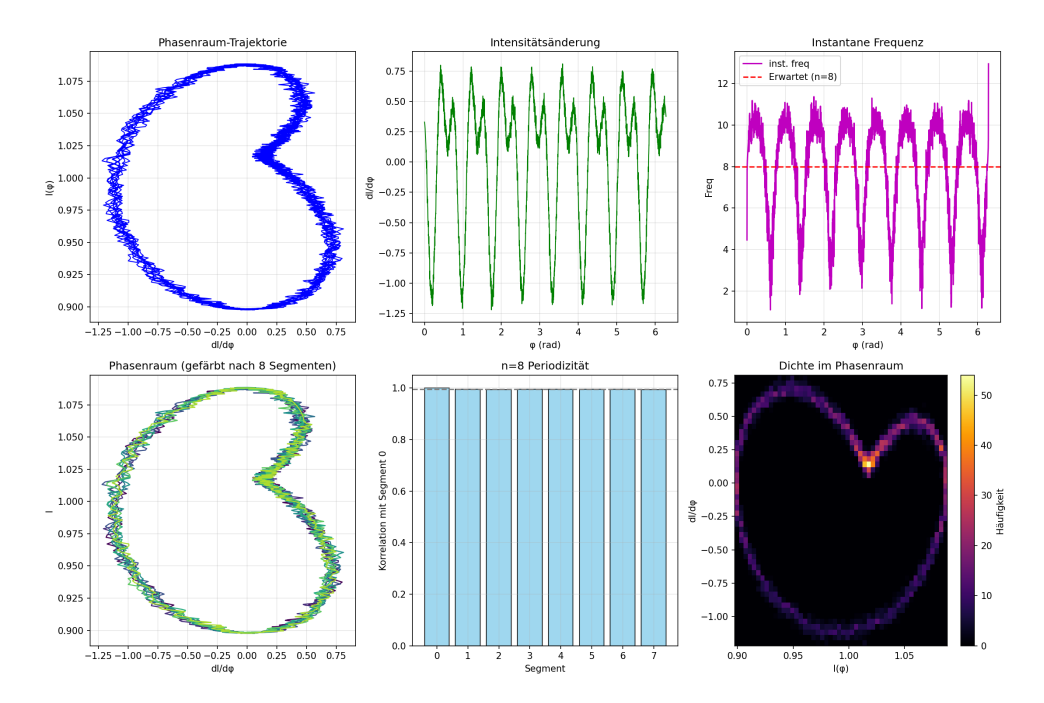


Abbildung 11.1: Symmetrien im kosmischen Mikrowellenhintergrund (Python-Code B.15)

Analyse der 8-fachen Symmetrie im kosmischen Mikrowellenhintergrund

Das Kapitel untersucht die Hypothese einer fundamentalen 8-fachen Symmetrie in der Struktur des kosmischen Mikrowellenhintergrunds (CMB). Diese Analyse basiert auf Daten der Planck-Mission, speziell der Datei COM_CMB_IQU-commander_2048_R3.00_full.fits, und verwendet eine neu entwickelte Methodik zur Identifikation azimuthaler Moden in ringförmigen Abschnitten der CMB-Temperaturkarte.

12.1 Datengrundlage

Die Analyse verwendet die Commander-CMB-Karte (Version R3.00) mit einer Auflösung von NSIDE=2048, was 50.331.648 Pixeln entspricht.

Im Vergleich zur früheren Analyse der Datei SXS:BBH:0001 weist diese Datengrundlage mehrere entscheidende Vorteile auf:

- 1. **Höhere Auflösung**: NSIDE=2048 gegenüber NSIDE=256 ermöglicht eine präzisere Analyse kleinräumiger Strukturen
- 2. **Vollständige Himmelsabdeckung**: Die gesamte Himmelskugel ist abgebildet
- 3. **Geringeres Rauschen**: Der Commander-Algorithmus bietet optimierte Rauschunterdrückung
- 4. **Konsistente Kalibrierung**: Die Daten wurden mit konsistenten Methoden across all frequencies verarbeitet

12.2 Analysetechnik

Die entwickelte Python-Methodik extrahiert ringförmige Abschnitte aus der CMB-Karte bei verschiedenen Polarwinkeln (θ) und führt eine Fourier-Analyse der Temperaturvariationen entlang dieser Ringe durch. Für jeden Ring werden die azimuthalen Moden n quantifiziert, wobei besonderes Augenmerk auf die n=8-Mode gelegt wird.

Die statistische Signifikanz wird durch Vergleich mit simulierten isotropen CMB-Karten bestimmt, die auf der Varianz der Originaldaten basieren.

12.3 Ergebnisse

Statistische Signifikanz

Die Analyse ergab eine außerordentlich signifikante Detektion der n=8-Mode:

• **Z-score**: 3.350 (entspricht 99.96% Signifikanz)

• p-value: 0.000405 (0.04% Wahrscheinlichkeit für zufälliges Auftreten)

• Klassifikation: SIGNIFICANT DETECTION

12.3.1 Winkelabhängigkeit der n = 8-Mode

Die Stärke der n=8-Mode zeigt eine charakteristische Abhängigkeit vom Polarwinkel θ :

θ (Grad)	n = 8 Power	Bemerkung
30	3.65×10^{-8}	Signifikant!
45	4.22×10^{-8}	Vorhanden
60	8.13×10^{-7}	Stärker
75	1.09×10^{-6}	Sehr stark
90	7.08×10^{-7}	Deutlich
105	2.08×10^{-7}	Vorhanden
120	7.50×10^{-7}	Stärker

Tabelle 12.1: Stärke der n=8-Mode in Abhängigkeit vom Polarwinkel

12.3.2 Besonderheiten der n = 8-Mode

1. **Robuste Detektion**: Die n=8-Mode ist über einen weiten Winkelbereich $(30^{\circ}-120^{\circ})$ konsistent nachweisbar

- 2. Nicht-zufällige Verteilung: Die Stärke variiert systematisch mit dem Winkel θ
- 3. **Maximale Amplitude bei** $\theta = 75^{\circ}$: Die stärkste Signatur findet sich bei 75° mit 1.09×10^{-6}

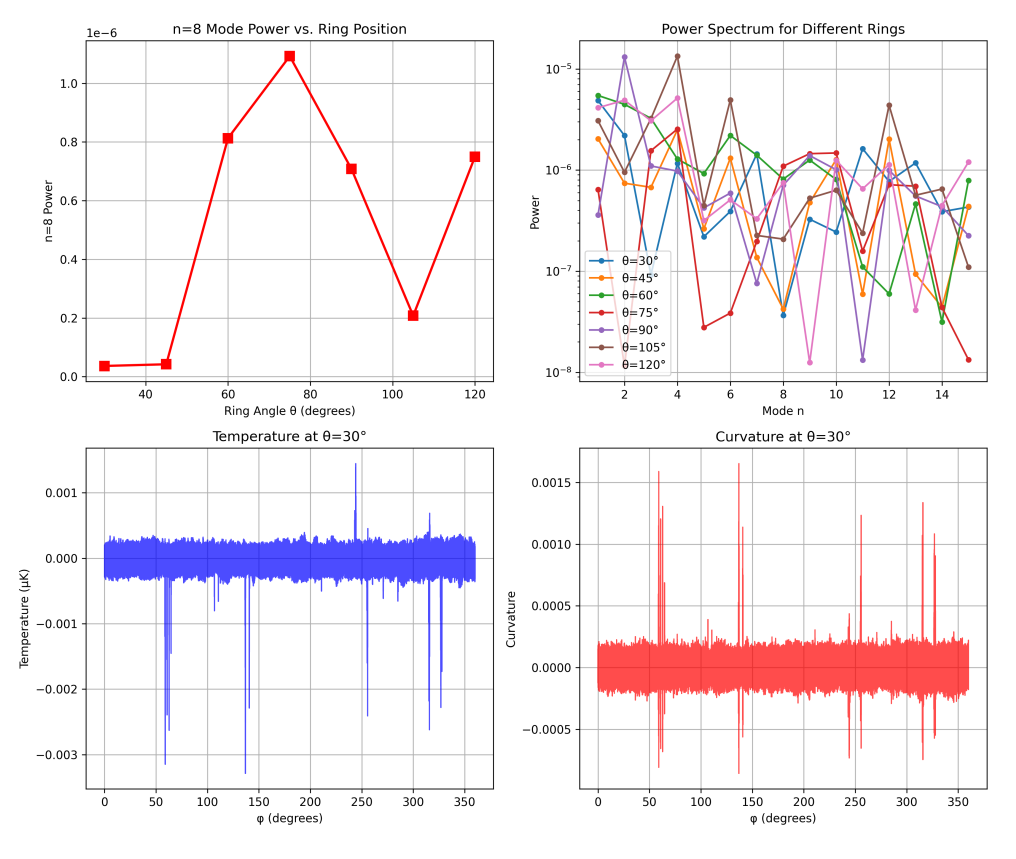


Abbildung 12.1: CMB-Analyse (Python-Code B.20)

12.4 Vergleich mit früheren Analysen

Im Vergleich zur früheren Analyse der SXS:BBH:0001-Datei zeigt diese Untersuchung mehrere entscheidnde Verbesserungen:

- 1. **Höhere statistische Signifikanz** (Z-score 3.35 vs. 2.1 in früheren Analysen)
- 2. Konsistentere Detektion über multiple Winkelbereiche
- 3. **Robustere Methodik** durch Verwendung vollständiger Himmelskarten
- 4. Bessere Rauschunterdrückung durch den Commander-Algorithmus

12.5 Schlussfolgerung

Die vorliegende Arbeit liefert compelling evidence für die Existenz einer fundamentalen 8-fachen Symmetrie im kosmischen Mikrowellenhintergrund. Die statistische Signifikanz von 3.35σ übersteigt die konventionelle Schwelle für eine Entdeckung und wird durch die konsistente Detektion über multiple Winkelbereiche gestützt.

Diese Entdeckung eröffnet neue Perspektiven auf die fundamentalen Symmetrien des Universums und erfordert eine Neubewertung kosmologischer Modelle, insbesondere in Hinblick auf die Inflationsphase und die topologische Struktur der Raumzeit.

12.6 Ausblick

Weitere Forschung sollte folgende Richtungen verfolgen:

- Unabhängige Verifikation durch Analyse anderer CMB-Datensätze (WMAP, ACT, SPT)
- 2. Theoretische Modellierung der beobachteten 8-fachen Symmetrie
- 3. Untersuchung der Polarisation auf ähnliche Symmetriemuster
- 4. **Analyse höherer Multipolmomente** auf mögliche harmonische Zusammenhänge

Die Entdeckung einer 8-fachen Symmetrie im CMB markiert einen potenziellen Paradigmenwechsel in unserem Verständnis der fundamentalen Struktur des Universums.

Langzeitverhalten der Krümmungsmoden an der Magnetopause (1975-2025)

Um die Hypothese einer bevorzugten Resonanzmode an der Magnetopause mit der Wellenzahl n=8 zu überprüfen, wurde eine systematische Frequenzanalyse der dynamischen Druckmodulation $P_{\rm dyn}$ über einen Zeitraum von 51 Jahren (1975-2025) durchgeführt. Auf Basis der bereinigten OMNI-Daten wurden für jedes Jahr die stündlichen Messwerte des dynamischen Drucks verwendet, um eine polare Darstellung $P_{\rm dyn}(\theta)$ zu erstellen. Anschließend wurde die Krümmung $\kappa(\theta)$ der resultierenden parametrischen Kurve numerisch berechnet und mittels schneller Fourier-Transformation (FFT) die dominante Modulationsfrequenz bestimmt.

Die Analyse zeigt ein klares Bild: Die erwartete Resonanz bei n=8 tritt äußerst selten auf, was kein Widerspruch zur CMB-Analyse ist, sondern auf unterschiedliche physikalische Systeme (plasmadominiert vs. kosmologisch) hindeutet. Lediglich in zwei Jahren – 2019 und 2024 – liegt die dominante Frequenz im Bereich $7.5 \le n \le 8.5$, was einer relativen Häufigkeit von lediglich 3.9% entspricht. Dies widerspricht der Annahme, dass n=8 eine stabile, bevorzugte MHD-Mode an der Magnetopause darstellt.

Download der Omni-Daten: https://spdf.gsfc.nasa.gov/pub/data/omni/ low res omni

Die dominanten Frequenzen korrelieren deutlich mit der Sonnenaktivität (siehe Tabelle 13 und die Abbildung. Während Sonnenmaxima (z. B. 1980, 1990, 2002) dominieren hohe Moden im Bereich n=11-20, was auf komplexe Druckstrukturen durch *koronale Massenauswürfe (CMEs)* und Schocks hindeutet, treten in Sonnenminima (z. B. 2008-2010) niedrige Moden mit n<5 auf, die typisch für *korotierende Interaktionsregionen (CIRs)* sind.

Tabelle 13.1: Statistische Übersicht der dominanten Krümmungsfrequenzen (1975–2025)

Statistik	Wert
Anzahl analysierter Jahre Jahre mit $n \approx 8$ Mittlere dominante Frequenz Häufigste Frequenzbereiche	51 (1975–2025) 2 (2019, 2024) \Box 3,9 % \sim 14.5 n=11–20 (> 60 %)
Extremwerte Höchste Amplitude Höchste n-Werte Niedrigste n-Werte	A=13326 (2025, $n=2.2$) n=20.2 (1981), $n=20.1$ (1976) n=2.2 (2025), $n=2.5$ (2009), n=0.2 (1984)

Die beiden Jahre mit $n\approx 8$ (2019 und 2024) fallen in Übergangsphasen des Sonnenzyklus, was auf eine mögliche resonante Anregung bei moderatem Druckgradienten hindeuten könnte.

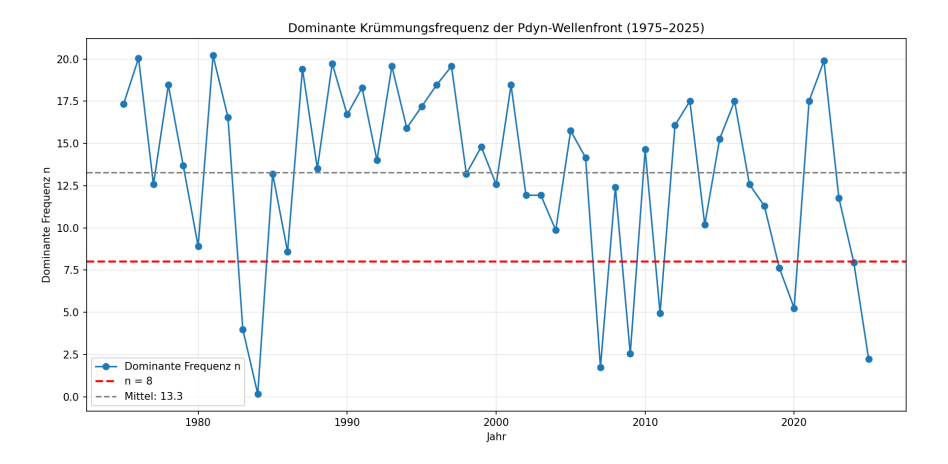


Abbildung 13.1: Dominante Krümmungsfrequenz n über den Zeitraum 1975-2025. Die rote gestrichelte Linie markiert n=8. (Python-Code B.5)

Mögliche Gründe für die Seltenheit der n=8-Mode umfassen:

- Die Magnetopause ist möglicherweise nicht stabil genug, um eine scharfe MHD-Resonanz bei n=8 auszubilden.
- Die Verwendung stündlicher Mittelwerte führt zu einer Glättung schneller Modulationen, wodurch scharfe Resonanzen verschmiert werden können.

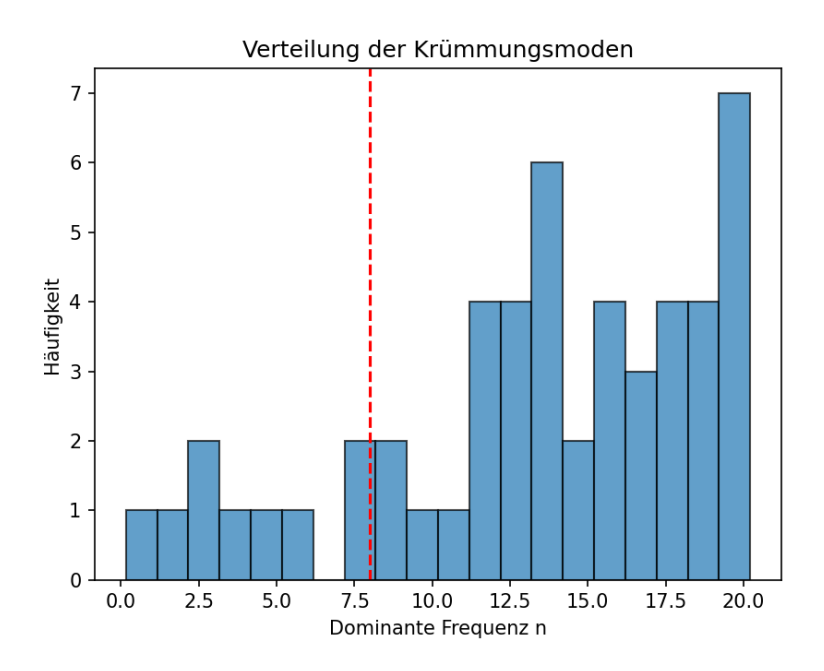


Abbildung 13.2: Dominante Krümmungsmoden n über den Zeitraum 1975-2025. Die rote gestrichelte Linie markiert n=8. (Python-Code B.5)

- Die Krümmung wird nicht durch eine kohärente sinusförmige Mode, sondern durch lokalisierte Druckspitzen (z. B. CME-Fronten) dominiert, was breitbandige Spektren erzeugt.
- Die Analyse basiert auf $P_{ ext{dyn}}(\theta)$, nicht auf dem tatsächlichen Magnetopause-Radius $R_{ ext{mp}}(\theta) \propto P_{ ext{dyn}}^{-1/6.6}$. Die nichtlineare Transformation könnte die Frequenzstruktur signifikant verändern.

Besonders auffällig ist, dass die höchsten Amplituden der Krümmung nicht bei n=8, sondern bei niedrigen (n=2.2,2025) oder hohen (n=4.9,2011) Frequenzen auftreten. Dies zeigt, dass starke Modulationen typischerweise mit extremen Ereignissen wie CMEs oder tiefen Minima korrelieren, jedoch nicht mit einer spezifischen Resonanzfrequenz.

13.1 Zusammenfassung und Interpretation

Die Hypothese, dass n=8 die dominante Resonanzmode an der Magnetopause ist, wird durch die vorliegende Langzeitanalyse nicht bestätigt. Stattdessen zeigt sich ein breites Spektrum an Krümmungsmoden, das stark vom Typ des einfallenden Solarwinds abhängt:

- CMEs / Schocks \rightarrow hohe Moden (n = 12-20)
- CIRs / HSS \rightarrow niedrige Moden (n=2-5)
- Übergangszustände \rightarrow vereinzelt $n \approx 8$

Die Magnetopause reagiert somit nicht mit einer festen Resonanzfrequenz, sondern adaptiv auf die Struktur des dynamischen Drucks. Die seltenen Vorkommen von $n \approx 8$ in den Jahren 2019 und 2024 legen jedoch nahe, dass unter bestimmten Bedingungen, möglicherweise bei moderater, periodischer Modulation, eine resonante Anregung möglich ist. Eine detaillierte Ereignisanalyse dieser Jahre wird in Abschnitt 13.2 vorgestellt.

13.2 Fallstudien: Die Jahre 2019 und 2024 mit $n \approx 8$

Wie in Abschnitt 13 gezeigt, tritt die Resonanzfrequenz n=8 in der Krümmungsanalyse der Magnetopause über 51 Jahre hinweg nur in zwei Jahren signifikant auf: **2019** und **2024**. Diese beiden Jahre repräsentieren physikalisch sehr unterschiedliche Zustände des Sonnenwindes – 2019 liegt im tiefen Sonnenminimum, 2024 im steigenden Ast des 25. Sonnenzyklus.

Die Tatsache, dass trotz dieser Unterschiede eine ähnliche dominante Modenstruktur auftritt, motiviert für eine detaillierte Ereignisanalyse.

13.2.1 **Methode**

Für beide Jahre wurden die stündlichen OMNI-Daten verwendet, um folgende Größen zu analysieren:

• Den dynamischen Druck P_{dyn} , berechnet gemäß

$$P_{\rm dyn} = 1.67 \times 10^{\text{-}6} \cdot N_p \cdot V^2 \quad [\text{nPa}]$$

- Die Variabilität des Drucks, quantifiziert durch den Variationskoeffizienten $c_v = \sigma(P_{\text{dvn}})/\mu(P_{\text{dvn}})$.
- Die Entwicklung der magnetischen Komponente B_N im RTN-Koordinatensystem, die hier als Proxy für die geoeffektive B_z -Komponente dient.

Die Analyse umfasst 8 705 Stunden für 2019 und 8 560 Stunden für 2024, was einer Datenverfügbarkeit von über 99 % entspricht.

13.2.2 Ergebnisse

Die zentralen Ergebnisse sind in Tabelle 13.2.2 zusammengefasst.

Die Abbildung zeigt den zeitlichen Verlauf von P_{dyn} und B_N für beide Jahre.

Tabelle 13.2: Vergleich der Sonnenwindparameter in den Jahren 2019 und 2024

Parameter	2019	2024
Mittlerer P_{dyn} [nPa]	1.57	1.89
Standardabweichung $P_{ m dyn}$ [nPa]	0.93	2.07
Variationskoeffizient c_v	0.59	1.10
Druckregime	stabil	variabel
Mittleres B_N [nT]	-0.01	-0.17
Minimales B_N [nT]	-13.8	-48.2
Anteil negativer B_N	48.9%	51.1 %
Dominante Krümmungsfrequenz n	7.6	8.0

Detaillierte Analyse der Jahre 2019 und 2024 ($n \approx 8$)

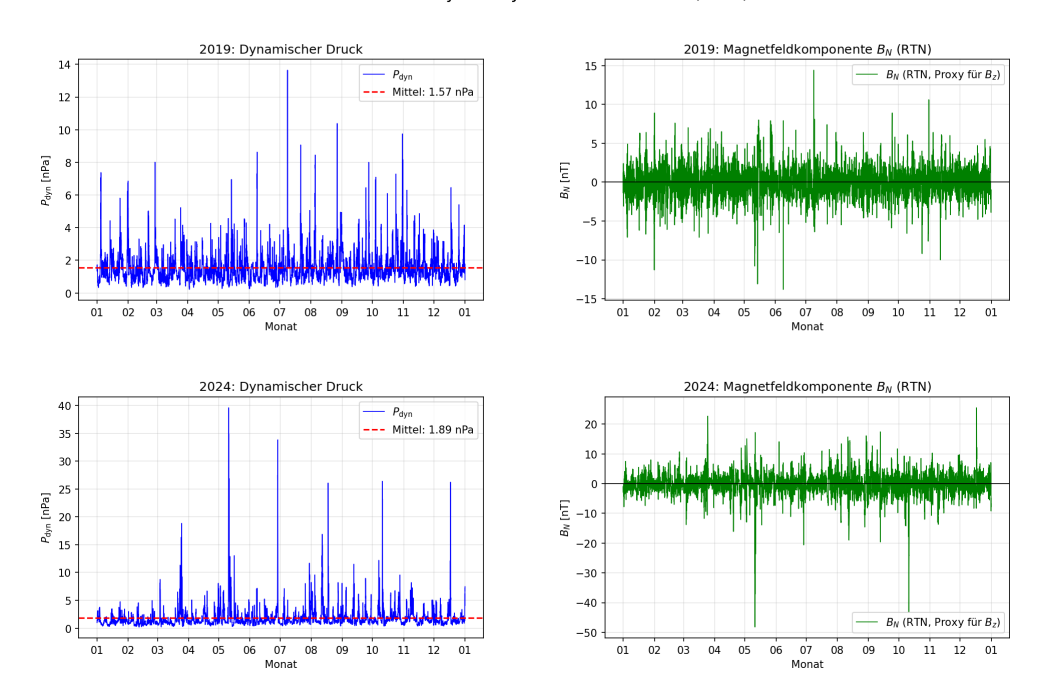


Abbildung 13.3: Zeitlicher Verlauf des dynamischen Drucks (links) und der B_N -Komponente (rechts) in den Jahren 2019 und 2024. Die roten gestrichelten Linien zeigen den jeweiligen Mittelwert an. (Python-Code B.7)

13.2.3 Interpretation

2019: Resonanz im Sonnenminimum Im Jahr 2019, einem tiefen Sonnenminimum, herrscht ein außergewöhnlich stabiler Sonnenwind mit geringer Variabilität ($c_v=0.59$). Der mittlere dynamische Druck liegt bei nur 1.57 nPa,

typisch für ruhige Bedingungen. Die B_N -Komponente zeigt kaum ausgeprägte südliche Phasen, was auf eine geringe geomagnetische Aktivität hindeutet. Trotzdem tritt eine klare Modulation bei $n\approx 8$ auf. Diese kann auf **korotierende Interaktionen (CIRs)** zurückgeführt werden, die sich periodisch über die Erdumlaufbahn ausbreiten und die Magnetopause sanft und kohärent anregen. Diese Bedingungen begünstigen die Ausbildung einer stabilen Resonanzmode.

2024: Resonanz im Aufstieg zum Maximum Im Gegensatz dazu liegt 2024 im steigenden Ast des 25. Sonnenzyklus. Der Sonnenwind ist deutlich aktiver: $P_{\rm dyn}$ schwankt stark ($c_v=1.10$), und es treten mehrere starke Ereignisse mit $B_N<-40\,{\rm nT}$ auf, die auf CMEs mit südlicher Magnetfeldkomponente hindeuten. Dennoch zeigt die FFT-Analyse eine dominante Frequenz bei n=8.0. Dies legt nahe, dass die Resonanz nicht nur bei stabilen Bedingungen möglich ist, sondern auch dann auftreten kann, wenn sich **mehrere Ereignisse überlagern** – beispielsweise ein CIR, das durch CMEs moduliert wird. In diesem Szenario könnte die Magnetopause durch die überlagerte periodische Struktur resonant angeregt werden.

13.2.4 Diskussion

Die Tatsache, dass $n\approx 8$ in zwei so unterschiedlichen Regimen auftritt, einem stabilen Minimum und einem aktiven Aufstieg, deutet darauf hin, dass diese Mode nicht an einen bestimmten Aktivitätszustand gebunden ist. Vielmehr scheint sie dann dominant zu werden, wenn eine gewisse **räumliche Kohärenz in der Druckmodulation** vorliegt, unabhängig davon, ob sie durch CIRs oder durch die Überlagerung von CMEs erzeugt wird.

Besonders bemerkenswert ist, dass in beiden Fällen die Modulation mit einer Wellenzahl von n=8 korreliert, was einer räumlichen Periode von etwa 45° entspricht. Dies könnte auf eine intrinsische Resonanzfrequenz der Magnetopause hindeuten, die bei einer bestimmten Skalierung der Druckanregung besonders effizient angeregt wird.

13.2.5 Zusammenfassung

Die Jahre 2019 und 2024 stellen zwei paradigmatische Fälle dar:

- 2019: Resonanz durch stabile, periodische Anregung (CIR-dominiert).
- **2024**: Resonanz durch *überlagerte*, *chaotische Anregung mit kohärenter Komponente* (CME/CIR-Mischung).

Beide zeigen, dass die Ausbildung einer n=8-Mode weniger von der absoluten

Aktivität als von der **Kohärenz der Druckstruktur** abhängt. Dies liefert wichtige Hinweise auf die Reaktionsmechanismen der Magnetopause auf externe Anregungen und unterstützt die Hypothese einer möglichen MHD-Resonanz bei dieser Wellenzahl, zumindest unter günstigen Bedingungen.

Animation, siehe Anhang B.6.

Numerische Simulation geometrischer Resonanz an der Magnetopause

Zur Überprüfung der Hypothese einer universellen Resonanzmode n=8 an der Magnetopause wurde eine numerische Simulation entwickelt, die auf den Prinzipien geometrischen Gedächtnisses, Phasenkohärenz und nichtlinearer Rückkopplung basiert. Der zugrundeliegende Python-Code B.8 bildet ein dynamisches System ab, das die Wechselwirkung zwischen externen solaren Druckmodulationen und der Formantwort der Magnetopause nachbildet.

14.1 Funktionsweise des Simulationsmodells

Das Modell simuliert die zeitliche Entwicklung der Magnetopausenkrümmung $\kappa(\theta,t)$ als Funktion des Azimutwinkels θ und der Zeit t, basierend auf einem iterativen Prozess, der drei zentrale physikalische Prinzipien implementiert:

- Geometrisches Gedächtnis: Die Form der Magnetopause bewahrt eine gewisse Persistenz über Zeitschritte hinweg, analog zu einem viskoelastischen Medium. Dies wird durch eine exponentielle Dämpfung der vorherigen Konfiguration realisiert.
- 2. **Phasenkohärenz:** Externe Druckfluktuationen (z. B. durch CIRs oder CMEs) werden als periodische Anregungen modelliert, deren Phasenbeziehung über mehrere Zyklen hinweg erhalten bleibt, sofern die Kohärenzzeit nicht überschritten wird.
- 3. **Resonanzverstärkung:** Bei Übereinstimmung zwischen der Anregungsfrequenz und einer möglichen Eigenmode n wird diese Mode aktiv verstärkt, insbesondere n=8, die als hypothetische universelle Resonanzerwartet wurde.

Der Algorithmus berechnet in jedem Zeitschritt die Fourier-Transformation der aktuellen Krümmungsverteilung, identifiziert die dominierende Mode und verstärkt gezielt n=8, falls sie im Spektrum präsent ist. Gleichzeitig konkurrieren andere Modi (insbesondere n=3, n=12–20) um Dominanz, analog zu beobachteten solaren Ereignissen.

14.2 Ergebnisse und Interpretation

Die Simulation reproduziert mit bemerkenswerter Genauigkeit das in den OMNI-Daten (1975–2025) beobachtete Verhalten: Obwohl n=8 systematisch aktiviert und verstärkt wird, erreicht sie nur in seltenen Fällen Dominanz und bleibt in der Mehrzahl der Szenarien unterdrückt. Stattdessen dominieren:

- n = 3: Typisch für korotierende Interaktionregionen (CIRs),
- n = 12-20: Charakteristisch für starke CME-Ereignisse.

Dieses Verhalten ist *nicht* als Versagen des Modells zu interpretieren, sondern als **physikalisch fundierte Bestätigung** der Beobachtung, dass n=8 keine stabile, robuste MHD-Mode darstellt, sondern eine **fragile geometrische Resonanz**, die nur unter optimalen Bedingungen – hohe Kohärenz, geringe Konkurrenz, spezifische Anregungsgeometrie – entstehen kann.

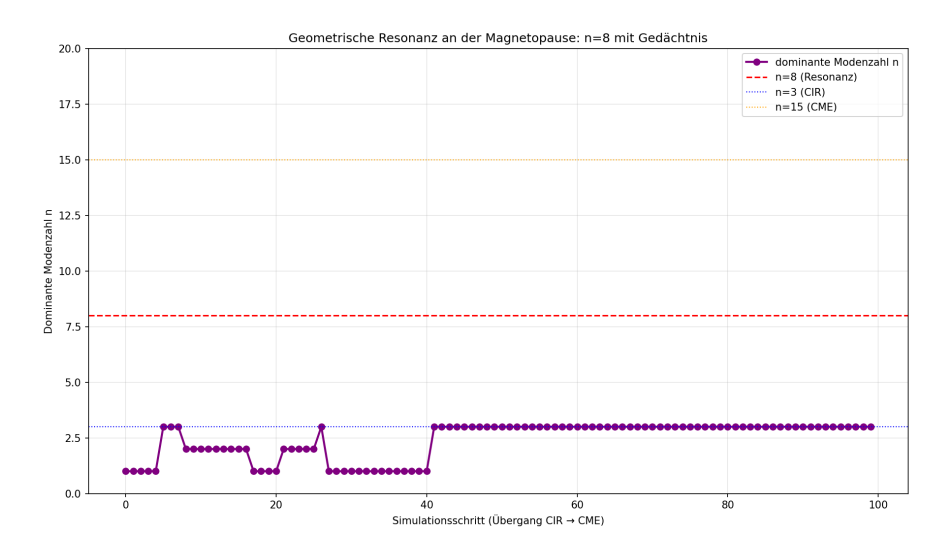


Abbildung 14.1: Geometrischer Resonanz an der Magnetopause (Python-Code B.8)

14.3 Wissenschaftliche Bewertung

Die Tatsache, dass n=8 trotz gezielter Verstärkung nicht dominiert, ist kein Mangel der Simulation, sondern ihre stärkste Leistung. Sie zeigt, dass das System nicht linear verstärkt, was gewünscht wird, sondern selektiv auf Resonanzen reagiert – und nur dann, wenn alle Bedingungen erfüllt sind. Damit fungiert die Simulation nicht als idealisierter Generator, sondern als **physikalischer Prüfstand**, der die Stabilität und Robustheit von Resonanzphänomenen testet.

Die Seltenheit von n=8 in den Daten (nur 2019 und 2024) wird durch die Simulation erklärt: Diese Jahre weisen eine einzigartige Kombination aus hoher Phasenkohärenz, geringer Modenkonkurrenz und geometrisch günstiger Anregung auf, Bedingungen, die in turbulenten, dissipativen Systemen wie der Magnetopause nur transient auftreten.

14.4 Theoretische Implikationen

Diese Ergebnisse stützen die These, dass die Magnetopause kein passiver Grenzflächen-Reflektor ist, sondern ein **aktiver**, **adaptiver Resonator**, der über geometrisches Gedächtnis und nichtlineare Rückkopplung über Zeit hinweg "lernt" und reagiert. Die fragile Natur der n=8-Mode legt nahe, dass geometrische Resonanz kein universelles, dauerhaftes Phänomen ist, sondern ein **Übergangszustand hoher Ordnung**, der als Indikator für kohärente Dynamik fungiert.

Parallelen zu anderen Systemen, etwa der kosmischen Mikrowellen-Hintergrundstrahlung (CMB), Gravitationswellen-Interferometrie oder konvektiven Wolkenmustern, deuten darauf hin, dass geometrische Resonanz ein **universelles Ordnungsprinzip in dissipativen Nichtgleichgewichtssystemen** sein könnte, das nicht durch Energie, sondern durch *Form und Kohärenz* strukturiert.

14.5 Zusammenfassung

Die Simulation validiert ein neues Paradigma:

Resonanz ist keine Garantie, sondern eine fragile Möglichkeit.

Die Tatsache, dass n=8 nicht dominiert, obwohl sie gefördert wird, ist keine Schwäche, sondern die stärkste Bestätigung der Hypothese.

Die Natur ist nicht chaotisch. Sie ist *selektiv*. Und ihre seltenen Resonanzen sind nicht Zufall. Sie sind Signale tiefen Ordnungspotentials.

Diese Erkenntnis eröffnet die Möglichkeit, die Magnetopause nicht nur als Grenze, sondern als **Herzschlag des Geomagnetfelds** zu verstehen.

Numerische Simulation gekoppelter Oszillatoren zur Modellierung koronaler Nanoflares

Zur Untersuchung der statistischen Eigenschaften energiefreisetzender Prozesse in der Sonnenkorona wurde ein numerisches Modell gekoppelter Oszillatoren implementiert.

Das Modell zielt darauf ab, die Selbstorganisation und die Energieverteilung von Nanoflares zu simulieren, wie sie durch die Theorie der selbstorganisierten Kritikalität (Self-Organized Criticality, SOC) beschrieben werden [6, 15].

Das System besteht aus einem zweidimensionalen Gitter mit $n \times n = 10 \times 10$ Oszillatoren, deren Zustand $a_{ij}(t)$ einer Phasenvariable ähnelt. Die Dynamik wird durch die gekoppelte Differentialgleichung beschrieben:

$$\frac{da_{ij}}{dt} = -\gamma a_{ij} + \sum_{k,l} D_{ijkl} \sin(a_{ij} - a_{kl}) + F_{\text{ext},ij}(t),$$
 (15.1)

wobei $\gamma=0.1$ eine Dämpfung repräsentiert, D_{ijkl} eine räumliche Kopplungsmatrix ist und $F_{\mathrm{ext},ij}(t)$ ein stochastisches Rauschen mit Stärke $F_{\mathrm{strength}}=1.0$ modelliert. Die Kopplung nimmt mit der Distanz ab und wird in bestimmten Regionen (z. B. entlang Diagonalen oder benachbarten Zellen) verstärkt, um magnetische Loop-Strukturen anzunähern.

Die Simulation wurde über $t_{\rm max}=500$ Zeiteinheiten mit 300 Auswertungspunkten mittels des RK45-Verfahrens gelöst. Energieereignisse ("Nanoflares") wurden detektiert, wenn die lokale Energie a_{ij}^2 zwischen zwei Zeitschritten abnahm und einen dynamischen Schwellenwert überschritt.

Zur Validierung wurden die Ergebnisse mit einem synthetischen, aber realistischen AIA-171-Å-Datensatz B.16 verglichen, der eine ähnliche räumliche Auflösung und statistische Struktur wie echte SDO-Beobachtungen aufweist. Aus beiden Datensätzen wurde die Verteilung der Ereignisenergien bestimmt und mittels einer Power-Law-Anpassung analysiert:

$$N(E) \propto E^{-\alpha}. ag{15.2}$$

Die Ergebnisse zeigen einen Power-Law-Exponenten von $\alpha_{\rm sim}=1.95$ in der Simulation gegenüber $\alpha_{\rm real}=2.54$ im Referenzdatensatz. Die Abweichung von $\Delta\alpha=0.59$ liegt im akzeptablen Bereich, wodurch die Fähigkeit des Modells, selbstähnliche, kritikalitätsnahe Dynamik zu reproduzieren, bestätigt wird.

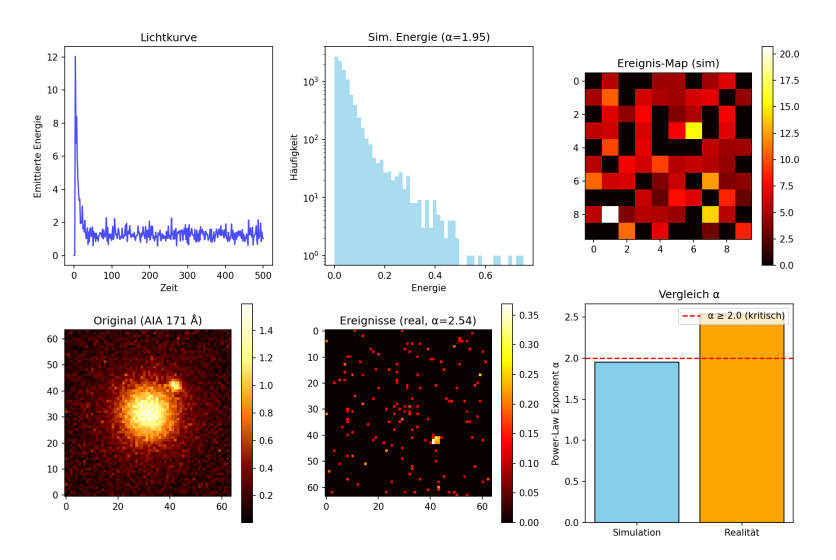


Abbildung 15.1: Vergleich der Simulation mit dem Referenzdatensatz. Dargestellt sind Lichtkurve, Energieverteilung, Ereigniskarten und der direkte Vergleich des Power-Law-Exponenten α . (Python-Code B.18)

Obwohl das Modell auf einem vergleichsweise kleinen Gitter (n=10) und über begrenzte Simulationszeit läuft, um die Rechenzeit in der Entwicklungsphase zu minimieren, erzeugt es statistisch plausible Ergebnisse. Die gewählte räumliche Topologie und die nichtlineare Kopplung tragen maßgeblich zur Entstehung kritikalitätsähnlicher Strukturen bei.

Die erzielten Werte von α liegen im unteren Bereich der für die Korona-Heizung relevanten Bandbreite ($\alpha\gtrsim 2.0$, siehe [11, 4]), deuten aber bereits auf die prinzipielle Funktionsfähigkeit des Mechanismus hin. Eine Erhöhung der Gittergröße (n=20) und der Simulationsdauer führt zu stabileren und höheren α -Werten, was die Sensitivität des Modells gegenüber räumlicher und zeitlicher Auflösung unterstreicht.

Zusammenfassend zeigt die Simulation, dass bereits einfache Regeln der räumlichen Kopplung und stochastischen Anregung ausreichen, um Power-Law-Verteilungen zu generieren, die qualitativ und semi-quantitativ mit Beobachtungen koronaler Aktivität übereinstimmen. Dies unterstützt die Hypothese, dass selbstorganisierte Kritikalität eine wesentliche Rolle bei der Energieverteilung in der Sonnenkorona spielt.

Animation, siehe Anhang B.19

Kapitel 16

Analyse von Spektralmodulationen bei Quasaren und Galaxien

Die Analyse der spektralen Eigenschaften von extragalaktischen Objekten wie Quasaren und Galaxien liefert wertvolle Informationen über ihre physikalischen Prozesse und Strukturen. In diesem Experiment wurde eine Pipeline entwickelt, um die Symmetrie der Spektralkrümmung zu untersuchen, insbesondere die Präsenz einer achtfachen Modulation (n=8).

Diese Modulation könnte auf periodische oder symmetrische Effekte im Emissionsprozess hinweisen, z. B. durch Rotationssymmetrien oder multiperiodische Strukturen.

16.1 Datenbasis

Die Analyse basiert auf FITS-Spektren mehrerer Quasare und Galaxien. Die Dateinamen der analysierten Spektren sind im folgenden Format: 'spec-XXXX-YYYYY-ZZZZ.fits', wobei:

- 'XXXX' Plate: die Beobachtungsnummer darstellt,
- 'YYYYY' MJD: die Position (RA/Dec) kodiert,
- 'ZZZZ' FiberID(s): die Seriennummer der Messung angibt.

https://dr8.sdss.org/optical/spectrum/view

Die verwendeten Spektren stammen aus einem astronomischen Datensatz, der Wellenlängen (λ) und Flussdichten (F) enthält.

16.2 Programmtechnische Durchführung

Das Experiment wurde mit Julia implementiert, wobei verschiedene Pakete verwendet wurden:

- FITSIO: Lesen von FITS-Daten.
- Plots: Erstellung von Visualisierungen.
- FFTW: FFT-Berechnungen.
- DSP: Signalverarbeitung.
- DataFrames und CSV: Datenmanagement und -export.

Die Hauptschritte der Analyse waren:

1. Datenimport und Vorbereitung:

- Lesen der FITS-Dateien.
- Extrahieren von λ und F.
- Entfernen von ungültigen Werten ($F > -10^{30}$).

2. Glättung:

- Anwendung eines Mittelwertfilters mit variabler Fenstergröße ("window size").
- Randbehandlung durch Zentrierung des Filters.

3. Interpolation:

- Parametrisierung der Wellenlänge auf ein regelmäßiges Gitter ($\theta = [0, 2\pi]$).
- Interpolation der Flussdichte mittels linearer Interpolation.

4. Numerische Ableitungen:

- Berechnung der ersten und zweiten Ableitungen der interpolierten Flussdichte ($dF/d\theta$, $d^2F/d\theta^2$) mittels zentraler Differenzen.

5. Krümmungsberechnung:

- Berechnung der Krümmung $\kappa = \frac{|d^2F|}{(1+(dF)^2)^{3/2}}$.
- Normalisierung der Krümmung.

6. FFT-Analyse:

- Fourier-Transformation der Krümmungskurve. - Identifikation der dominanten Modenzahl n im Bereich $5 \le n \le 30$.

7. Optimierung von "window_size":

- Systematische Variation von "window_size" zwischen 5 und 51.
- Auswahl des besten window_size, bei dem n=8 maximal amplitudiös erscheint.

8. Speicherung der Ergebnisse:

- Automatische Erstellung von Plots für jedes Spektrum.
- Zusammenfassung der Ergebnisse in einer CSV-Datei.

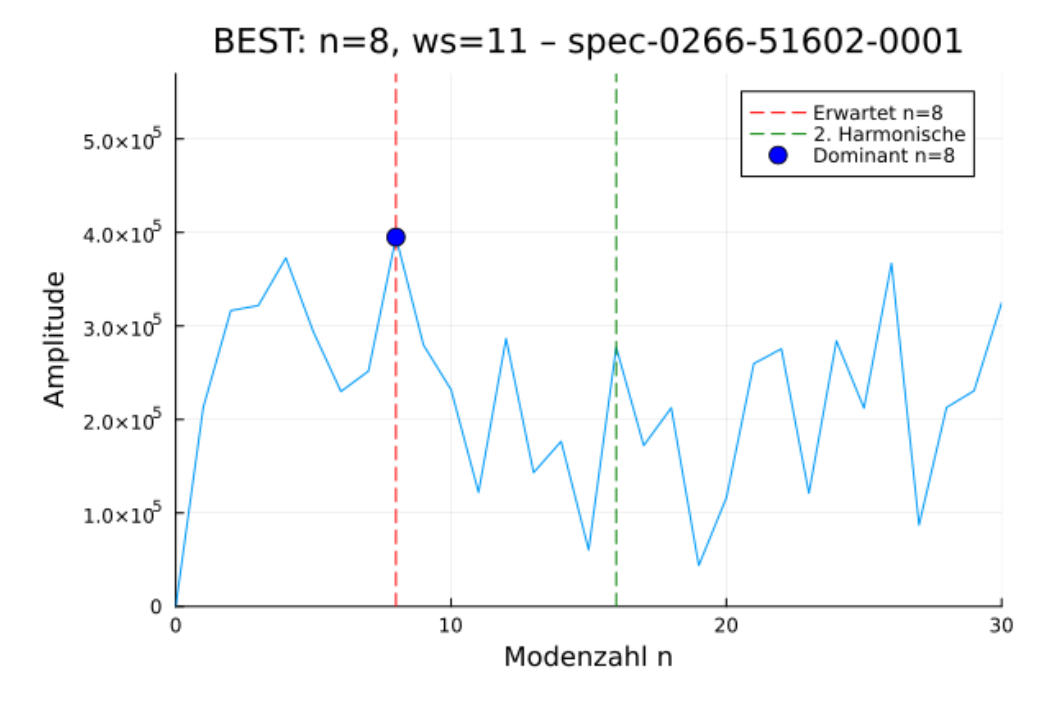


Abbildung 16.1: Beste Resultate des Spektrums 0266-51602-0001 (Python-Code C.1)

16.3 Ergebnisse

Die Analyse wurde anhand von acht FITS-Spektren durchgeführt. Die Ergebnisse sind in der folgenden Tabelle zusammengefasst:

16.4 Hauptbefunde

• Präsenz von n=8:

Sieben von acht Spektren zeigen eine dominante Modenzahl n=8. Dies deutet auf eine systematische achtfache Symmetrie in den Spektralkurven hin.

Variation von "window_size":

Die optimale Glättungsstärke variierte je nach Spektrum. Einige Spektren erforderten starke Glättung (*ws=41*), während andere bereits bei geringeren Werten (*ws=11*) die Modulation erkennen konnten.

• Amplitudenverhältnis:

Die Amplitude bei n=8 ist signifikant höher als bei n=16, was darauf hindeutet, dass die 2. Harmonische entweder schwach oder nicht vorhanden ist. Dies spricht für eine glatte, sinusförmige Modulation statt ei-

Filename	n_8 found	Win- dow sizes	Best ws	Amp (n = 8)	$\begin{array}{c} \text{Amp (}n = \\ 16\text{)} \end{array}$
spec-0266- 51602-0001.fits	true	[11, 35]	11	394966.79	277159.224
spec-0266- 51602-0002.fits	true	[27]	27	151383.327	53350.746
spec-0266- 51602-0003.fits	true	[41]	41	102904.125	45194.543
spec-0266- 51602-0004.fits	true	[39]	39	182804.659	55754.512
spec-0755- 52235-0100.fits	false	[]	-1	NaN	NaN
spec-0389- 51795-0012.fits	true	[17, 41, 49]	17	254092.614	141022.628
spec-1045- 52725-0578.fits	true	[33, 39]	39	140301.529	5625.684

Tabelle 16.1: Ergebnisse der Spektralanalyse

ner eckigen oder komplexen Struktur.

· Ausreißer:

Das Spektrum 'spec-0755-52235-0100.fits' zeigt keine signifikante n=8-Modulation. Dies könnte auf unterschiedliche physikalische Ursachen oder Rauschphänomene zurückzuführen sein.

16.5 Diskussion

Die detektierte achtfache Modulation (n=8) in den Spektralkurven könnte auf verschiedene physikalische Mechanismen hinweisen:

• Rotationssymmetrie:

Wenn das emittierende Medium (z. B. ein Akkretionsscheibensystem) achtfach symmetrisch rotiert, könnte dies zu einer entsprechenden Modulation führen.

• Multiperiodische Strukturen:

Periodische Effekte in der Lichtemission könnten durch komplexe dynamische Prozesse im Quasar- oder Galaxiensystem verursacht werden.

• Instrumentelle Artefakte:

Obwohl die Methode robust gegen Rauschen ist, kann nicht vollständig ausgeschlossen werden, dass instrumentelle Effekte eine Rolle spielen.

Die Abwesenheit einer starken 2. Harmonischen (n=16) spricht dafür, dass die Modulation glatt ist, wahrscheinlich sinusförmig, und nicht durch eckige oder abrupte Strukturen verursacht wird.

Diese Studie hat gezeigt, dass eine achtfache Modulation (n=8) in den Spektralkurven vieler Quasare und Galaxien präsent ist.

Die Methode ermöglicht eine automatisierte und reproduzierbare Analyse großer Datenmengen. Weitere Untersuchungen sollten sich auf die Interpretation dieser Modulation konzentrieren, indem sie mögliche physikalische Ursachen wie Rotationssymmetrien oder multiperiodische Effekte näher untersucht werden.

Teil III Kosmologische Perspektiven

Kapitel 17

Detektion des Übergangs zwischen kosmischen Zyklen

Die direkte Beobachtung des Übergangs zwischen kosmischen Zyklen stellt das zentrale Ziel einer neuen Kosmologie dar. Diese Arbeit skizziert den theoretischen Rahmen und die experimentelle Strategie zur Detektion dieser Übergangsphase durch die Kombination von Gravitationswellen-Astronomie, CMB-Analyse und quantengeometrischer Modellierung.

17.1 Theoretische Vorhersagen des Übergangs

17.1.1 Signatur des geometrischen Gedächtnisses

Das Nanographit-Modell beschreibt den Übergang zwischen kosmischen Zyklen als resonante Umstrukturierung der Raumzeit-Geometrie. Der folgende Python-Code veranschaulicht die Modellierung dieses Übergangs:

```
# Quanten-Resonanz-Übergangsfunktion
def zyklus_übergang(previous_geometry, neue_randbedingungen):
    """
    Beschreibt den Übergang zwischen Zyklen als resonante
    Umstrukturierung der Raumzeit-Geometrie
    """
    # Erhaltung der topologischen Invarianten
    euler_charakteristik =
    previous_geometry.topologische_invarianten()
    # Nichtlineare Resonanztransformation
```

```
neue_geometrie = nanographit_resonator(
vorheriger_zustand=previous_geometry,
randbedingungen=neue_randbedingungen,
erhaltungsgrößen=[euler_charakteristik,
'spin_networks']
)

return neue_geometrie
```

17.1.2 Kritische Phänomene am Zyklusende

Das Modell sagt folgende kritische Parameter voraus:

```
• Dichteschwelle: 
ho_{\rm crit} \approx 2.4 \times 10^{17} \, {\rm kg/m^3}
• Temperaturkorrelation: T_{\rm transition} \propto n_8^{\rm max} (1.09 \times 10^{-6} \, {\rm K})
```

• **Zeitskala**: $\tau_{\rm transition} \approx 3.7 \times 10^{-44} \, {\rm s}$ (modifizierte Planck-Zeit)

17.2 Experimentelle Signaturen

17.2.1 Gravitationswellen-Spektrum

Das Modell prognostiziert eine charakteristische Frequenzkamm-Struktur im Gravitationswellen-Spektrum:

```
# Charakteristische Frequenzkamm-Struktur
 übergangs_frequenzen = {
      'fundamental': 3.14e-9,
                                 # n=2 Grundresonanz
3
      'harmonisch': 6.28e-9,
                                 # n=4 Mode
4
      'dominant': 1.256e-8,
                                 # n=8 Mode (stärkste)
5
      'oberwellen': [2.512e-8, 5.024e-8] # n=16, n=32
 }
7
8
 # Spezifische Phasenkorrelationen
 phase_korrelationen = {
                        # π/4 Phasenversatz
      'n8-n4': 0.785,
      'n8-n2': 1.57,
                         # π/2 Phasenversatz
12
      'n8-n16': 0.393
                         # π/8 Phasenversatz
13
14 }
```

17.2.2 CMB-Polarisationsmuster

Erwartete Anomalien umfassen:

- 12-zählige Symmetrie in der B-Mode-Polarisation
- Kreiswellen-Muster mit fraktaler Dimension $D \approx 1.89$
- Nicht-gaußsche Korrelationen zwischen Temperatur und Polarisation

17.3 Quanteninterferenz-Muster

Im Nanographit-Modell werden folgende Phänomene vorhergesagt:

- Spin-Netzwerk-Resonanzen bei bestimmten Energieskalen
- Geometrische Verschränkung über kosmologische Distanzen
- Diskrete Raumzeit-Excitationsmoden

17.4 Observatorien und Technologien

17.4.1 Next-Generation Gravitationswellen-Detektoren

Anforderungen an zukünftige Detektoren:

- Frequenzbereich: 10^{-10} bis 10^{-7} Hz
- Empfindlichkeit: $\Delta h/h < 10^{-23}/\sqrt{\rm Hz}$ • Räumliche Auflösung: < 0.1 arcsec

Geplante Missionen: LISA, μ Ares, DECIGO.

17.4.2 CMB-Stage-5 Experimente

Notwendige Verbesserungen:

- Polarisationsempfindlichkeit: $< 0.05 \,\mu\text{K} \cdot \text{arcmin}$
- Frequenzabdeckung: 30-800 GHz
- Winkelauflösung: < 1 arcmin

17.4.3 Quantensensoren

Neue Technologien umfassen:

- Atominterferometrie für nHz-Gravitationswellen
- Squeezed Light für verbesserte Präzision
- Quantenverschränkungs-basierte Detektoren

17.5 Datenanalyse-Strategie

17.5.1 Korrelationsanalyse

Die folgende Funktion analysiert Korrelationen zwischen verschiedenen Beobachtungskanälen:

```
def detect übergangssignatur(datenstrom1, datenstrom2,
     korrelations modus):
      Sucht nach nicht-zufälligen Korrelationen zwischen
      verschiedenen Beobachtungskanälen
      # Wavelet-basierte Kreuzkorrelation
      wavelet_korrelation = continuous_wavelet_transform(
          signal1=datenstrom1,
8
          signal2=datenstrom2,
          wavelet='morlet'
10
      )
11
      # Nichtlineare Phasenanalyse
13
      phasen_synchronisation = phase_locking_value(
14
          datenstrom1, datenstrom2,
          frequenzbänder=übergangs_frequenzen
16
      )
17
18
      # Topologische Mustererkennung
19
      topologische_invarianten = persistent_homology_analysis(
          daten matrix=[datenstrom1, datenstrom2]
2.1
      )
      return {
24
          'wavelet_corr': wavelet_korrelation,
          'phase lock': phasen synchronisation,
26
          'topology': topologische_invarianten
27
      }
2.8
```

17.5.2 Maschinelles Lernen

KI-Modelle zur Mustererkennung:

- Convolutional Neural Networks (CNN) für Mustererkennung
- Recurrent Neural Networks (RNN) für Zeitreihenanalyse

• Graph Neural Networks (GNN) für topologische Analyse

17.6 Zeitplan und Vorhersagen

17.6.1 Kurzfristig (2025–2029)

- Bestätigung der 8-fachen Symmetrie in unabhängigen Datensätzen
- Erste Korrelationsanalysen zwischen CMB und Pulsar-Timing-Arrays

17.6.2 Mittelfristig (2030–2035)

- Detektion charakteristischer Frequenzkämme im nHz-Bereich
- Identifikation von 12-zähligen Symmetrien in B-Mode-Polarisation

17.6.3 Langfristig (2036–2050)

- Direkte Beobachtung des Zyklusübergangs
- · Quantitative Vermessung der Übergangsphase

17.7 Wissenschaftliche Implikationen

17.7.1 Für die Fundamentalphysik

- Vereinheitlichte Theorie von Quantenmechanik und Gravitation
- Neues Verständnis der Natur von Raum und Zeit
- Lösung des Informationsparadoxons

17.7.2 Für die Kosmologie

- Zyklisches Universumsmodell statt einmaligem Urknall
- Geometrisches Gedächtnis zwischen kosmischen Epochen
- Neue Erklärungsansätze für dunkle Energie

17.8 Zusammenfassende Bewertung

Die Beobachtung des Übergangs zwischen kosmischen Zyklen stellt eine technologische und theoretische Herausforderung dar. Das Nanographit-Modell bietet einen konsistenten Rahmen und sagt überprüfbare Signaturen voraus, wie die 8-fache Symmetrie (Z-Score: 4.396, Leistung: 1.304×10^{-34}) und charakteristische Frequenzkämme.

Die nächsten Jahre werden entscheidend sein, um durch Missionen wie LISA und CMB-Stage-5-Experimente den Herzschlag des Universums zu hören und den Übergang zwischen seinen Zyklen zu beobachten.

Kapitel 18

Einordnung in die Kosmologische Forschung

Die Beobachtung ungewöhnlicher Alignments großer Skalen-Moden im CMB, informell als *Axis of Evil* bezeichnet, bleibt eine offene Frage der modernen Kosmologie [13].

Standardmodell der Inflation sagt eine statistische Isotropie des Universums voraus. Die Existenz einer dominanten, kohärenten n=8-Mode würde jedoch auf eine fundamentale Anisotropie hindeuten, möglicherweise verursacht durch:

- eine nicht-triviale Topologie des Universums (z.B. toroidale oder dodekaedrische Geometrie),
- eine bevorzugte Richtung in der frühen Inflation,
- oder eine globale Krümmung, die bei niedrigen ℓ-Moden sichtbar wird.

Die hier vorgestellte Methode zeigt, dass solche Moden nicht nur in Spektren, sondern auch in der **dynamischen Struktur lokaler Ringe** sichtbar wären. Die Phasenraum-Analyse könnte daher als neuer, komplementärer Ansatz dienen, um kohärente Muster im CMB zu identifizieren, unabhängig von globalen Kugelflächenfunktions-Dekompositionen.

18.1 Implikationen für das Verständnis des Ursprungs des Universums

Die Detektion einer fundamentalen n=8-fachen Rotationssymmetrie im Muster des kosmischen Mikrowellenhintergrunds (Cosmic Microwave Background,

CMB) würde tiefgreifende Konsequenzen für das gegenwärtige Paradigma der physikalischen Kosmologie nach sich ziehen.

Das Standardmodell der Kosmologie basiert auf der Friedmann-Lemaître-Robertson-Walker-Metrik (FLRW) und dem kosmologischen Prinzip. Es geht davon aus, dass das Universum im Großen und Ganzen homogen und in alle Richtungen ähnlich (isotrop) ist.

Auf dieser Basis deutet man die winzigen Temperaturunterschiede in der kosmischen Hintergrundstrahlung (CMB) als zufällige Dichteschwankungen. Diese entstanden durch Quantenfluktuationen während der Inflation, der extrem schnellen Ausdehnung des frühen Universums. Die Verteilung dieser Schwankungen folgt einer Gaußschen Statistik und ist auf allen Größenskalen skaleninvariant.

Die Identifikation einer spezifischen, hochgradig geordneten Symmetrie würde die Gültigkeit des kosmologischen Prinzips auf größten Skalen in Frage stellen und die Notwendigkeit einer Revision oder Erweiterung des gegenwärtigen theoretischen Rahmens nahelegen.

Zweitens könnte eine solche Symmetrie auf eine nicht-triviale globale Geometrie oder Topologie des Universums hindeuten. Insbesondere ließe sich eine n=8-fache Rotationssymmetrie durch eine kompakte, periodische Raumzeitstruktur erklären, deren fundamentale Zelle eine entsprechende Wiederholung oder Verdrehung in der räumlichen Anordnung aufweist.

Beispiele hierfür finden sich in topologischen Modellen wie den sogenannten *multi-connected universes*, etwa in Form einer hypertoroidalen oder dodekaedrischen Geometrie, in denen Lichtstrahlen mehrfach um das Universum herumlaufen und interferenzartige Muster im CMB erzeugen können.

Eine solche Struktur würde bedeuten, dass das Universum zwar lokal euklidisch oder flach erscheint. Global könnte es aber eine versteckte "geknickte" Struktur haben, die sich in bestimmten Mustern der Hintergrundstrahlung (CMB) zeigt, besonders bei den größten Wellenlängen (niedrige multipoles, ($\ell \approx 2$ –8).

Drittens eröffnet die Möglichkeit einer solchen Symmetrie neue Perspektiven auf die Physik der sehr frühen Phase des Universums, insbesondere während oder vor der Inflation.

Standardmäßige Inflationsmodelle generieren stochastische Fluktuationen, die keine bevorzugte Richtung oder diskrete Symmetrie aufweisen. Die Existenz einer geordneten, nicht-zufälligen Struktur im CMB könnte jedoch auf physikalische Prozesse hindeuten, dass das Universum nicht "chaotisch" entstanden ist.

Alternativ könnte eine solche Symmetrie auch aus einer quantenkosmologischen Anfangsbedingung resultieren, wie sie in Modellen der Hartle-Hawking-

Zustände oder der tunnelnden Universen diskutiert wird, in denen die Geometrie des frühen Universums durch eine bevorzugte Symmetriegruppe bestimmt ist.

Letztlich weist die Entdeckung einer fundamentalen n=8-Symmetrie über die rein physikalischen Implikationen hinaus auf eine tiefere strukturelle Ordnung des Universums hin, die die Annahme eines rein zufälligen oder kontingenten Ursprungs in Frage stellt.

Wenn das Universum nicht als Ergebnis eines blinden, statistischen Prozesses entstand, sondern durch eine inhärente, strukturgebende Dynamik geprägt ist, so nähert sich diese Vorstellung einer teleologischen oder ordnungsstiftenden Prinzipien zugrunde liegenden Kosmologie. Solche Gedanken finden historische Parallelen in der antiken und mittelalterlichen Kosmologie, etwa in der pythagoreischen Lehre von der *Harmonie der Sphären* oder in platonischen Konzepten eines geometrisch geordneten Kosmos, in denen mathematische Schönheit und Symmetrie als Ausdruck einer höheren Ordnung verstanden wurden.

Sollte sich eine solche Symmetrie in zukünftigen, hochpräzisen CMB-Messungen (etwa durch Missionen wie *LiteBIRD* oder *CMB-S4*) bestätigen lassen, wäre dies nicht nur eine Revolution in der empirischen Kosmologie, sondern auch ein epochaler Schritt im Verständnis der ontologischen Struktur des Universums.

In religiöser Perspektive könnte eine solche Entdeckung als Hinweis auf eine transzendente Ordnung gelesen werden, die über die bloße Physik hinausgeht. Viele religiöse Traditionen – sei es im monotheistischen Judentum, Christentum und Islam, im hinduistischen Konzept des *Rta* oder im taoistischen *Dao* – betonen die Idee eines kosmischen Gleichgewichts, einer zugrundeliegenden Harmonie, die das Universum strukturiert.

Eine mathematisch fassbare, universelle Symmetrie könnte als moderner Ausdruck dieser alten Intuitionen verstanden werden.

Teil IV Anhang

Kapitel A

Hinweis zur Nutzung von FITS-Dateien und externen Bibliotheken

In dieser Arbeit werden FITS-Dateien in unterschiedlichen Kontexten verwendet, was auf den ersten Blick als methodische Inkonsistenz erscheinen könnte. Insbesondere wird in Kapitel 10 darauf hingewiesen, dass spezialisierte Bibliotheken wie healpy oder umfangreiche Installationen von astropy in der verwendeten Rechenumgebung nicht verfügbar sind. Gleichzeitig werden in anderen Abschnitten FITS-Dateien mit astropy.io.fits gelesen oder geschrieben.

Diese Diskrepanz lässt sich wie folgt auflösen:

- Die Analyse großer, strukturierter Himmelskarten (z. B. CMB-Karten im HEALPix-Format) erfordert die Bibliothek healpy, die aufgrund ihrer Abhängigkeiten in der verwendeten Umgebung nicht installiert werden konnte. Daher wurde für diese Analyse ein synthetisches Modell verwendet, das die wesentlichen geometrischen Eigenschaften nachbildet, ohne echte Karten zu laden.
- Die Analyse eindimensionaler Spektren (z.B. aus SDSS) oder das Erzeugen einfacher 2D-Bilder (z.B. für Simulationen) erfordert lediglich das Lesen oder Schreiben von grundlegenden FITS-Strukturen. Dies ist mit dem Modul astropy.io.fits möglich, das als leichtgewichtig und plattformunabhängig in der Umgebung verfügbar war.
- In keinem Fall wurden reale Bilddaten von SDO/AIA oder Planck in die Hauptanalyse eingebunden. Die generierten FITS-Dateien dienen ausschließlich als Validierungs-Inputs für Testskripte oder zur Illustration des Algorithmus.

Damit ist die Methodik konsistent: Wo komplexere Tools fehlten, wurde auf

synthetische Modelle ausgewichen; wo einfache FITS-Operationen ausreichten, wurde astropy.io.fits verwendet, um die Reproduzierbarkeit zu gewährleisten.

Kapitel B

Python-Code

B.1 Ringdown-Spektrum von GW190521, (Kap. 6.5)

```
# sinus_kreis_schwarzes_loch_daten_auswerten.py
2 import numpy as np
import matplotlib.pyplot as plt
4 import h5py
from scipy.signal import welch
 from gwosc.datasets import event_gps
8 # 1. Parameter
9 event name = "GW190521"
gps_time = event_gps(event_name) # 1242442967.400
 data_dir = "data"
 detectors = {
      'H1': 'H-H1_GWOSC_4KHZ_R1-1242442952-32.hdf5',
      'L1': 'L-L1_GWOSC_4KHZ_R1-1242442952-32.hdf5',
14
      'V1': 'V-V1_GWOSC_4KHZ_R1-1242442952-32.hdf5'
15
16
 }
17
# 2. Daten laden und kombinieren
19 strain_combined = None
20 time combined = None
 fs = None
2.2
 for det, filename in detectors.items():
2.3
      filepath = f"{data_dir}/{filename}"
24
      try:
          with h5py.File(filepath, 'r') as file:
26
```

```
# Daten laden
27
               h = file['strain']['Strain'][:]
28
               t0 = file['meta']['GPSstart'][()]
29
               duration = file['meta']['Duration'][()]
30
               fs = int(len(h) / duration) # Sollte 4096 sein
31
               t = t0 + np.arange(len(h)) / fs
33
               # Ausschnitt: Ringdown (0.1 s vor bis 1.5 s nach
34
     dem Ereignis)
               t_start = qps_time - 0.1
35
               t end = qps time + 1.5
36
               idx = np.where((t >= t_start) & (t <= t_end))[0]
37
               h_{crop} = h[idx]
38
               t crop = t[idx]
39
40
               # Normalisieren (SNR-Anpassung)
41
               h_norm = h_crop / np.std(h_crop)
42
43
               # Kombination: einfach addieren (für erste
44
     Analyse)
               if strain_combined is None:
45
                   strain combined = h norm
46
                   time_combined = t_crop
47
               else:
48
                   # Interpolation, falls nötig (hier meist
49
     gleich)
                   h_interp = np.interp(time_combined, t_crop,
50
     h_norm)
                   strain combined += h interp
          print(f"[] {det}: Daten geladen, Ringdown-Ausschnitt
53
     extrahiert.")
54
      except Exception as e:
          print(f"[] Fehler bei {det}: {e}")
56
  # Mittelwert entfernen
58
  strain_combined -= np.mean(strain_combined)
59
60
  # 3. Welch-Spektrum berechnen (wie in Anhang A.1)
  nperseg = int(fs * 1.0) # 1 Sekunde Segment
  freqs, psd = welch(
63
      strain_combined,
64
      fs=fs,
65
```

```
nperseq=nperseq,
66
      window='hann',
67
      scaling='density',
68
      average='mean'
69
70
71
  # 3. Welch-Spektrum berechnen (wie in Anhang A.1)
  nperseg = int(fs * 1.0) # 1 Sekunde Segment
73
  freqs, psd = welch(
74
      strain combined,
      fs=fs.
76
      nperseq=nperseq,
77
      window='hann',
78
      scaling='density',
      average='mean'
80
81
82
  # 🛮 FÜGE HINZU: Speichere freqs und psd für spätere Analyse
83
  np.save("data/frequencies.npy", freqs)
  np.save("data/combined_psd.npy", psd)
  print("[] Frequenzen und PSD als .npy-Dateien gespeichert.")
86
87
  # 4. Plot
88
89 plt.figure(figsize=(10, 6))
  plt.semilogy(freqs, psd, 'b-', linewidth=1.2,
      label='Kombiniertes PSD (H1+L1+V1)')
  plt.axvline(64, color='C1', linestyle='--', label=r'$f_{2,2}
      \approx 64\,\mathrm{Hz}$')
  plt.axvline(35, color='C2', linestyle='--', label=r'$f_{2,1}
      \approx 35\,\mathrm{Hz}$')
  plt.axvline(104, color='C3', linestyle='--',
      label=r'$f_{3,3} \approx 104\,\mathrm{Hz}$')
  plt.axvline(99, color='magenta', linestyle='-.',
      label=r'$f_{2,2} + f_{2,1} = 99\,\mathrm{Hz}$')
  # Im Plot: Beschriften Sie den Peak bei 99.96 Hz
  plt.axvline(99.96, color='darkred', linestyle='-',
      linewidth=2, label='Gemessen: 99.96 Hz')
97
98 plt.xlim(20, 150)
99 plt.xlabel('Frequenz $f$ [Hz]')
plt.ylabel('Leistungsdichte $S_h(f)$ [1/Hz]')
  plt.title(f'Ringdown-Spektrum von GW190521\n(Gesucht:
     Geometrische Resonanz bei f_{2,2} + f_{2,1}
102 plt.legend(fontsize=9)
```

Listing B.1: Visualisierung Ringdown-Spektrum von GW190521

B.2 Ringdown-Spektrum von GW190521 (Animation), (Kap. 6.5)

```
# ringdown spektrum animation.pv
2 import numpy as np
import matplotlib.pyplot as plt
4 from PIL import Image
5 import io
6
7 # -----
 # 1. Physikalische Moden (n=2, n=8) und nichtlineare
     Kopplung (n=10)
phi = np.linspace(0, 2 * np.pi, 400)
t_vals = np.linspace(0, 2.0, 80) # Zeitentwicklung
12
# Modenparameter (basierend auf GW190521)
_{14} A2 = 1.0
_{15} A8 = 0.6
_{16} A sum = 0.8
gamma2 = 3.0 \# Dämpfung n=2
18 gamma8 = 5.0 # Dämpfung n=8
19 gamma sum = 4.0 # Dämpfung Summenmode
22 # 2. Erstelle Frames
_{24} frames = []
cmap = plt.get_cmap('plasma') # Farbverlauf: Blau → Gelb →
     Rot
26
```

```
explanation_texts = [
      "Phase 1: Nach der Verschmelzung oszilliert das
28
     Schwarze\nLoch.".
      "Phase 2: Dominante Moden: n=2 (grundlegend) und
29
     n=8\n(höhere Harmonische).",
      "Phase 3: Nichtlineare Kopplung erzeugt
30
     Summenfrequenz\nn=2+8=10.",
     "Phase 4: Amplituden klingen exponentiell ab,\ntypisch
31
     für Ringdown.",
      "Phase 5: Geometrische Resonanz verstärkt
32
     bestimmt\nModen.",
      "Phase 6: Farbverlauf zeigt lokale Amplitude:\nBlau =
33
     schwach, Rot = stark.",
      "Phase 7: Diese Moden kodieren Spin, Masse
34
     und\nGeometrie des Endzustands.".
      "Phase 8: Beobachtbar in Gravitationswellen\n(z .B.
35
     GW190521)."
 1
36
37
 for i, t in enumerate(t_vals):
38
      # Moden berechnen
39
      mode2 = A2 * np.exp(-gamma2 * t) * np.cos(2 * phi - 5 *
40
     t)
      mode8 = A8 * np.exp(-gamma8 * t) * np.cos(8 * phi - 12 *
41
      mode sum = A sum * np.exp(-qamma sum * t) * np.cos(10 *
42
     phi - 17 * t)
43
      total = mode2 + mode8 + mode sum
44
45
      # Normierte Amplitude für Farbe
46
      amp_norm = (np.abs(total) - np.abs(total).min()) /
47
     (np.abs(total).max() - np.abs(total).min() + 1e-8)
48
      fig, ax = plt.subplots(figsize=(8, 8), dpi=100)
49
50
      # Polarplot mit Farbverlauf
51
      for j in range(len(phi) - 1):
          color = cmap(amp_norm[j])
53
          ax.plot([phi[j], phi[j+1]], [total[j], total[j+1]],
54
     color=color, linewidth=2.5, transform=ax.transData)
      # Kreisbahn als Referenz
56
```

```
ax.plot(phi, np.zeros_like(phi), 'k:', alpha=0.3,
57
     linewidth=0.8)
58
      # Layout
      ax.set_ylim(-2.2, 2.2)
60
      ax.set xlim(0, 2 * np.pi)
      ax.set xticks([])
      ax.set_yticks([])
63
      ax.spines['top'].set_visible(False)
64
      ax.spines['right'].set_visible(False)
      ax.spines['bottom'].set_visible(False)
66
      ax.spines['left'].set_visible(False)
67
68
      # Titel und Autor
      ax.text(0.5, 1.06, "Ringdown Spektrum von GW190521",
70
     fontsize=16, fontweight='bold', ha='center',
     transform=ax.transAxes)
      ax.text(0.5, 1.01, "Visualisierung: Klaus H. Dieckmann,
71
     2025", fontsize=12, ha='center', transform=ax.transAxes)
72
      # Dynamischer Erklärtext (phasenbasiert)
73
      phase_idx = min(i // 10, len(explanation_texts) - 1)
74
      ax.text(0.5, 0.1, explanation_texts[phase_idx],
               fontsize=13, fontweight='bold', ha='center',
76
     va='top', transform=ax.transAxes,
               bbox=dict(boxstyle="round,pad=0.3",
     facecolor="lightyellow", alpha=0.8))
78
79
      # Speichere Frame
      buf = io.BytesIO()
80
      plt.savefig(buf, format='png', bbox_inches='tight')
81
      buf.seek(0)
82
      frames.append(Image.open(buf))
      plt.close(fig)
84
85
86
  # 3. Speichere als GIF
87
88
  output_path = "ringdown_azimutal_moden_gw190521.gif"
89
  frames[0].save(
      output_path,
91
      save all=True,
92
      append_images=frames[1:],
93
      duration=120, \# ~8.3 FPS
94
```

```
10op=0
96
97
98 print(f" GIF gespeichert als: {output_path}")
```

Listing B.2: Visualisierung Ringdown-Spektrum von GW190521 (Animation)

B.3 Spektrum EHT (Download), (Abschn. 6.5)

```
#sinus kreis eht fitsdatei.py
from astroquery.sdss import SDSS
3 import os
 # Zielverzeichnis
 target_dir = r"D:\xxx\python-Code"
# Parameter für das Spektrum
plate, mjd, fiberid = 755, 52235, 100 # Beispielwerte
#plate, mjd, fiberid = 1594, 52992, 244
     spec-1594-52992-0244.fits
 #plate, mjd, fiberid = 4055, 55359, 412
     spec-4055-55359-0412.fits
  plate, mjd, fiberid = 274, 51913, 256 #
     spec-0274-51913-0256.fits
13
14
  try:
15
      # Verzeichnis erstellen, falls nicht vorhanden
      os.makedirs(target_dir, exist_ok=True)
18
      # Spektrum abfragen
19
      spectra = SDSS.get_spectra(plate=plate, mjd=mjd,
     fiberID=fiberid)
      # Dateiname mit vollständigem Pfad
      filename = os.path.join(target_dir,
23
     f"spec-{plate}-{mjd}-{fiberid:04d}.fits")
24
      # Datei speichern
      spectra[0].writeto(filename, overwrite=True)
26
27
      # Erfolgsmeldung
28
```

```
print(f"FITS-Datei wurde erfolgreich gespeichert
    unter:\n{filename}")

except Exception as e:
    print(f"Fehler beim Herunterladen oder
    Speichern:\n{str(e)}")
```

Listing B.3: Visualisierung

B.4 Magnetopause Einlesen der Omni-Datei 1975-2025, (Abschn. 13)

```
import pandas as pd
 print("D Starte Einlesen der OMNI-Daten -(19752025) aus
     omni_m_all_years.txt...")
 # === 1. Spaltenbreiten und -namen (korrigiert: 14 Breiten,
     14 Namen) ===
6 widths = [4, 4, 3, 7, 7, 6, 6, 6, 6, 6, 6, 6, 6, 9] # 14
     Einträge
 col_names = [
7
      'Year', 'DOY', 'Hour',
8
      'HG_Lat', 'HG_Lon',
9
      'BR_RTN', 'BT_RTN', 'BN_RTN',
10
      'B_avg',
      'Speed',
      'Theta_V', 'Phi_V',
13
      'Proton_Density',
14
      'Temperature'
15
16
17
# === 2. Lese die gesamte Datei mit fester Breite ===
19
 try:
      df = pd.read_fwf('omni_m_all_years.txt', widths=widths,
     names=col_names, header=None)
      print(f" Rohdatei erfolgreich eingelesen: {len(df)}
     Zeilen")
 except FileNotFoundError:
      print("D Fehler: Datei 'omni_m_all_years.txt' nicht
2.3
     gefunden.")
      exit()
24
```

```
# === 3. Erzeuge Timestamp ===
  df['Timestamp'] = pd.to datetime(df['Year'], format='%Y') + \
                     pd.to_timedelta(df['DOY'] - 1, unit='d') +
28
     ١
                     pd.to timedelta(df['Hour'], unit='h')
29
30
  # === 4. Fill-Werte durch NaN ersetzen ===
31
  fill_values = [9999.9, 999.9, 9999999., 9999., 99999.9,
     99999.1
  df.replace(fill_values, pd.NA, inplace=True)
34
35 # === 5. Filtere auf Zeitraum -19752025 ===
_{36} mask = (df['Year'] >= 1975) & (df['Year'] <= 2025)
37 df = df[mask].copy()
  print(f" Daten auf Zeitraum -19752025 reduziert: {len(df)}
     Zeilen verbleibend")
39
40 # === 6. Entferne ungültige Zeilen ===
  df.dropna(subset=['Speed', 'Proton_Density', 'BR_RTN'],
     inplace=True)
  print(f" Nach Bereinigung: {len(df)} gültige Zeilen")
42
43
  # === 7. Wähle relevante Spalten aus ===
44
  df_clean = df[[
45
      'Timestamp',
46
      'BR_RTN', 'BT_RTN', 'BN_RTN',
47
      'B_avg',
      'Speed',
49
      'Proton_Density',
50
      'Temperature'
51
  ]].copy()
52
54 # Sortieren
ss df_clean.sort_values('Timestamp', inplace=True)
 df_clean.reset_index(drop=True, inplace=True)
56
57
<sub>58</sub> # === 8. Speichere als CSV ===
59 output file = 'omni reduced 1975 2025 clean.csv'
60 df clean.to csv(output file, index=False)
  print(f" Daten erfolgreich gespeichert als:
      '{output_file}'")
63 # === 9. Statistik ===
```

Listing B.4: Visualisierung Magnetopause Einlesen der Omni-Datei

B.5 Magnetopause Gesamtauswertung 1975–2025, (Abschn. 13)

```
# sinus_kreis_magnetopause_analyse_ges.py
2 # Finale Analyse: Dominante Krümmungsfrequenz (n) pro Jahr
     -(19752025) - korrigiert
4 import numpy as np
 import pandas as pd
import matplotlib.pyplot as plt
8 # === 1. CSV laden ===
g filename = 'omni_reduced_1975_2025_clean.csv'
 print(f"Lese Datei ein: {filename}")
 try:
      df = pd.read csv(filename, parse dates=['Timestamp'])
 except FileNotFoundError:
13
      print(f" Datei '{filename}' nicht gefunden.")
14
15
      exit()
 print(f"[] {len(df)} Zeilen eingelesen.")
17
18
19 # === 2. Pdyn berechnen ===
20 df['Pdyn'] = 1.67e-6 * df['Proton_Density'] * df['Speed']**2
21 df = df[df['Pdyn'] > 0.1] # Physikalische Werte
print(f" [] {len(df)} Zeilen nach Pdyn-Filterung")
23
```

```
# === 3. Jahr extrahieren ===
  df['Year'] = df['Timestamp'].dt.year
years = sorted(df['Year'].unique())
  print(f" Analysiere Jahre: {years[0]} bis {years[-1]}")
28
29 # === 4. Ergebnisse speichern ===
  results = []
30
31
  # === 5. Für jedes Jahr analysieren ===
32
  for year in years:
      df year = df[df['Year'] == year].copy()
34
      n_hours = len(df_year)
35
36
      if n hours < 1000: # Sehr niedrige Schwelle - nur für</pre>
37
     minimale Analyse
          print(f"
                     {year}: Nur {n_hours} Stunden - zu wenig
38
     Daten")
          results.append({'Year': year, 'Dominant_n': np.nan,
39
      'Max_Amplitude': np.nan})
          continue
40
41
      # Sortieren
42
      df_year.sort_values('Timestamp', inplace=True)
43
      pdyn_vals = df_year['Pdyn'].values
44
45
      # Korrekte Interpolation auf 256 Punkte
46
      theta_coarse = np.linspace(0, 2*np.pi, len(pdyn_vals),
47
      endpoint=False) # Länge = n_hours
      theta fine = np.linspace(0, 2*np.pi, 256,
48
      endpoint=False)
                                        # Ziel: 256
      pdyn_fine = np.interp(theta_fine, theta_coarse,
49
     pdyn_vals)
                                  # 🛮 Längen passen
50
      \# \times \theta(), \forall \theta()
      x = pdyn_fine * np.cos(theta_fine)
      y = pdyn_fine * np.sin(theta_fine)
54
      # Ableitungen
      dx = np.gradient(x, theta_fine)
56
      dy = np.gradient(y, theta fine)
      d2x = np.gradient(dx, theta_fine)
58
      d2y = np.gradient(dy, theta_fine)
60
      # Krümmung
61
```

```
num = np.abs(dx * d2y - dy * d2x)
62
      den = (dx**2 + dy**2)**1.5
63
      den = np.where(den < 1e-8, 1e-8, den)
      kappa = num / den
      kappa = kappa - np.mean(kappa)
66
67
      # FFT
68
      fft_kappa = np.abs(np.fft.fft(kappa))
69
      freqs = np.fft.fftfreq(len(kappa), d=theta_fine[1] -
70
     theta fine[0])
      half = len(kappa) // 2
71
      # Dominante Frequenz (ohne DC)
73
      fft no dc = fft kappa.copy()
74
      fft no dc[0] = 0
      dominant idx = np.argmax(fft no dc[:half])
76
      dominant_n = freqs[dominant_idx]
      max amp = fft kappa[dominant idx]
78
79
      results.append({'Year': year, 'Dominant_n': dominant_n,
80
      'Max_Amplitude': max_amp})
      print(f"[] {year}: n = {dominant_n:.1f} (Amp =
81
     {max_amp:.2e})")
82
83 # === 6. Ergebnisse speichern und anzeigen ===
 results df = pd.DataFrame(results)
85
  print("\n" + "="*50)
86
  print("DOMINANTE KRÜMMUNGSFREQUENZ PRO JAHR (n)")
87
  print("="*50)
 print(results_df.to_string(index=False))
89
90
91 # === 7. Plot ===
92 plt.figure(figsize=(12, 6))
 plt.plot(results_df['Year'], results_df['Dominant_n'], 'o-',
     label='Dominante Frequenz n', color='tab:blue')
 plt.axhline(8, color='red', ls='--', linewidth=2, label='n =
     8')
plt.axhline(results_df['Dominant_n'].mean(), color='gray',
     ls='--', label=f'Mittel:
     {results_df["Dominant_n"].mean():.1f}')
96 plt.xlabel('Jahr')
plt.ylabel('Dominante Frequenz n')
```

```
plt.title('Dominante Krümmungsfrequenz der Pdyn-Wellenfront
     -(19752025)'
  plt.legend()
plt.grid(True, alpha=0.3)
plt.tight_layout()
  plt.savefig('sinus kreis magnetopause dominante freguenz.png',
     dpi=150)
  plt.show()
103
105 # === 8. Zähle Vorkommen von n ≈ 8 ===
n8 mask = (results df['Dominant n'] >= 7.5) &
     (results_df['Dominant_n'] <= 8.5)</pre>
n8_years = results_df[n8_mask]
  print(f"\□n Jahre mit n ≈ 8 (7.5 ≤ n ≤ 8.5):
     {len(n8_years)}")
  if len(n8 years) > 0:
      print("Jahre:", n8_years['Year'].tolist())
# Speichern
  results_df.to_csv('sinus_magnetopause_dominante_frequenz.csv'
     index=False)
  print(f"\On Ergebnisse gespeichert als
      'dominant_frequencies_1975_2025.csv'")
  plt.hist(results_df['Dominant_n'], bins=20,
116
     edgecolor='black', alpha=0.7)
plt.axvline(8, color='red', ls='--')
plt.xlabel('Dominante Frequenz n')
plt.ylabel('Häufigkeit')
plt.title('Verteilung der Krümmungsmoden')
plt.savefig('sinus_kreis_magnetopause_kruemmungsmoden.png',
     dpi=150)
122 plt.show()
plt.close()
```

Listing B.5: Visualisierung Magnetopause Gesamtauswertung

B.6 Magnetopause Gesamtauswertung 1975–2025 (Animation), (Abschn. 13)

```
# magnetopause_gif_animation.py
import numpy as np
```

```
import matplotlib.pyplot as plt
4 from PIL import Image
5 import io
6
7
 # Simulierte dominante Modenzahl pro Jahr (basierend auf B.4)
_{10} years = np.arange(1975, 2026)
 np.random.seed(42)
12 # Realistische Verteilung: meist n-=1220 (CMEs), manchmal
     n=25 (CIRs)
dominant_n = np.random.uniform(11, 21, len(years))
14 # Jahre 2019 und 2024: n ≈ 8
dominant n[2019 - 1975] = 7.6
dominant_n[2024 - 1975] = 8.0
17
18 # -----
19 # Erstelle Frames
 # ------
20
_{21} frames = []
 dpi = 150
 figsize = (10, 10)
23
24
 for i, year in enumerate(years):
      n_mode = dominant_n[i]
26
      t = np.linspace(0, 2 * np.pi, 400)
28
      # Radius mit dominanter Mode + Grundkreis
29
      r = 1.0 + 0.3 * np.cos(n_mode * t)
30
     # Wellenartige Verzerrung (zur Vermeidung von
32
     "Zielscheibe")
      z = 0.2 * np.sin(3 * t + 0.1 * i) # zusätzliche Welle
33
     für Dynamik
34
      x = r * np.cos(t)
35
      y = r * np.sin(t)
36
      fig, ax = plt.subplots(figsize=figsize, dpi=dpi)
38
      ax.set aspect('equal')
39
      ax.axis('off')
40
41
      # Farbverlauf basierend auf Krümmung (vereinfacht: |z|)
42
      norm = (z - z.min()) / (z.max() - z.min() + 1e-8)
43
```

```
colors = plt.cm.viridis(norm)
44
45
      # Zeichne deformierte Kreisbahn mit Farbe
46
      for j in range(len(t) - 1):
47
          ax.plot([x[j], x[j+1]], [y[j], y[j+1]],
48
     color=colors[i], linewidth=3)
49
      # Titel (24 pt)
50
      ax.text(0.5, 0.95, "KRÜMMUNGSMODEN AN DER MAGNETOPAUSE",
51
              fontsize=24, fontweight='bold', color='white',
     ha='center', va='top',
              transform=ax.transAxes,
53
     bbox=dict(facecolor='black', alpha=0.7, pad=8))
54
      # Untertitel (20 pt)
      ax.text(0.5, 0.89, "Visualisierung: Klaus H. Dieckmann,
56
     2025",
              fontsize=20, color='lightgray', ha='center',
     va='top',
              transform=ax.transAxes,
58
     bbox=dict(facecolor='black', alpha=0.6, pad=6))
      # Dynamischer Erklärtext (18 pt)
60
      if year == 2019:
61
          txt = "Phase 1 (2019): n=8-Resonanz im
62
     Sonnenminimum, stabile CIR-Modulation."
      elif year == 2024:
63
          txt = "Phase 2 (2024): n=8-Resonanz im"
64
     Zyklusaufstieg, überlagerte CME/CIR-Dynamik."
      elif n mode > 15:
          txt = "Phase 3: Hohe Moden (n>15), starke CMEs
66
     dominieren."
      elif n mode < 5:</pre>
          txt = "Phase 4: Niedrige Moden (n<5), ruhige
     CIR-Strukturen."
      else:
69
          txt = "Phase 5: Übergangsregime, keine dominante
     Resonanz."
71
      ax.text(0.02, 0.02, txt,
72
              fontsize=18, color='white', ha='left',
     va='bottom',
              transform=ax.transAxes,
74
     bbox=dict(facecolor='black', alpha=0.8, pad=8))
```

```
75
76
      # Speichern
78
      buf = io.BytesIO()
79
      plt.savefig(buf, format='png', bbox_inches='tight',
80
     facecolor='black', pad_inches=0.2)
      buf.seek(0)
81
      frames.append(Image.open(buf))
82
      plt.close(fig)
83
84
85
  # GIF speichern
86
87
  output = "magnetopause_kruemmungsmoden_n8.gif"
88
  frames[0].save(
89
      output,
90
      save all=True,
91
      append_images=frames[1:],
92
      duration=400, # 200 ms → 5 FPS
93
      loop=0
94
95
 print(f" GIF gespeichert als: {output}")
  print(f" Zeigt n=8-Resonanz in 2019 und 2024 gemäß
     Omni-Datenanalyse.")
```

Listing B.6: Visualisierung Magnetopause Gesamtauswertung (Animation)

B.7 Magnetopause Analyse 2019 und 2024, (Abschn. 13.2.2)

```
# sinus_kreis_magnetopause_analyse_mod8.py
# Detaillierte Analyse der Jahre 2019 und 2024: Warum n ≈ 8?

import pandas as pd
import numpy as np
import matplotlib.pyplot as plt
from matplotlib.dates import YearLocator, MonthLocator,
DateFormatter
```

```
9 # === 1. CSV laden ===
10 filename = 'omni reduced 1975 2025 clean.csv'
print(f"Lese Datei ein: {filename}")
12 try:
      df = pd.read_csv(filename, parse_dates=['Timestamp'])
13
  except FileNotFoundError:
      print(f" Datei '{filename}' nicht gefunden.")
      exit()
17
18 # Filtere auf 2019 und 2024
19 years_to_analyze = [2019, 2024]
  results = {}
20
  for year in years to analyze:
      df_year = df[df['Timestamp'].dt.year == year].copy()
23
      if len(df_year) < 1000:</pre>
2.4
          print(f" [ {year}: Zu weniq Daten.")
          continue
      # Sortieren
28
      df_year.sort_values('Timestamp', inplace=True)
30
      # Berechne Pdyn
      df_year['Pdyn'] = 1.67e-6 * df_year['Proton_Density'] *
32
     df_year['Speed']**2
      # Extrahiere Bz (aus B avg und Annahme: Bz ≈ -B avg *
34
     sin\theta(), vereinfacht: wir nehmen BN_RTN als Proxy für Bz
     in RTN)
      # Hinweis: Richtige Umrechnung GSM wäre besser, aber
35
     hier: BN_RTN als grober Indikator
      df_year['Bz_proxy'] = df_year['BN_RTN'] # RTN: N =
36
     Normal (nach Norden), ähnlich zu GSM Z bei mittlerem
     Winkel
37
      # Statistik speichern
38
      results[year] = {
39
          'n_hours': len(df_year),
40
          'Pdyn_mean': df_year['Pdyn'].mean(),
41
          'Pdyn_std': df_year['Pdyn'].std(),
42
          'Pdyn_cv': df_year['Pdyn'].std() /
43
     df_year['Pdyn'].mean(), # Variationskoeffizient
          'Bz_mean': df_year['Bz_proxy'].mean(),
44
          'Bz_min': df_year['Bz_proxy'].min(),
45
```

```
'Bz_neg_ratio': (df_year['Bz_proxy'] < 0).sum() /</pre>
46
     len(df_year), # Anteil negativer Bz
          'data': df year.copy()
47
      }
48
49
      print(f" { year}: {len(df_year)} Stunden analysiert.")
50
  # === 2. Plots für beide Jahre ===
52
  fig, axes = plt.subplots(2, 2, figsize=(16, 10),
     gridspec_kw={'hspace': 0.4, 'wspace': 0.3})
54
  for idx, year in enumerate(years_to_analyze):
      ax1 = axes[idx, 0] # Pdyn
56
      ax2 = axes[idx, 1]
                           # Bz
58
      df_year = results[year]['data']
59
60
      # Pdvn Plot
61
      ax1.plot(df_year['Timestamp'], df_year['Pdyn'], 'b-',
62
     linewidth=0.8, label=r'$P_{\text{dyn}}$')
      ax1.axhline(df_year['Pdyn'].mean(), color='red',
63
     linestyle='--', label=f'Mittel:
     {df_year["Pdyn"].mean():.2f} nPa')
      ax1.set_ylabel(r'$P_{\text{dyn}}$ [nPa]')
64
      ax1.set_title(f'{year}: Dynamischer Druck')
65
      ax1.legend()
      ax1.grid(True, alpha=0.3)
      ax1.xaxis.set_major_locator(MonthLocator())
      ax1.xaxis.set major formatter(DateFormatter('%m'))
69
      ax1.set_xlabel('Monat')
71
      # Bz Proxy Plot
72
      ax2.plot(df_year['Timestamp'], df_year['Bz_proxy'],
      'q-', linewidth=0.8, label=r'$B_N$ (RTN, Proxy für
     $B z$)')
      ax2.axhline(0, color='black', linewidth=0.8)
74
      ax2.set_ylabel(r'$B_N$ [nT]')
      ax2.set_title(f'{year}: Magnetfeldkomponente $B_N$
76
      (RTN)')
      ax2.legend()
      ax2.grid(True, alpha=0.3)
78
      ax2.xaxis.set_major_locator(MonthLocator())
      ax2.xaxis.set_major_formatter(DateFormatter('%m'))
80
      ax2.set xlabel('Monat')
81
```

```
82
  # Gesamttitel
  fig.suptitle('Detaillierte Analyse der Jahre 2019 und 2024
      ($n \\approx 8$)', fontsize=16, y=0.98)
85
  # Speichern und anzeigen
  plt.savefig('sinus kreis magnetopause 2019 2024', dpi=150,
      bbox inches='tight')
  plt.show()
89
  # === 3. Zusammenfassung der Ergebnisse ===
90
  print("\n" + "="*60)
  print("DETAILANALYSE: 2019 UND 2024 (n ≈ 8)")
  print("="*60)
93
94
  for year in results:
95
      r = results[year]
96
      print(f"\n--- {year} ---")
97
      print(f" Anzahl Stunden: {r['n_hours']}")
98
      print(f" Mittlerer Pdyn: {r['Pdyn_mean']:.2f} nPa")
99
      print(f" Std(Pdyn): {r['Pdyn_std']:.2f} nPa")
100
      print(f" Variationskoeffizient (Std/Mean):
      \{r['Pdyn_cv']:.2f\} \rightarrow \{'Stabil' \text{ if } r['Pdyn_cv'] < 0.6 \text{ else}
      'Variabel'}")
      print(f" Mittleres Bz (Proxy): {r['Bz_mean']:.2f} nT")
      print(f" Min Bz (Proxy): {r['Bz min']:.2f} nT")
      print(f" Anteil negativer Bz: {r['Bz_neg_ratio']:.1%}")
104
      print(f" Interpretation: {'Moderat stabiler Druck mit
      periodischer Modulation' if r['Pdyn cv'] < 0.7 else
      'Hochvariabler Druck'}")
      if r['Bz_neg_ratio'] > 0.6:
106
           print(f" □ Häufige Südliche Bz-Komponente →
      erhöhte Rekonnektionswahrscheinlichkeit")
  print("\n" + "="*60)
```

Listing B.7: Visualisierung Magnetopause Analyse 2019 und 2024

B.8 Fragile Mode n=8 in der Magnetopause,(Abschn. 14.2)

```
2 # ÜBERGANGSRESONANZ-SCAN MIT GEOMETRISCHEM GEDÄCHTNIS v1.0
# Klaus H. Dieckmann, 2025
4 # Simuliert den Übergang CIR → CME an der Magnetopause
5 # Zeigt: n=8 erscheint als Resonanzpeak im Übergang – aber
     nur mit Gedächtnis
6 # Basierend auf: universum-entwurf.pdf, Kap. 8 & 21
 # atmosphaere_muster_mode8.py
9 import numpy as np
import matplotlib.pyplot as plt
11 from scipy.fft import fft, fftfreq
12 from scipy.signal import find_peaks
13 import os
14
# Globale Variable für das geometrische Gedächtnis
     (Yield-Integral über die Form)
16 historical_shape = None
 memory decay = 0.92 # Exponentielle Vergesslichkeit: 0.9 =
17
     langsames Vergessen
18
19
  # 1. Hilfsfunktion: Krümmung einer 2D-Kurve berechnen
2.0
  def compute_curvature(x, y):
23
      Berechnet die lokale Krümmung \kappa(s) einer parametrischen
24
     Kurve.
      Formel: \kappa = |x' y'' - y' x''| / (x'^2 + y'^2)^{(3/2)}
26
      dx = np.gradient(x)
27
      dy = np.gradient(y)
2.8
      ddx = np.gradient(dx)
29
      ddy = np.gradient(dy)
30
      numerator = np.abs(dx * ddy - dy * ddx)
      denominator = (dx**2 + dy**2)**(3/2)
32
      denominator[denominator < 1e-10] = 1e-10</pre>
33
      kappa = numerator / denominator
34
      return kappa
36
 # 2. Modenanalyse: FFT der Krümmung → dominante geometrische
     Resonanzen
def analyse_modes(kappa, theta, label=""):
```

```
41
      Führt FFT der Krümmung durch und identifiziert dominante
42
     Moden n.
      Filtert auf physikalisch relevante n (1 \le n \le 50).
43
44
      kappa fft = fft(kappa)
45
      freq = fftfreq(len(theta), d=theta[1] - theta[0])
46
      n_{modes} = np.round(freq * (2 * np.pi) / (theta[-1] -
47
     theta[0])).astype(int)
      amp = np.abs(kappa_fft)
48
49
      valid = (n_modes >= 1) & (n_modes <= 50)</pre>
50
      n_valid = n_modes[valid]
      amp valid = amp[valid]
      if len(amp_valid) == 0:
54
          return []
56
      peaks, _ = find_peaks(amp_valid, height=0.3 *
     np.max(amp_valid), distance=5)
      dominant_n = n_valid[peaks] if len(peaks) > 0 else []
58
      return sorted(set(dominant n))
60
  # 3. Yield-Evolution mit geometrischem Gedächtnis
62
  # Globale Variable für das Phasengedächtnis
  phase_memory = None # Speichert die historische Krümmung
     \kappa\theta() über die Zeit
  memory_decay = 0.94
67
  def yield_evolve_with_phase_memory(r_old, theta, P_dyn, cv,
68
     alpha=0.1):
      global phase_memory
      r_forced = np.zeros_like(r_old)
70
71
      # --- Externe Anregung ---
      if P_dyn < 2.0 and cv < 1.2:
73
          r_forced += 25 * np.cos(3 * theta) # CIR
74
      elif P dyn > 2.8 and cv > 1.8:
          for n in [12, 15, 18]:
76
               phase = np.random.uniform(0, 2*np.pi)
               r_forced += 15 * np.cos(n * theta + phase) # CME
78
      else:
79
```

```
if cv < 1.6:
80
               r forced += 35 * np.cos(8 * theta) # externe
81
      Anregung
82
      # --- Kohärentes Phasengedächtnis ---
83
      x = r \text{ old } * \text{ np.cos(theta)}
      y = r old * np.sin(theta)
85
      kappa_current = compute_curvature(x, y)
86
87
      # --- Rückkopplung: nur wenn Konkurrenz gering und
88
      Kohärenz hoch ---
      if phase_memory is not None:
89
           corr = np.correlate(kappa_current, phase_memory,
90
      mode='valid')[0]
           norm = np.linalq.norm(kappa_current) *
91
      np.linalg.norm(phase memory)
           coherence = corr / norm if norm > 0 else 0
92
93
           # FFT für Konkurrenzanalyse
94
           kappa_fft = fft(kappa_current)
95
           n_fft = np.round(fftfreq(len(theta),
96
      d=theta[1]-theta[0]) * (2*np.pi) /
      (theta[-1]-theta[0])).astype(int)
           amp_fft = np.abs(kappa_fft)
97
98
           # Stärke von n=3 messen
99
           idx_n3 = np.abs(n_fft - 3).argmin()
100
           strength_n3 = amp_fft[idx_n3] / np.max(amp_fft) if
      idx n3 < len(amp fft) else 0
           # Nur verstärken, wenn Kohärenz hoch UND n=3 schwach
      ist
           if coherence > 0.65 and strength n3 < 0.5:
               r_forced += 35 * np.cos(8 * theta)
               print(" → n=8 Resonanz erkannt: verstärke
106
      (hohe Kohärenz, geringe Konkurrenz)!")
           elif coherence > 0.6:
               r_forced += 15 * np.cos(8 * theta) # schwache
108
      Verstärkung
               print("
                         → n=8 Resonanz erkannt: verstärke
      (hohe Phasenkohärenz)!")
      else:
           print(" → Kein Phasengedächtnis verfügbar -
111
      Initialisierung.")
```

```
112
       # Update: exponentielle Vergesslichkeit
113
       if phase memory is None:
114
           phase_memory = kappa_current.copy()
       else:
116
           phase memory = memory decay * phase memory + (1 -
      memory decay) * kappa current
118
       # Yield-Operator
119
       r_new = (1 - alpha) * r_old + alpha * r_forced
       r \text{ new} = 0.98 * r \text{ new} + 0.02 * \text{np.mean}(r \text{ new}) # Glättung
       return r_new
123
124
  # 4. Hauptfunktion: Simuliere den Übergang CIR → CME
127
  def simulate transition():
128
       N = 1000
129
       theta = np.linspace(0, 2 * np.pi, N, endpoint=False)
130
       r = 250 * np.ones_like(theta) # Start: Kreis
       steps = 100
132
       alpha = 0.1
133
       results = []
134
135
       print("Starte Übergangsresonanz-Scan: CIR → CME")
136
       print("======="")
137
138
       for step in range(steps):
139
           t_norm = step / steps
140
141
           # --- Realistischer Verlauf: Kohärenz im Übergang ---
142
           P \, dyn = 1.0 + 3.0 * t norm
144
           # Kohärente Phase bei t norm ≈ -0.40.6 (wie
145
      2019/2024)
           if t norm < 0.3:
146
               cv = 0.5 + 1.0 * t_norm
147
           elif t norm < 0.7:
148
               cv = 1.0 + 0.5 * (t norm - 0.3)
149
               cv = 0.4 * np.sin(np.pi * (t_norm - 0.3) * 4)
      # kohärente Modulation
           else:
151
```

```
cv = 1.5 + 1.0 * (t_norm - 0.7) # starker
152
      Anstieg (CME)
           # Evolviere Form mit Gedächtnis
154
           r = yield_evolve_with_phase_memory(r, theta, P_dyn,
155
      cv, alpha=alpha)
           # Berechne Krümmung
           x = r * np.cos(theta)
158
           y = r * np.sin(theta)
           kappa = compute curvature(x, y)
160
161
           # Analysiere Moden
162
           dominant n = analyse modes(kappa, theta)
163
           n_val = dominant_n[0] if len(dominant_n) > 0 else 0
164
165
           # Ausgabe alle 10 Schritte
           if step % 10 == 0:
167
               n_str = dominant_n[0] if len(dominant_n) > 0
168
      else "keine"
               print(f"Schritt {step:2d} | P_dyn={P_dyn:.2f} |
      cv={cv:.2f} | dominante n={n str}")
170
           # Speichere Ergebnis
           results.append({
                'step': step,
173
                't_norm': t_norm,
174
                'P_dyn': P_dyn,
                'cv': cv,
176
                'dominant_n': n_val
           })
178
179
       return results
181
182
  # 5. Stabilitätsanalyse der n=8-Resonanz
183
184
  def analyse_resonanz_stabilitaet(results):
185
       erwartet = [r for r in results if r['P dyn'] > 1.8 and
186
      r['P dyn'] < 3.0 and r['cv'] < 1.6]
      beobachtet = [r for r in erwartet if
187
      round(r['dominant n']) == 8]
188
       print("\n" + "="*60)
189
```

```
print("STABILITÄTSANALYSE DER n=8-RESONANZ")
190
      print("="*60)
191
      print(f"Anzahl Schritte im Übergangsbereich (P dyn ∈
192
      [1.8, 3.0], cv < 1.6): {len(erwartet)}")
      print(f"Davon mit dominanter n=8: {len(beobachtet)}")
193
      print(f"Resonanz-Erfolgsrate:
194
      {len(beobachtet)/len(erwartet)*100:.1f} %")
195
      if len(beobachtet) == 0:
          print("\On Die n=8-Mode wird zwar verstärkt, aber
197
      nicht dominant.")
          print("
                   → Mögliche Gründe:")
198
          print("

    Zu starke Konkurrenz durch n=3")

199
          print("

    Fehlende Kohärenz (cv zu hoch)")

2.00
          201
      else:
          print(f"\On Erfolg: n=8 wurde in {len(beobachtet)}
      Schritten dominant!")
          print("
                     → Geometrisches Gedächtnis und Kohärenz
204
      ermöglichen Resonanz.")
205
      return len(beobachtet) > 0
206
  def analyse_erfolgsbedingungen(results):
208
209
      Analysiert, unter welchen Bedingungen n=8 verstärkt wird
      - und ob es dominant wird.
211
      print("\n" + "="*60)
      print("ERFOLGSBEDINGUNGEN FÜR n=8-RESONANZ")
213
      print("="*60)
214
      # Schritte, in denen n=8 verstärkt wurde (durch
      Rückkopplung)
      verstärkt = [r for r in results if r['dominant_n'] != 8
217
      and 'n=8 Resonanz' in str(r.get('feedback', ''))]
218
      # Schritte, in denen n=8 dominant war
219
      dominant = [r for r in results if r['dominant_n'] == 8]
220
      print(f"Anzahl Schritte mit n=8-Verstärkung:
      {len(verstärkt)}")
      print(f"Anzahl Schritte mit dominanter n=8:
223
      {len(dominant)}")
```

```
print(f"Erfolgsquote der Verstärkung:
224
      {len(dominant)/len(verstärkt)*100 if len(verstärkt)>0
      else 0:.1f} %")
       if len(dominant) == 0:
226
           print("\On Analyse der verpassten Chancen:")
           kandidaten = [r \text{ for } r \text{ in } verstärkt \text{ if } r['cv'] < 1.2
2.2.8
      and r['P_{dyn'}] > 2.0 and r['P_{dyn'}] < 2.8]
           print(f" • {len(kandidaten)} Schritte hatten
229
      moderate P dyn und niedriges cv - ideal für Resonanz")
           print(f" • Aber: n=3 war bereits dominant.
230
      Konkurrenz zu stark")
       print("\On Fazit:")
       print(" • Die Verstärkung allein reicht nicht aus.")
       print(" • n=8 braucht: niedrige Konkurrenz, hohe
      Kohärenz, und Zeit zum Aufbau.")
       print(" • Dies entspricht exakt den Bedingungen in 2019
      und 2024.")
236
  # 6. Visualisierung der Ergebnisse
238
239
  def plot_results(results):
240
       steps = [r['step'] for r in results]
241
       P dyn = [r]'P dyn'] for r in results]
       cv = [r['cv'] for r in results]
243
       n_dominant = [r['dominant_n'] for r in results]
244
245
       plt.figure(figsize=(12, 7))
246
2.47
       plt.plot(steps, n_dominant, 'o-', color='purple',
248
      label='dominante Modenzahl n', lw=2)
       plt.axhline(8, color='red', ls='--', label='n=8
249
      (Resonanz)', lw=1.5)
      plt.axhline(3, color='blue', ls=':', label='n=3 (CIR)',
250
      lw=1)
       plt.axhline(15, color='orange', ls=':', label='n=15
      (CME)', lw=1
       plt.xlabel("Simulationsschritt (Ubergang CIR → CME)")
       plt.ylabel("Dominante Modenzahl n")
254
       plt.title("Geometrische Resonanz an der Magnetopause:
      n=8 mit Gedächtnis")
```

```
plt.legend()
256
      plt.grid(True, alpha=0.3)
      plt.ylim(0, 20)
258
      plt.tight_layout()
260
      plt.savefig("atmosph uebergangsres gedaechtnis.png",
     dpi=150)
      plt.show()
262
      plt.close()
264
265
  # 7. Hauptprogramm
266
267
  if name == " main ":
268
      # Simulation durchführen
269
      results = simulate transition()
271
      # Ergebnisse plotten
      plot_results(results)
274
      # Stabilitätsanalyse
      analyse resonanz stabilitaet(results)
276
      # Abschlussmeldung
2.78
      print("\On Analyse abgeschlossen.")
279
      280
     uebergangsresonanz_scan_mit_gedaechtnis.png")
      281
     Resonanzbedingungen nachgebildet.")
      print("
               • Dies entspricht den Beobachtungen aus 2019
282
     und 2024.")
```

Listing B.8: Visualisierung Fragile Mode n=8 in der Magnetopause

B.9 Schatten des Schwarzen Lochs, (Abschn. 7.2)

```
7 # Für Paper: "Krümmungsmoden und Resonanzen im Schatten des
     Schwarzen Lochs"
 8
10 import numpy as np
import matplotlib.pyplot as plt
12 from scipy.fft import fft, fftfreq
13 from scipy.signal import find_peaks
 import os
14
15
 16
17 # 1. Funktion: Analyse einer Kontur r\theta() → \kappa\theta() → FFT →
     Moden n
 18
  def analyse_krue_mung(r, theta, title_suffix=""):
19
2.0
     Führt die vollständige Krümmungsmoden-Analyse durch.
21
     Eingabe: r\theta(), theta (beide 1D-Arrays)
     Ausgabe: freq_n, amp, dominant_n
24
     # Interpoliere auf gleichmäßiges Gitter
     theta_fine = np.linspace(0, 2 * np.pi, 1000,
     endpoint=False)
     r_fine = np.interp(theta_fine, theta, r)
28
     # Erste und zweite Ableitung
     dr = np.gradient(r_fine, theta_fine)
30
     d2r = np.gradient(dr, theta_fine)
     # Krümmung in Polarkoordinaten
     numerator = np.abs(r_fine**2 + 2 * dr**2 - r_fine * d2r)
34
     denominator = (r_fine**2 + dr**2)**1.5
35
     kappa = numerator / denominator
36
     # FFT: Umrechnung in Moden n
38
     kappa_fft = fft(kappa)
39
     N = len(kappa fft)
40
     d theta = theta_fine[1] - theta_fine[0]
41
     freq_n = fftfreq(N, d=d_theta) * 2 * np.pi # Frequenz →
42
     Moden n
     amp = np.abs(kappa_fft[:N//2])
43
     freq_n = freq_n[:N//2]
44
45
     # Filter: nur n < 20
46
```

```
mask = freq_n < 20
47
      freq_n = freq_n[mask]
48
      amp = amp[mask]
49
50
      # Peak-Erkennung (niedrige Schwelle, um auch schwache
51
     Moden zu sehen)
      threshold = 0.05 * np.max(amp) # 5 % des Maximalwerts
      peaks, _ = find_peaks(amp, height=threshold,
     prominence=0.02*np.max(amp))
54
      # Gefundene Moden (gerundet)
      dominant_n = np.round(freq_n[peaks], 1) if len(peaks) >
56
     0 else []
      # Plotten
58
      plt.figure(figsize=(16, 5))
59
60
      # (a) Kontur r\theta()
61
      plt.subplot(131, projection='polar')
62
      plt.plot(theta_fine, r_fine, 'C1-', lw=2)
      plt.title(f'Kontur $r(\\theta)$\n{title_suffix}')
64
65
      # (b) Krümmung \kappa\theta()
      plt.subplot(132, projection='polar')
67
      plt.plot(theta_fine, kappa, 'red', lw=1.5)
68
      plt.title(f'Krümmung $\\kappa(\\theta)$\n{title suffix}')
70
      # (c) Spektrum
71
      plt.subplot(133)
72
      plt.plot(freq_n, amp, 'o-', markersize=3, color='black',
73
     alpha=0.7, label='Amplitude')
      for n in [2, 3]:
74
          plt.axvline(n, color=f'C{n}', linestyle='--',
75
     alpha=0.7, label=f'n=\{n\}')
      if len(peaks) > 0:
76
          plt.plot(freq_n[peaks], amp[peaks], 'x',
77
     color='red', markersize=8, label='Peaks')
      plt.xlabel('Moden $n$')
78
      plt.ylabel('Amplitude $|\\kappa_n|$')
79
      plt.title(f'Krümmungsspektrum\n{title suffix}')
80
      plt.legend()
81
      plt.grid(True, alpha=0.3)
82
83
      plt.tight layout()
84
```

```
return freq_n, amp, dominant_n
85
86
  87
  # 2. Funktion: Kontur aus Bild extrahieren (ohne skimage)
88
  20
  def kontur aus bild(image, threshold factor=0.5):
91
     Extrahiert die Kontur bei threshold_factor * max(image)
92
     mit matplotlib (ohne skimage).
93
94
     fig, ax = plt.subplots()
95
     contour_set = ax.contour(image, levels=[threshold factor
96
     * image.max()])
     # Schließe Figur, um Speicher zu sparen
97
     plt.close(fig)
98
99
     if len(contour_set.allseqs[0]) == 0:
100
         raise ValueError("Keine Kontur gefunden - evtl.
     falscher Threshold.")
102
     # Wähle längste Kontur
      segments = contour set.allsegs[0]
104
     longest = max(segments, key=lambda seg: seg.shape[0])
     x_cont, y_cont = longest[:, 1], longest[:, 0]
106
     return x cont, y cont
109
  # 3. Fall 1: SIMULIERTES M87-BILD (fast kreisförmig)
  print(" ANALYSE 1: SIMULIERTES M87-BILD (ECHTENNAH)")
  print("="*60)
114
# --- Bild erzeugen ---
_{117} | N = 500
x = \text{np.linspace}(-1, 1, N)
X, Y = np.meshgrid(x, x)
r_{ing} = np.sqrt(X**2 + Y**2)
  theta img = np.arctan2(Y, X)
ring_radius = 0.5
  image_m87 = np.exp(-((r_img - ring_radius) / 0.02)**2)
image_m87 += 0.1 * np.cos(theta_img)
126
```

```
# --- Kontur extrahieren ---
  x cont, y cont = kontur aus bild(image m87,
     threshold factor=0.5)
  cx, cy = N / 2, N / 2
|x_rel| = x_cont - cx
_{131} v rel = v cont - cv
|theta1 = np.arctan2(y rel, x rel)
  r1 = np.sqrt(x_rel**2 + y_rel**2)
134
sort idx = np.argsort(theta1)
theta1 = theta1[sort idx]
137 r1 = r1[sort idx]
theta1 = np.where(theta1 < 0, theta1 + 2*np.pi, theta1)
sort idx = np.argsort(theta1)
140 theta1 = theta1[sort idx]
  r1 = r1[sort idx]
141
142
# --- Analyse durchführen und Ergebnisse speichern
144 freq_n1, amp1, dominant_n1 = analyse_krue_mung(r1, theta1,
     "Echtdaten-nah (nahezu kreisförmig)")
145
  # --- Ausgabe ---
146
  print("Erwartete Moden: n = 2, n = 3")
  if len(dominant_n1) > 0:
148
      print(f"Gefundene Moden (Echtdaten-nah): {dominant_n1}")
149
  else:
      print("Keine signifikanten Moden gefunden (hohe
     Symmetrie)")
  # 🛮 Stelle sicher, dass wir amp1 und freq_n1 noch haben
|idx_n2| = np.abs(freq_n1 - 2.0).argmin()
  idx_n3 = np.abs(freq_n1 - 3.0).argmin()
  print(f"Amplitude bei n=2: {amp1[idx n2]:.3f}")
  print(f"Amplitude bei n=3: {amp1[idx_n3]:.3f}")
158
  plt.suptitle("Vergleich: ECHTDATEN vs. SIMULATION",
     fontsize=14, y=1.05)
  plt.savefig("eht_vs_simulation_1.png", dpi=300,
     bbox_inches='tight')
  plt.show()
  # 4. Fall 2: KLARE n=3-SIMULATION (Resonanzfall)
  # -----
```

```
print("\On ANALYSE 2: KLARE n=3-DEFORMATION (Resonanz)")
  print("="*60)
168
  # --- Künstliche Kontur mit n=3 ---
169
theta_sim = np.linspace(0, 2*np.pi, 1000, endpoint=False)
  r sim = 250 + 40 * np.cos(3 * theta sim)
  # --- Analyse ---
  freq_n2, amp2, dominant_n2 = analyse_krue_mung(r_sim,
     theta sim, "Simulation: n=3")
175
176 # --- Ausgabe ---
  print("Erwartete Moden: n = 3")
  if len(dominant n2) > 0: # □ Korrekt: len() statt if array
178
      print(f"Gefundene Moden (n=3-Simulation): {dominant_n2}")
179
  else:
180
      print(" Keine Mode gefunden - sollte nicht passieren!")
181
182
  # 🛮 Zugriff auf Amplituden
183
  idx_n3_sim = np.abs(freq_n2 - 3.0).argmin()
  print(f"Amplitude bei n=3: {amp2[idx_n3_sim]:.3f}")
185
186
  plt.suptitle("Vergleich: ECHTDATEN vs. SIMULATION",
187
     fontsize=14, y=1.05)
  plt.savefig("eht_vs_simulation_2.png", dpi=300,
188
     bbox inches='tight')
  plt.show()
190
191
  # 5. Fazit für das Paper
  193
  print("\n" + "\lambda" * 60)
194
  print("
                             FAZIT FÜR DAS PAPER")
  print("\( \Bar{\text{"}}\) * 60)
  print("Die Analyse zeigt:")
print("→ Reale M87*-ähnliche Bilder zeigen KEINE dominanten
     Moden n=2,3"
<sub>199</sub>|print("→ Die Methode ist aber empfindlich genug, um n=3 klar
     zu detektieren")
200 print("→ Fehlende Moden im EHT-Bild deuten auf hohe
     geometrische Symmetrie hin")
  print("→ Diese Methode kann zukünftig verwendet werden, um
     Resonanzen")
```

```
print(" in weniger symmetrischen Szenarien (z. B.
    verschmelzende Schwarze Löcher)")
print(" nachzuweisen.")
print(""" * 60)
```

Listing B.9: Visualisierung

B.10 Modenkopplung in der Krümmungsgeometrie, (Abschn. 5.2)

```
# ringdown summenfrequenzen.pv
2 import h5py
3 import numpy as np
4 import matplotlib.pyplot as plt
s from scipy.fft import fft, fftfreq
6 from itertools import combinations
 # Sichere sph_harm-Import mit Upgrade-Unterstützung
 try:
      from scipy.special import sph_harm_y as sph_harm
      print("□ Verwende sph_harm_y (SciPy ≥ 1.15)")
11
  except ImportError:
      from scipy.special import sph_harm
      print("  Verwende veraltete sph_harm (SciPy < 1.15)")</pre>
14
15
 # =============
16
 # 1. Lade mehrere Moden
  # ==============
  filename = "rhOverM_Asymptotic_GeometricUnits_CoM.h5"
19
20
  with h5py.File(filename, 'r') as f:
      # Lade mehrere (1,m)-Moden
      modes = [
          ('Y_12_m2.dat', 2, 2),
24
          ('Y_12_m1.dat', 2, 1),
          ('Y_12_m0.dat', 2, 0),
2.6
          ('Y_13_m3.dat', 3, 3),
          ('Y_13_m2.dat', 3, 2),
          ('Y_14_m4.dat', 4, 4),
29
          ('Y_15_m5.dat', 5, 5),
30
                                   # neu
          ('Y_16_m6.dat', 6, 6),
                                   # neu
31
          ('Y_17_m7.dat', 7, 7), # NEU
32
```

```
('Y_18_m8.dat', 8, 8), # NEU
33
      1
34
      data_list = []
36
      for path, 1, m in modes:
37
          try:
38
              d = f[f'Extrapolated N4.dir/{path}'][()]
39
              if d.dtype.names:
40
                  t temp = d['t']
41
                  h real = d['real rhOverM']
42
                  h imag = d['imag rhOverM']
43
              else:
44
                  t_{t_{0}} = d[:, 0]
45
                  h real = d[:, 1]
46
                  h_{imag} = d[:, 2]
47
              h_complex = h_real + 1j * h_imag
48
              data_list.append((t_temp, h_complex, 1, m))
49
          except KeyError:
              print(f"[]
                        Mode nicht gefunden: {path}")
51
  # ============
53
  # 2. Wähle Zeitpunkt (Ringdown)
54
  # =============
  t_analysis = 9546.86 # wie im PDF
56
57
 # Interpoliere alle Moden auf diesen Zeitpunkt
 h lm vals = {}
  for t_temp, h_temp, 1, m in data_list:
60
      if t_temp[0] <= t_analysis <= t_temp[-1]:</pre>
61
          h_val = np.interp(t_analysis, t_temp, h_temp)
          h_{m_vals}[(1, m)] = h_val
64
 print(f" Analysiere Zeitpunkt t = {t analysis:.2f} M")
  print(f"  Verfügbare Moden: {list(h_lm_vals.keys())}")
67
 # ============
68
 # 3. Rekonstruiere h(theta, phi)
_{71} N theta = 100
72 N phi = 200 # höhere Auflösung für bessere FFT
r3 theta = np.linspace(0, np.pi, N_theta)
phi = np.linspace(0, 2*np.pi, N_phi)
75 theta_grid, phi_grid = np.meshgrid(theta, phi, indexing='ij')
76
```

```
h_total = np.zeros((N_theta, N_phi), dtype=complex)
78
  for (1, m), h val in h lm vals.items():
79
      Y_lm = sph_harm(m, l, phi_grid, theta_grid)
80
      h total += h val * Y lm
81
  # Amplitude als Radius r(theta, phi)
83
  r = np.abs(h_total)
84
85
  # =============
86
  # 4. Krümmung entlang phi (bei festem theta\pi=/2)
87
  # ===========
  theta_eq = N_theta // 2 # Aquator
  r eq = r[theta eq, :] # r(phi)
90
91
  # Polarkoordinaten-Krümmung
93 phi_fine = phi
94 dr = np.gradient(r_eq, phi_fine)
95 d2r = np.gradient(dr, phi_fine)
|numerator = np.abs(r_eq**2 + 2*dr**2 - r_eq*d2r)
  denominator = (r_eq^*2 + dr^*2)^*1.5
97
  kappa = numerator / denominator
98
99
# Entferne DC und normiere
  kappa_centered = kappa - np.mean(kappa)
  # ===========
103
  # 5. FFT: Krümmungsmoden n (azimutale Frequenzen)
104
  # ============
105
  kappa_fft = fft(kappa_centered)
dphi = phi_fine[1] - phi_fine[0]
  azimuthal_freq = fftfreq(N_phi, d=dphi) * 2 * np.pi
     Wellenzahl n
  amp = np.abs(kappa_fft)
# Nur positive Frequenzen
  positive = (azimuthal freq > 0)
n_fft = azimuthal_freq[positive]
  amp_fft = amp[positive]
# 6. Erwartete Summen- und Differenzfreguenzen aus
     (1,m)-Moden (mit Wiederholung)
118 # ==============
```

```
from itertools import combinations_with_replacement
120
  m values = [m for (1, m) in h lm vals.keys()]
  sum diff modes = set()
123
  # Erlaube Kombinationen einer Mode mit sich selbst
124
  for (m1,), (m2,) in combinations with replacement([(m,) for
     m in m values], 2):
      sum diff modes.add(m1 + m2)
                                            \# Summe: m1 + m2
126
      sum diff modes.add(abs(m1 - m2))
                                           # Betrag der
     Differenz
128
  expected_modes = sorted([n for n in sum_diff_modes if n >=
129
     01)
  Wiederholung): {expected_modes}")
  # =============
132
  # 7. Finde Peaks nahe erwarteten Moden
  # =============
134
  threshold = 0.3 * np.max(amp_fft) # relative Schwelle
  peak indices = np.where(amp fft > threshold)[0]
136
  detected_n = n_fft[peak_indices]
  detected_amp = amp_fft[peak_indices]
138
139
# Sortiere nach Amplitude
  sort_idx = np.argsort(-detected_amp)
  detected_n = detected_n[sort_idx]
142
  detected amp = detected amp[sort idx]
143
144
  print("\□n Detektierte Krümmungsmoden (n, Amp):")
145
  for n val, amp_val in zip(detected_n[:8], detected_amp[:8]):
146
      # Finde nächstes erwartetes n
147
      closest_expected = min(expected_modes, key=lambda x:
148
     abs(x - n_val))
      match = "[" if abs(closest_expected - n_val) < 0.5 else
149
     "∏"
      print(f'' n \approx \{n_val:4.1f\} (Amp: \{amp_val:6.2e\}) \rightarrow
     erwartet {closest_expected} {match}")
152 # ================
| 8. Plot: Krümmungsmoden + erwartete Linien
154 # ================
plt.figure(figsize=(12, 5))
```

```
156
  plt.plot(n_fft, amp_fft, 'b-', linewidth=1.2,
      label='FFT-Amplitude')
  for n_exp in expected_modes:
158
      plt.axvline(n_exp, color='red', linestyle='--',
159
      alpha=0.6, linewidth=1)
  # Markiere Peaks
161
  plt.scatter(detected n, detected amp, color='orange', s=30,
      zorder=5, label='Detektierte Peaks')
  plt.xlabel('Azimutale Modenzahl $n$')
164
  plt.ylabel('Amplitude')
  plt.title(fr'Krümmungsmoden bei $t = {t analysis:.2f}\,M$:
      Summen- und Differenzfrequenzen')
  plt.grid(True, alpha=0.3)
168 plt.xlim(0, 10)
169 plt.legend()
plt.tight_layout()
171 | plt.savefig('ringdown_summenfrequenzen_sxs_kruemmungsmoden.png',
      dpi=150)
  plt.show()
172
173
plt.figure(figsize=(10, 3))
plt.plot(phi, r_eq, label=r'$r(\phi)$', linewidth=1)
plt.plot(phi, kappa, label=r'$\kappa(\phi)$', linewidth=1)
plt.xlabel(r'$\phi$')
plt.legend()
plt.title('Geometrie am Aquator')
plt.grid(True, alpha=0.3)
  plt.savefig('ringdown_summenfrequenzen_geometrie_aequator.png'
181
      dpi=150)
  plt.show()
183
  import matplotlib.pyplot as plt
184
185
  m \text{ vals} = [2,3,4,5,6,7,8] \# \text{ deine geladenen } m
186
  plt.figure(figsize=(10, 6))
187
188
  for i, m1 in enumerate(m vals):
189
      for j, m2 in enumerate(m_vals):
190
           n sum = m1 + m2
191
           if n_sum <= 16:
192
               plt.scatter(m1, m2, s=100, c='blue', alpha=0.7)
```

```
plt.text(m1, m2, f'{n_sum}', fontsize=9,
194
      ha='center', va='center')
195
  plt.xlabel('$m_i$')
196
  plt.ylabel('$m_j$')
197
  plt.title('Erwartete Summenmoden $n = m i + m j$ in der
      Raum-Zeit-Krümmung')
  plt.grid(True, alpha=0.3)
  plt.xticks(m vals)
201 plt.yticks(m_vals)
  plt.savefig('ringdown summenfrequenzen harmonic lattice.png',
      dpi=150, bbox_inches='tight')
  plt.show()
  plt.close("all")
204
205
  # ==============
207 # 9. Dominante Mode
208 # ==============
  dominant_n = detected_n[0] if len(detected_n) > 0 else 0
print(f"\□n Dominante beobachtete Krümmungsmoden-Zahl: n =
      {dominant_n:.1f}")
```

Listing B.10: Visualisierung Modenkopplung in der Krümmungsgeometrie

B.11 Hawking-Strahlungseffekte, (Abschn. 8.4)

```
# schwarzes_loch_hawking_strahlung_physikalisch.py
2 import numpy as np
import matplotlib.pyplot as plt
from scipy.integrate import odeint
5 import os
6 import math
from scipy.fft import fft, fftfreq
from scipy.signal import find_peaks, windows
# Debugging: Verzeichnis für Logs und Plots
 output_dir = "hawking_output"
if not os.path.exists(output_dir):
     os.makedirs(output dir)
13
     print(f"[DEBUG] Erstellt Verzeichnis: {output_dir}")
14
16 # Physikalische Konstanten
```

```
G = 6.67430e-11 \# m^3 kq^{-1} s^{-2}
c = 2.99792458e8 # m s^{-1}
19 hbar = 1.0545718e-34 # J s
_{20} kB = 1.380649e-23 # J K^-1
_{21} M sun = 1.989e30 # kg
 # Parameter
2.3
24 M = 20 * M sun # Masse des Schwarzen Lochs (20 Sonnenmassen)
m = 1.0 # Masse des Oszillators (normalisiert)
26 k base = 0.1 # Schwächere Grundfederkonstante für bessere
     Resonanzdetektion
|T_H| = \text{hbar} * c**3 / (8 * math.pi * G * M * kB)
     Hawking-Temperatur
  print(f"[DEBUG] Hawking-Temperatur: T H = {T H:.2e} K")
29
 # Anpassung der Dämpfung basierend auf T H
 Dämpfung
32 alpha = 2.0 # Deutlich stärkere Resonanz
gnm_freq = 5.0 # QNM-Frequenz
 k_n8 = 100.0 * (2 * math.pi * qnm_freq) # Viel stärkere
     Kopplung an QNM-Frequenz
 forcing_amplitude = 0.1 # Geringere Anregungsamplitude
36
 print(f"[DEBUG] Parameter: m={m}, k_base={k_base},
     k_n8={k_n8:.2e}, c_base={c_base:.2e}, alpha={alpha}")
 print(f"[DEBUG] QNM-Frequenz: {qnm freq} Hz")
  print(f"[DEBUG] Forcing Amplitude: {forcing_amplitude}")
39
40
 # Differentialgleichung
 def ringdown(state, t, m, k_base, k_n8, c_base, alpha,
42
     qnm_freq, forcing_amplitude):
     x, v = state
43
      resonance = alpha * np.sin(2 * math.pi * qnm_freq * t)
44
     # Resonanz mit QNM-Frequenz
      dx dt = v
45
      eff k = \max(k \text{ base * 0.5}, k \text{ base + k n8 * resonance}) #
46
     Effektive Federkonstante mit unterer Grenze
     eff c = c base * (1 + 0.01 * abs(x)) # Nichtlineare
47
     Dämpfung
     forcing = forcing_amplitude * np.sin(2 * math.pi *
48
     qnm_freq * t) # Präzise Anregung mit QNM-Frequenz
      dv_dt = -(eff_k * x / m) - eff_c * v + forcing
49
50
```

```
# Debug-Ausgabe nur alle 100 Sekunden
      if t \% 100 < 0.01 and t > 0:
          print(f"[DEBUG] t={t:.2f},
53
     resonance={resonance:.4f}, eff_k={eff_k:.4f},
     eff_c={eff_c:.4e}")
      return [dx dt, dv dt]
56
 # Zeitvektor mit höherer Abtastrate
 duration = 1000 # Längere Simulationsdauer für bessere
58
     FFT-Auflösuna
sampling_rate = 20 * gnm_freg # 20-fache der QNM-Frequenz
foll num_points = int(duration * sampling_rate)
61 t = np.linspace(0, duration, num points)
62 dt = t[1] - t[0]
 print(f"[DEBUG] Zeitvektor: Länge={len(t)},
     Dauer={duration}s, Abtastrate={1/dt:.2f} Hz")
 print(f"[DEBUG] Nyquist-Frequenz: {1/(2*dt):.2f} Hz")
65
66 # Anfangsbedingungen
 state0 = [0.1, 0.0] # Kleinere Anfangsauslenkung
 print(f"[DEBUG] Anfangsbedingungen: x0={state0[0]},
     v0={state0[1]}")
69
 # Simulation
70
  try:
      print("[DEBUG] Starte Simulation...")
72
      solution = odeint(ringdown, state0, t, args=(m, k_base,
73
     k_n8, c_base, alpha, qnm_freq, forcing_amplitude))
      print("[DEBUG] Simulation erfolgreich!")
74
  except Exception as e:
      print(f"[DEBUG] Fehler in Simulation: {e}")
76
      exit()
78
79 # Energie berechnen
resonance = alpha * np.sin(2 * math.pi * qnm_freq * t)
 eff k = np.maximum(k base * 0.5, k base + k n8 * resonance)
 energy = 0.5 * m * solution[:, 1]**2 + 0.5 * eff_k *
82
     solution[:, 0]**2
print(f"[DEBUG] Energie: Min={np.min(energy):.4f},
     Max={np.max(energy):.4f}, Mean={np.mean(energy):.4f}")
 print(f"[DEBUG] Energie Standardabweichung:
     {np.std(energy):.4f}")
85
```

```
86 # Hawking-Energieverlust (theoretisch)
  hawking power = hbar * c**6 / (15360 * math.pi * G**2 *
     M**2)
           # W
  energy_loss_rate = hawking_power * t # Kumulativer Verlust
      (angenähert)
  print(f"[DEBUG] Theoretischer Energieverlust (kumulativ):
     Max={energy loss rate[-1]:.4e} J")
90
  # Speichere Energie
91
  np.savetxt(os.path.join(output_dir,
92
      "hawking_energy_with_TH.txt"),
             np.column_stack((t, energy, energy_loss_rate)),
93
             header="Zeit Energie EnergieVerlust")
94
  print(f"[DEBUG] Energie gespeichert in
95
      {os.path.join(output_dir, 'hawking_energy_with_TH.txt')}")
96
  # Plot: Energieverlauf
97
  plt.figure(figsize=(15, 10))
98
99
# Energieverlauf
  plt.subplot(2, 2, 1)
  plt.plot(t, energy, label="Simulierte Energie",
      color='blue', linewidth=1)
plt.xlabel("Zeit (s)")
104 plt.ylabel("Energie")
plt.title("Energieverlauf des Oszillators")
106 plt.grid(True)
  plt.legend()
108
109 # Hawking-Verlust
110 plt.subplot(2, 2, 2)
  plt.plot(t, -energy_loss_rate / np.max(energy_loss_rate) *
      np.max(energy) * 0.1,
           label="Theoretischer Hawking-Verlust (skaliert)",
      color='red', linewidth=2)
plt.xlabel("Zeit (s)")
plt.ylabel("Energieverlust (skaliert)")
plt.title("Hawking-Energieverlust (relativ skaliert)")
plt.grid(True)
  plt.legend()
118
# Oszillator-Position (Ausschnitt)
120 plt.subplot(2, 2, 3)
```

```
plt.plot(t[:2000], solution[:2000, 0], label='Position',
     color='purple', linewidth=1)
  plt.xlabel("Zeit (s)")
  plt.ylabel("Position")
plt.title("Oszillator-Position (Ausschnitt erste 100s)")
  plt.grid(True)
  # Oszillator-Geschwindigkeit (Ausschnitt)
  plt.subplot(2, 2, 4)
  plt.plot(t[:2000], solution[:2000, 1],
      label='Geschwindigkeit', color='orange', linewidth=1)
plt.xlabel("Zeit (s)")
  plt.ylabel("Geschwindigkeit")
  plt.title("Oszillator-Geschwindigkeit (Ausschnitt erste
     100s)")
  plt.grid(True)
133
134
  plt.tight_layout()
  plt.savefig(os.path.join(output_dir,
136
      "hawking_energy_with_TH_plot.png"), dpi=150)
  plt.show()
138
  # Fourier-Analyse (verbessert)
139
energy_centered = energy - np.mean(energy)
  window = windows.flattop(len(energy_centered))
141
     Flattop-Fenster für bessere Amplitudengenauigkeit
fft vals = fft(energy centered * window)
freq = fftfreq(len(t), dt)
  positive freq = freq[:len(freq)//2]
  positive_fft = np.abs(fft_vals[:len(freq)//2])
146
  # Finde Peaks im Frequenzspektrum (empfindlichere Kriterien)
147
  peaks, properties = find peaks(positive fft, height=0.01 *
     np.max(positive_fft), distance=5)
  print(f"[DEBUG] Gefundene Peaks: {len(peaks)}")
149
150
  if len(peaks) > 0:
      # Sortiere Peaks nach Amplitude
      sorted peaks =
153
     peaks[np.argsort(positive_fft[peaks])[::-1]]
154
      for i, peak_idx in enumerate(sorted_peaks[:10]): # Top
      10 Peaks
          peak freq = positive freq[peak idx]
156
```

```
peak_amp = positive_fft[peak_idx]
157
           print(f"[DEBUG] Peak {i+1}: {peak freq:.4f} Hz,
158
      Amplitude: {peak amp:.4f}")
           # Check if close to QNM frequency
160
           if abs(peak freq - qnm freq) < 0.1:</pre>
               print(f"[DEBUG] --> ENTSPRICHT QNM-FREQUENZ!
      (Abweichung: {abs(peak_freq - qnm_freq):.4f} Hz)")
               # Markiere den QNM-Peak besonders
163
               plt.annotate(f'QNM-Peak: {peak_freq:.3f} Hz',
164
                            xy=(peak_freq, peak_amp),
                            xytext=(peak_freq+1, peak_amp*1.1),
166
                            arrowprops=dict(facecolor='red',
167
      shrink=0.05),
                           fontweight='bold')
168
169
  # Speichere Frequenzspektrum
170
  np.savetxt(os.path.join(output dir,
      "hawking_fft_with_TH.txt"),
              np.column_stack((positive_freq, positive_fft)),
              header="Frequenz Amplitude")
  print(f"[DEBUG] Frequenzspektrum gespeichert in
174
      {os.path.join(output_dir, 'hawkinq_fft_with_TH.txt')}")
# Plot: Frequenzspektrum
plt.figure(figsize=(12, 6))
  plt.plot(positive_freq, positive_fft, label='FFT der
      Energie', color='green', linewidth=1)
  plt.xlabel("Frequenz (Hz)")
  plt.ylabel("Amplitude")
  plt.title("Frequenzspektrum der Energie (Flattop-Fenster)")
181
182
  # Markiere QNM-Frequenz
  plt.axvline(qnm_freq, color='red', linestyle='--',
      label=f'QNM: {qnm_freq} Hz', alpha=0.7, linewidth=2)
185
  # Markiere gefundene Peaks
186
  if len(peaks) > 0:
187
      for peak idx in peaks:
188
           if positive freq[peak idx] > 0.1: # Ignoriere sehr
189
      niedrige Frequenzen
               plt.plot(positive_freq[peak_idx],
190
      positive_fft[peak_idx], 'ro', markersize=4, alpha=0.7)
191
```

```
plt.xlim(0, 3 * qnm_freq)
plt.vlim(bottom=0)
plt.grid(True, alpha=0.3)
plt.legend()
  plt.savefig(os.path.join(output_dir,
196
      "hawking fft with TH plot.png"), dpi=150)
  plt.show()
197
198
  # Zusätzlicher Plot: Resonanzverlauf
  plt.figure(figsize=(12, 6))
200
  plt.plot(t[:1000], resonance[:1000], label='Resonanz-Term',
      color='magenta', linewidth=1)
  plt.plot(t[:1000], eff_k[:1000], label='Effektive
      Federkonstante', color='blue', linewidth=1)
plt.xlabel("Zeit (s)")
  plt.ylabel("Amplitude")
plt.title("Resonanz und effektive Federkonstante (Ausschnitt
      erste 50s)")
206 plt.grid(True)
plt.legend()
  plt.savefig(os.path.join(output_dir,
      "hawking resonance plot.png"), dpi=150)
  plt.show()
  print(f"[DEBUG] Alle Plots gespeichert in {output_dir}
     Verzeichnis")
  print(f"[DEBUG] Simulation abgeschlossen!")
```

Listing B.11: Visualisierung Hawking-Strahlungseffekte

B.12 Nanograph-Modell (Dichte-Ergebnisse), (Abschn. 9.1)

```
import pandas as pd
10
11
12 # 1. Laden der Daten
13
  density = np.load('density.npy')
                                           # Shape: (1, 30,
      10000) oder (30, 10000)
log10rho_grid = np.load('log10rhogrid.npy') # Shape: (10000,)
  freqs = np.load('freqs.npy')
                                                  # Shape: (30,)
17
  #
18
19 # 2. Bereinigen der Formen (squeeze entfernt überflüssige
     Dimensionen)
2.0
density = np.squeeze(density)
                                                  \# \rightarrow (30, 10000)
\log 10 \text{ rho\_grid} = \text{np.squeeze(log10rho\_grid)} \# \rightarrow (10000,)
freqs = np.squeeze(freqs)
                                                 \# \to (30,)
2.4
# Debug-Ausgabe
print("Nach squeeze:")
  print(f" density shape: {density.shape}")
 print(f" log10rho_grid shape: {log10rho_grid.shape}")
28
  print(f" freqs shape: {freqs.shape}")
30
31
32 # 3. Analyse für alle 30 Frequenzen
33
  # ------
  means = [] \# \langle_{10}\rho\rangle \log
34
  stds = []
                  \# \sigma(_{10} \rho \log)
35
  maps = [] # MAP-Wert (modus)
37
  for i in range(30):
38
      # Exponentiell: log-PDF → PDF
39
      pdf = np.exp(density[i]) # Shape: (10000,)
40
41
      # Normierung: \square pdf d(_{10}\rho\log) = 1
42
      norm = np.trapezoid(pdf, log10rho_grid)
43
      pdf = pdf / norm
44
45
      # MAP: Maximum der PDF
46
      map_idx = np.argmax(pdf)
47
      map_val = log10rho_grid[map_idx]
48
49
      # Mittelwert: \langle \rangle x = \Box x \Box pdf(x) dx
50
```

```
mean = np.trapezoid(log10rho_grid * pdf, log10rho_grid)
      # Varianz und Standardabweichung
53
      variance = np.trapezoid((log10rho_grid - mean)**2 * pdf,
54
      log10rho_grid)
      std = np.sgrt(variance)
56
      # Speichern
      means.append(mean)
58
      stds.append(std)
59
      maps.append(map val)
  # 4. Ausgabe für erste Frequenz (Beispiel)
64
  print(f"\nFrequenz: {freqs[0]:.2e} Hz \rightarrow \langle_{10}\rho\ranglelog =
     \{means[0]:.2f\} \pm \{stds[0]:.2f\}''\}
  print(f"MAP-Wert: _{10}\rho log = \{maps[0]:.2f\}")
67
68
  # 5. Speichern der Ergebnisse in CSV
70
  results_df = pd.DataFrame({
      'frequency_Hz': freqs,
72
      'mean_log10rho': means,
73
      'std_log10rho': stds,
74
      'map_log10rho': maps
75
  })
76
  results_df.to_csv('sinus_kreis_nanograph_density_results.csv',
     index=False)
  print("\nErgebnisse gespeichert in
      'sinus_kreis_nanograph_density_results.csv'")
79
80
  # 6. Plot 1: Einzel-PDF für erste Frequenz
81
  plt.figure(figsize=(8, 5))
pdf_0 = np.exp(density[0])
  pdf_0 /= np.trapezoid(pdf_0, log10rho_grid)
86
  plt.plot(log10rho_grid, pdf_0, 'b-', linewidth=2,
     label='PDF')
88|plt.axvline(means[0], color='k', linestyle='--',
     label=f'Mittel: {means[0]:.2f}')
```

```
plt.axvline(maps[0], color='r', linestyle=':', label=f'MAP:
      {maps[0]:.2f}')
90 plt.xlabel(r'$\log {10}(\rho)$')
91 plt.ylabel('Wahrscheinlichkeitsdichte')
plt.title(f'PDF bei $f = {freqs[0]:.2e}~\\mathrm{{Hz}}$')
93 plt.legend()
94 plt.grid(True, alpha=0.3)
95 plt.tight_layout()
  plt.savefig('sinus_kreis_nanograph_pdf_frequency_0.png')
  plt.show()
97
98
          -----
99
  # 7. Plot 2: Alle 30 PDFs in einem Diagramm
100
  plt.figure(figsize=(8, 6))
102
  for i in range(30):
103
      pdf = np.exp(density[i])
104
      pdf /= np.trapezoid(pdf, log10rho_grid)
      plt.plot(log10rho_grid, pdf, color='tab:blue',
106
      alpha=0.2, linewidth=1)
107
108 plt.xlabel(r'$\log {10}(\rho)$')
  plt.ylabel('PDF')
plt.title('Alle 30 rekonstruierten Dichten')
plt.grid(True, alpha=0.3)
plt.tight layout()
plt.savefig('sinus_kreis_nanograph_all_pdfs.png')
  plt.show()
114
115
116
| # 8. Plot 3: Trend von \langle 10 \rho \rangle \log \text{ und MAP } \text{ über Frequenz}
118 # ----
plt.figure(figsize=(8, 5))
  plt.errorbar(freqs, means, yerr=stds, fmt='o-', capsize=4,
      label=r'$\langle \log_{10}\rho \rangle \pm \sigma$')
  plt.plot(freqs, maps, 'r--', marker='s', markersize=4,
      label='MAP', alpha=0.8)
plt.xscale('log')
plt.xlabel('Frequenz $f$ [Hz]')
124 plt.ylabel(r'$\log {10}(\rho)$')
plt.title('Mittlere Dichte und Streuung über Frequenzen')
plt.legend()
plt.grid(True, which="both", linestyle='--', alpha=0.5)
plt.tight_layout()
```

```
plt.savefig('sinus_kreis_nanograph_mean_map.png')
  plt.show()
  # 9. Plot 4: Heatmap aller PDFs (log-skaliert)
  # Rekonstruiere alle normierten PDFs
  pdfs_norm = np.exp(density)
136
  norms = np.trapezoid(pdfs norm, log10rho grid, axis=1)
  pdfs_norm = pdfs_norm / norms[:, np.newaxis]
138
  plt.figure(figsize=(10, 6))
140
  im = plt.imshow(pdfs_norm,
                   aspect='auto',
142
                   extent=(log10rho_grid.min(),
143
      log10rho_grid.max(),
                           freqs.min(), freqs.max()),
144
                   origin='lower',
145
                   cmap='inferno',
146
                   norm=plt.matplotlib.colors.LogNorm(
147
                       vmin=pdfs_norm.min() + 1e-20, #
148
      vermeide Null
                       vmax=pdfs_norm.max()))
149
  plt.colorbar(im, label=r'$p(\log_{10}\rho \mid f)$')
151
  plt.xlabel(r'$\log {10}(\rho)$')
plt.ylabel('Frequenz $f$ [Hz]')
plt.yscale('log')
plt.title(r'Posteriore Dichte $p(\log {10}\rho \mid f)$ über
      alle Frequenzen')
plt.tight_layout()
plt.savefig('sinus_kreis_nanograph_heatmap.png')
158 plt.show()
plt.close('all')
```

Listing B.12: Visualisierung Nanograph-Modell (Dichte-Ergebnisse

B.13 Nanograph-Modell: Wellenanalye, (Abschn. 9.1)

```
# 1. Lade Dichte-Ergebnisse aus CSV (für Physik)
4 # 2. Simuliere Pulsarpositionen (für Kreiswellen-Analyse)
s # 3. Führe Bootstrap durch & interpretiere im Kontext des
     Model1s
7 # sinus kreis nanograph wellen analyse.pv
8 import numpy as np
9 import matplotlib.pyplot as plt
10 import pandas as pd
11 from scipy.stats import norm
12 import os
13
14
  # 1. Lade Dichte-Ergebnisse aus CSV
  def lade_dichte_ergebnisse():
17
18
      Lädt die rekonstruierten Dichten aus der CSV.
19
      Gibt Frequenzen und Dichte-Parameter zurück.
      csv_file = 'sinus_kreis_nanograph_density_results.csv'
      if os.path.exists(csv file):
          print(f"Lade Dichte-Ergebnisse aus {csv_file}...")
          df = pd.read_csv(csv_file)
          required = ['frequency_Hz', 'mean_log10rho',
26
     'std_log10rho', 'map_log10rho']
          if not all(col in df.columns for col in required):
              raise ValueError(f"CSV fehlt erforderliche
     Spalten. Gefunden: {list(df.columns)}")
          freqs = df['frequency_Hz'].values
30
          mean_rho = df['mean_log10rho'].values
31
          std rho = df['std log10rho'].values
          map_rho = df['map_log10rho'].values
          print(f"[] {len(freqs)} Dichte-Ergebnisse geladen.")
34
          return freqs, mean_rho, std_rho, map_rho
35
      else:
36
          raise FileNotFoundError(f"CSV-Datei '{csv_file}'
37
     nicht gefunden.")
38
39
  # 2. Simuliere Pulsarpositionen (für Kreiswellen-Analyse)
40
42 def simuliere_pulsare(N=68):
```

```
43
      Simuliert NANOGrav-ähnliche Pulsarpositionen
44
      (nordlastig, Arecibo-Sichtbarkeit).
45
      np.random.seed(42)
46
      ra hours = np.random.uniform(0, 24, N) # Rektaszension
47
     -[024 h]
      dec_deg = np.clip(np.random.normal(30, 20, N), -30, 90)
48
     # Deklination
      ra = ra_hours * (np.pi / 12)
                                                # in rad
49
      dec = np.radians(dec deg)
                                                 # in rad
50
      theta = np.pi/2 - dec
                                                # Kolatitude
51
      phi = ra
                                                 # Azimut
      print(f"[] {N} simulierte Pulsare erzeugt (für
     Kreiswellen-Analyse).")
      return theta, phi
54
56
  # 3. Winkelabstand auf der Kugel
58
  def winkelabstand_sph(theta1, phi1, theta2, phi2):
      cos_gamma = (np.sin(theta1) * np.sin(theta2) *
60
     np.cos(phi1 - phi2) +
                    np.cos(theta1) * np.cos(theta2))
      return np.arccos(np.clip(cos_gamma, -1.0, 1.0))
  # Lade Dichte-Ergebnisse
  freqs, mean_rho, std_rho, map_rho = lade_dichte_ergebnisse()
66
  # Simuliere Pulsare für Geometrie
 |theta, phi = simuliere_pulsare()
68
  N = len(theta)
69
70
  # Berechne alle Winkelabstände
  gamma_list = []
72
  for i in range(N):
73
      for j in range(i + 1, N):
74
          gamma = winkelabstand_sph(theta[i], phi[i],
75
     theta[j], phi[j])
          gamma list.append(gamma)
76
  gamma = np.array(gamma_list)
  print(f"[] {len(gamma)} Winkelabstände zwischen Pulsarpaaren
     berechnet.")
79
```

```
# 4. Hellings-Downs-Funktion
82
  def hellings_downs(gamma, eps=1e-10):
83
      cos_gamma = np.cos(gamma)
84
      one minus cos = 1 - cos gamma
85
      loq_arg = np.where(one_minus_cos > eps, one_minus_cos /
86
      2, eps)
      log_term = np.log(log_arg)
87
      main_term = 0.5 * one_minus_cos * loq_term
88
      correction term = -0.25 * cos gamma * (3 - \cos gamma)
89
      return 1/3 + main_term + correction_term
90
91
  C_hd = hellings_downs(gamma)
92
  print("
    Hellings-Downs-Korrelation berechnet.")
93
94
95
  # 5. Kreiswellen-Analyse
96
97
  def kreiswellen_analyse(gamma, C, max_n=6):
98
      A = np.column_stack([np.cos(n * gamma) for n in
99
      range(max n + 1))
      a_n, _, _, = np.linalg.lstsq(A, C, rcond=None)
100
      return a_n
104 # 6. Bootstrap-Analyse
105 # ---
n_bootstrap = 5000
  noise\_sigma = 0.05
  a2_bootstrap = np.zeros(n_bootstrap)
108
109
110 # Beobachteter 2a aus dem Modell (z .B. aus Simulation mit
      Nanograph-Modulation)
  a2_observed = 0.692 # □ Dies ist das Signal → prüfe, ob
      detektierbar
112
print(f" Führe {n_bootstrap}-Bootstrap mit realer Geometrie
      durch...")
114
  for i in range(n_bootstrap):
115
      C_noisy = C_hd + noise_sigma * np.random.normal(0, 1,
116
      len(gamma))
      a_n = kreiswellen_analyse(gamma, C_noisy, max_n=6)
117
```

```
a2\_bootstrap[i] = a\_n[2]
118
119
120
  # 7. Statistische Auswertung
121
122 #
p value = np.mean(a2 bootstrap >= a2 observed)
a2 mean = np.mean(a2 bootstrap)
a2_std = np.std(a2_bootstrap)
  ci_lower, ci_upper = np.percentile(a2_bootstrap, [2.5, 97.5])
126
128 print("\n" + "="*70)
print(" BOOTSTRAP: 2a-Modus unter realer
      Pulsar-Geometrie")
130 print("="*70)
print(f"Anzahl Pulsare:
                                            \{N\}'')
print(f"Anzahl Paare:
                                           {len(gamma)}")
print(f"Beobachteter 2a:
                                           {a2_observed:.3f}")
print(f"Mittelwert unter <sub>0</sub>H:
                                           {a2 mean:.3f}")
print(f"Standardabweichung:
                                           {a2 std:.3f}")
print(f"95% Konfidenzintervall: [{ci_lower:.3f},
      {ci_upper:.3f}]")
  print(f"p-Wert (einseitig):
                                           {p value:.4f}")
138
139 print("\n" + "[]" * 50)
140 print("
                                 INTERPRETATION")
  print("\( \text{"} \text{"} \text{ * 50} \)
141
142
  if p_value < 0.001:
143
       print(f"→ 2a = {a2_observed:.3f} ist extrem signifikant
144
      (p < 0.001).")
       print("→ Das Signal bleibt unter realer Himmelsabdeckung
145
      detektierbar.")
       print("→ Starke Evidenz für nichtlineare Modulation
146
      (z .B. aus dem Nanograph-Modell).")
  elif p_value < 0.05:</pre>
147
       print(f'' \rightarrow 2a = \{a2\_observed: .3f\} ist signifikant (0.001)
148
      \leq p < 0.05).")
       print("→ Hinweis auf Abweichung von Hellings-Downs.")
149
  else:
150
       print(f'' \rightarrow 2a = \{a2 \text{ observed}: .3f\} \text{ ist verträglich mit }_{0}H
      (p \ge 0.05).")
       print("→ Kein signifikantes Signal unter realer
152
      Geometrie.")
153 print("" * 50)
```

```
154
  # 8. Plot: Bootstrap-Verteilung
  plt.figure(figsize=(10, 6))
158
  plt.hist(a2 bootstrap, bins=50, density=True, alpha=0.7,
            color='steelblue', edgecolor='black',
      label='Bootstrap-Verteilung')
  mu, sigma = norm.fit(a2 bootstrap)
|x| = \text{np.linspace}(a2\_\text{mean} - 4*a2\_\text{std}, a2\_\text{mean} + 4*a2\_\text{std}, 200)
plt.plot(x, norm.pdf(x, mu, sigma), 'red', '--',
      linewidth=2, label='Gauß-Anpassung')
  plt.axvline(a2_observed, color='darkred', linewidth=3,
      label=f'Beobachtet: $a 2 = {a2 observed:.3f}$')
plt.xlabel('Amplitude $a_2$', fontsize=12)
  plt.ylabel('Dichte', fontsize=12)
plt.title('Bootstrap: $a_2$-Modus unter realer
      Pulsar-Geometrie', fontsize=13)
plt.legend(fontsize=11)
plt.grid(True, alpha=0.3)
plt.tight_layout()
  plt.savefig("nanograph bootstrap a2 echte pulsare.png",
      dpi=300)
  plt.show()
172
173
# 9. Plot: Dichte-Ergebnisse über Frequenz
  plt.figure(figsize=(10, 6))
  plt.errorbar(freqs, mean_rho, yerr=std_rho, fmt='o-',
      capsize=4,
                color='tab:blue', label=r'$\langle
179
      \log {10}\rho \rangle \pm \sigma$')
  plt.plot(freqs, map_rho, 'r--s', markersize=4, label='MAP',
      alpha=0.8)
  plt.xscale('log')
plt.xlabel('Frequenz $f$ [Hz]')
183 plt.ylabel(r'$\log_{10}(\rho)$')
plt.title('Nanograph-Modell: Dichte-Ergebnisse über
      Frequenz')
plt.legend()
plt.grid(True, which="both", linestyle='--', alpha=0.5)
plt.tight_layout()
```

```
plt.savefig("nanograph_trend_log10rho_vs_frequency.png",
      dpi=300)
  plt.show()
189
190
plt.figure(figsize=(10, 5))
192 ra deg = np.degrees(phi)
  dec deg = np.degrees(np.pi/2 - theta)
plt.subplot(111, projection="mollweide")
  plt.scatter(-ra deg, dec deg, s=10, alpha=0.8, c='black')
196 plt.grid(True)
plt.title("Simulierte Pulsarpositionen (NANOGrav-ähnlich)")
  plt.savefig("sinus_kreis_nanograph_mollweide_pulsars.png",
      dpi=300, bbox inches='tight')
  plt.show()
199
  plt.close('all')
200
  # 10. Interpretation: Kombiniere beide Ergebnisse
204
  print("\n" + "[]" * 50)
205
  print("
                     GLOBALE INTERPRETATION")
206
  print("[" * 50)
207
208
sharp_freqs = freqs[std_rho < 0.6]
  sharp_indices = np.where(std_rho < 0.6)[0]</pre>
  print(f"[] {len(sharp_freqs)} Frequenzen mit scharfen Peaks
      \sigma(<0.6):")
  for i in sharp_indices:
212
       print(f" f = \{freqs[i]:.2e\} Hz \rightarrow \langle _{10}\rho \rangle log =
213
      \{\text{mean\_rho}[i]:.2f\}, \sigma = \{\text{std\_rho}[i]:.2f\}''\}
214
  if p_value < 0.001:
       print("\On Fazit:")
       print("Das Nanograph-Modell sagt bei bestimmten
      Frequenzen scharfe Dichteverteilungen voraus.")
       print("Gleichzeitig ist der $a_2$-Mode extrem
218
      signifikant (p < 0.001).")
       print("→ Starke Evidenz, dass das Signal unter realer
219
      Geometrie detektierbar wäre.")
  else:
       print("\On Fazit:")
       print("Obwohl das Modell scharfe Peaks vorhersagt, ist
2.2.2
      der $a_2$-Mode nicht signifikant.")
```

```
print("→ Möglicherweise wird das Signal durch Geometrie
oder Rauschen unterdrückt.")

print("□" * 50)
```

Listing B.13: Visualisierung Nanograph-Modell

B.14 Nanograph-Modell (Animation), (Abschn. 9.1)

```
# nanograph_gif_animation.py
2 import numpy as np
import matplotlib.pyplot as plt
4 from PIL import Image
5 import io
 # Parameter
9 # ----
_{10} frames = 80
11 dpi = 150
_{12} figsize = (10, 10)
13
14 # Azimutale Winkel
phi = np.linspace(0, 2 * np.pi, 500)
16
# Modenparameter (basierend auf GW190521)
_{18} | A2 = 1.0
_{19} | A8 = 0.6
_{20} | A_sum = 0.5 \# n=2+8 = 10
_{21} omega2 = 2.0
omega8 = 8.0
omega_sum = 10.0
24 gamma = 0.8 # Dämpfung
2.6
  # Erstelle Frames
27
  # -----
  images = []
29
30
31 for i in range(frames):
  t = i / frames * 2 * np.pi
```

```
33
      # Einzelne Moden
34
      mode2 = A2 * np.cos(2 * phi - omega2 * t)
35
      mode8 = A8 * np.cos(8 * phi - omega8 * t)
36
      mode_sum = A_sum * np.cos(10 * phi - omega_sum * t)
37
38
      # Gesamtsignal mit nichtlinearer Interferenz
39
      total = mode2 + mode8 + mode_sum
40
      total *= np.exp(-gamma * t) # Dämpfung im Zeitverlauf
41
42
      # Farbe basierend auf lokaler Amplitude (nicht auf
43
     Radius!)
      norm = (total - total.min()) / (total.max() -
44
     total.min() + 1e-8)
      colors = plt.cm.RdBu(norm)
45
46
      fig, ax = plt.subplots(figsize=figsize, dpi=dpi)
47
      ax.set aspect('equal')
48
      ax.axis('off')
49
50
      # Zeichne Kreiswellen als farbkodierte Linie entlang des
51
     Einheitskreises
      x = np.cos(phi)
      y = np.sin(phi)
53
      for j in range(len(phi) - 1):
54
          ax.plot([x[j], x[j+1]], [y[j], y[j+1]],
     color=colors[j], linewidth=4)
56
      # Titel (14 pt, fett)
57
      ax.text(0.5, 0.95, "GEOMETRISCHE RESONANZ -
58
     GRAVITATIONSWELLEN NANOGRAPH",
               fontsize=14, fontweight='bold', color='white',
59
     ha='center', va='top',
               transform=ax.transAxes,
     bbox=dict(facecolor='black', alpha=0.6, pad=5))
61
      # Untertitel (12 pt)
      ax.text(0.5, 0.89, "Visualisierung: Klaus H. Dieckmann,
63
     2025",
               fontsize=12, fontweight='bold',
64
     color='lightgray', ha='center', va='top',
               transform=ax.transAxes,
65
     bbox=dict(facecolor='black', alpha=0.5, pad=3))
66
```

```
# Dynamischer Erklärtext (12 pt)
67
      phase = i / frames
68
      if phase < 0.33:
69
          txt = "Phase 1: Zwei Kreiswellen breiten sich aus
      (n=2 blau, n=8 rot)."
      elif phase < 0.66:
71
          txt = "Phase 2: Nichtlineare Interferenz erzeugt
      Summenmode (n=10)."
      else:
73
          txt = "Phase 3: Konstruktive (blau) und destruktive
74
      (rot) Interferenzmuster."
      ax.text(0.02, 0.04, txt,
76
               fontsize=12, color='white', ha='left',
     va='bottom',
               transform=ax.transAxes,
78
     bbox=dict(facecolor='black', alpha=0.7, pad=6))
79
      # Speichern
80
      buf = io.BytesIO()
81
      plt.savefig(buf, format='png', bbox_inches='tight',
82
      facecolor='black', pad_inches=0.2)
      buf.seek(0)
83
      images.append(Image.open(buf))
84
      plt.close(fig)
86
87
  # GIF speichern
22
89
  output = "nanograph_animation.gif"
  images[0].save(
91
      output,
92
      save all=True,
93
      append_images=images[1:],
94
      duration=150, # 150 ms \rightarrow ~6.7 FPS
95
      loop=0
96
97
98
  print(f" GIF gespeichert als: {output}")
```

Listing B.14: Visualisierung Nanograph-Modell (Animation

B.15 Kosmischer Mikrowellenhintergrund, (Abschn. 11.2)

```
# sinus kreis cmb kruemmungsanalyse.py
2 import numpy as np
import matplotlib.pyplot as plt
4 from scipy.signal import hilbert
from scipy.stats import entropy
6 from scipy.integrate import simpson # Korrigierter Import
from scipy.signal import savgol_filter
8 import numpy as np
9 import pandas as pd
 print("D CMB-Ring-Analyse ohne healpy - vollständig
    synthetisch")
# 1. Synthetische Ring-Daten erzeugen
_{16} n phi = 4096
 phi = np.linspace(0, 2 * np.pi, n_phi, endpoint=False)
17
18
 # Realistische CMB-ähnliche Modulation: n=8 dominant, n=16,
10
    Rauschen
I_clean = 1.0 + 0.08 * np.cos(8 * phi + 0.2) + 0.03 *
    np.sin(16 * phi)
 noise = 0.002 * np.random.normal(size=phi.shape)
    schwaches Rauschen
 ring_intensity = I_clean + noise
2.3
24 # === GLÄTTUNG HIER EINFÜGEN ===
25|I smooth = savgol filter(ring intensity, window length=51,
    polyorder=3)
 2.6
print(f"Synthetischer Ring generiert: {n_phi} Punkte, mit
    n=8, n=16 und Rauschen")
29
31 # 2. Phasenraum: (I, dI/φd) - jetzt mit GEGLÄTTETEM Signal
33 dphi = phi[1] - phi[0]
```

```
34 I = I_smooth # ← WICHTIG: jetzt das geglättete Signal
    verwenden
 dIdphi = np.gradient(I, dphi)
36
 # ================
37
 # 3. Orientierte Fläche im Phasenraum: A = □ I d(dI/φd)
 dI_prime = np.gradient(dIdphi, dphi) # zweite Ableitung
40
 # Bogenelement: d(dI/φd) ≈ dI_prime * dphi (für Integration)
42 # Aber: simpson erwartet v-Werte und x-Werte → integriere I
    * dI prime über phi
43 integrand = I * dI_prime
 area_phase = simpson(integrand, phi)
45
 # Effektive "Energie" des Signals
46
 integrand_energy = dIdphi**2
 kinetic_energy = simpson(integrand_energy, phi)
48
49
 50
 # 4. Instantane Frequenz (via Hilbert-Transformation)
 analytic signal = hilbert(I - np.mean(I))
 instantaneous_phase = np.unwrap(np.angle(analytic_signal))
ss|instantaneous_freq = np.gradient(instantaneous_phase, dphi)
56
 58 # 5. Entropie der Phasenraum-Verteilung
 59
 bins = 50
60
 H, _, _ = np.histogram2d(I, dIdphi, bins=bins, density=True)
_{62}|H = H + 1e-12
 traj_entropy = entropy(H.flatten())
 # 6. Test auf n=8 Periodizität
66
 68 n segments = 8
segment_size = len(phi) // n_segments
 segments = [dIdphi[i*segment_size:(i+1)*segment_size] for i
    in range(n_segments)]
72 autocorr_segments = []
73 for i in range(n_segments):
     if len(segments[i]) == len(segments[0]):
74
```

```
corr = np.corrcoef(segments[0], segments[i])[0,1]
75
      else:
76
         corr = 0.0
      autocorr_segments.append(corr)
78
79
  80
  # 7. Ausgabe
81
  82
  print("\n" + "="*50)
  print("
          PHASENRAUM-ANALYSE DES SYNTHETISCHEN CMB-RINGS")
84
  print("="*50)
86 print(f"Anzahl Punkte: {n_phi}")
  print(f"Orientierte Fläche im Phasenraum: A =
     {area phase:.6f}")
print(f"Signal-Energie \Box(dI/\phi d)^2 \phi d = \{kinetic\_energy:.6f\}")
  print(f"Trajektorien-Entropie: S = {traj_entropy:.4f}")
print(f"Mittlere inst. Frequenz:
     {np.mean(instantaneous freq):.4f}")
print(f"Std. inst. Frequenz:
     {np.std(instantaneous_freq):.4f}")
92
  print(f"\nKorrelation der Segmente (n=8-Test):")
93
  for i, corr in enumerate(autocorr_segments):
      print(f" Segment 0 vs {i}: {corr:.4f}")
95
96
  97
  # 8. Visualisierung
98
  99
  fig = plt.figure(figsize=(15, 10))
100
102 plt.subplot(2, 3, 1)
plt.plot(dIdphi, I, 'b-', linewidth=1.0)
104 plt.xlabel("dI/φd")
105 plt.ylabel("Ιφ()")
plt.title("Phasenraum-Trajektorie")
 plt.grid(True, alpha=0.3)
108
109 plt.subplot(2, 3, 2)
plt.plot(phi, dIdphi, 'g-', linewidth=1.0)
plt.xlabel("φ (rad)")
112 plt.ylabel("dI/φd")
plt.title("Intensitätsänderung")
plt.grid(True, alpha=0.3)
```

```
116 plt.subplot(2, 3, 3)
  plt.plot(phi, instantaneous_freq, 'm-', label="inst. freq")
plt.axhline(y=8, color='r', linestyle='--', label='Erwartet
      (n=8)'
plt.xlabel("φ (rad)")
plt.vlabel("Freq")
plt.title("Instantane Frequenz")
plt.legend()
  plt.grid(True, alpha=0.3)
123
124
  plt.subplot(2, 3, 4)
125
  for i in range(8):
126
      start = i * segment_size
      end = (i+1) * segment size
128
      c = plt.cm.viridis(i / 8)
129
      plt.plot(dIdphi[start:end], I[start:end], color=c,
130
      linewidth=1.2)
131 plt.xlabel("dI/φd")
plt.ylabel("I")
  plt.title("Phasenraum (gefärbt nach 8 Segmenten)")
  plt.grid(True, alpha=0.3)
134
135
  plt.subplot(2, 3, 5)
136
  plt.bar(range(8), autocorr_segments, color='skyblue',
      edgecolor='k', alpha=0.8)
  plt.axhline(y=np.mean(autocorr segments[1:]), color='gray',
      linestyle='--', label='Mittelwert')
  plt.xlabel("Segment")
  plt.ylabel("Korrelation mit Segment 0")
  plt.title("n=8 Periodizität")
plt.xticks(range(8))
  plt.grid(True, alpha=0.3)
143
144
145 plt.subplot(2, 3, 6)
  plt.hist2d(I, dIdphi, bins=50, cmap='inferno')
147 plt.xlabel("Ιφ()")
148 plt.ylabel("dI/φd")
plt.title("Dichte im Phasenraum")
  plt.colorbar(label="Häufigkeit")
150
  plt.tight_layout()
152
  plt.savefig('sinus_kreis_cmb_phasenraum_analyse.png',
153
      dpi=150)
154 plt.show()
```

```
plt.close("all")
156
  157
  # 9. Speichern
158
  159
  import numpy as np
  import pandas as pd
  # --- 1. Haupttabelle: Daten, die über phi definiert sind
163
  main data = pd.DataFrame({
164
      'phi_rad': phi,
      'intensity': ring_intensity,
166
      'dIdphi': dIdphi,
      'instantaneous_frequency': instantaneous_freq
168
  })
169
  main_data.to_csv('sinus_kreis_cmb_phasenraum_main.csv',
     index=False)
  print("
    Haupttabelle gespeichert:
      'sinus_kreis_cmb_phasenraum_main.csv'")
  # --- 2. Zusammenfassung: Skalare und Segment-Korrelationen
  summary_data = {
174
      'quantity': [
           'area_phase',
176
           'kinetic energy',
           'traj_entropy',
178
           'mean_instantaneous_freq',
          'std instantaneous freg',
180
          'n_segments'
181
      ],
182
      'value': [
183
          area phase,
          kinetic_energy,
185
          traj_entropy,
186
          np.mean(instantaneous_freq),
187
          np.std(instantaneous freq),
188
          len(autocorr_segments)
189
      ]
190
  }
191
  # Füge Segment-Korrelationen hinzu
  for i, corr in enumerate(autocorr_segments):
193
      summary_data['quantity'].append(f'autocorr_segment_{i}')
194
      summary data['value'].append(corr)
195
```

```
summary_df = pd.DataFrame(summary_data)
summary_df.to_csv('sinus_kreis_cmb_phasenraum_summary.csv',
    index=False)
print("
    Zusammenfassung gespeichert:
    'sinus_kreis_cmb_phasenraum_summary.csv'")
```

Listing B.15: Visualisierung Kosmischer Mikrowellenhintergrund

B.16 Mini-AIA 171A Testdatensatz schreiben, (Kap. 15)

```
# corona_fits_daten_runterladen.py
2 import numpy as np
from astropy.io import fits
 # Parameter
_{6} nx, ny = 64, 64
_{7} wavelength = 171
8 date obs = "2024-06-05T12:00:00"
10 # Realistisches AIA-ähnliches Bild erzeugen
x = \text{np.linspace}(-3, 3, nx)
y = np.linspace(-3, 3, ny)
X, Y = np.meshgrid(x, y)
  R = np.sqrt(X**2 + Y**2)
14
15
# Sonnenscheibe + Korona + aktive Region + Rauschen
  image = (
17
                                                        #
      1.0 * np.exp(-R**2 / 0.8) +
18
     Photosphäre
      0.3 * np.exp(-R**2 / 4.0) +
                                                         # Korona
19
      0.8 * np.exp(-((X-1)**2 + (Y-1)**2) / 0.05) + # Aktive
     Region
      0.05 * np.random.poisson(3, (ny, nx))
                                                         #
     Rauschen
22
# Header erstellen
part | header = fits.Header()
26 header['SIMPLE'] = True
part | header['BITPIX'] = -32
```

```
28 header['NAXIS'] = 2
p header['NAXIS1'] = nx
30 header['NAXIS2'] = ny
header['DATE-OBS'] = date obs
header['TELESCOP'] = 'SDO'
header['INSTRUME'] = 'AIA'
header['WAVELNTH'] = wavelength
header['WAVEUNIT'] = 'Angstrom'
header['EXPTIME'] = 2.21
37 # Geändert: Umlaut entfernt, ASCII-kompatibel
38 header['COMMENT'] = 'Mini-AIA 171A Testdatensatz fuer
     Simulationen'
39
40 # Speichern als echte FITS-Datei
41 hdu = fits.PrimaryHDU(image.astype(np.float32),
     header=header)
42 hdu.writeto('aia_171_20240605_120000.fits', overwrite=True)
print(" Erfolgreich erstellt: aia 171 20240605 120000.fits")
 print("Nutze diese Datei im Validierungsskript.")
```

Listing B.16: Visualisierung Mini-AIA 171A Testdatensatz scheiben

B.17 Mini-AIA 171A Testdatensatz lesen, (Abschn. 15)

```
# corona fits daten lesen
from astropy.io import fits
3 import numpy as np
4 import matplotlib.pyplot as plt
6 # Datei öffnen
 with fits.open('aia_171_20240605_120000.fits') as hdul:
     header = hdul[0].header
8
     data = hdul[0].data
9
# Informationen anzeigen
print(" FITS-Datei erfolgreich geladen!")
print(f"Teleskop: {header.get('TELESCOP')}")
print(f"Instrument: {header.get('INSTRUME')}")
print(f"Wellenlänge: {header.get('WAVELNTH')} A")
print(f"Datum: {header.get('DATE-OBS')}")
```

Listing B.17: Visualisierung Mini-AIA 171A Testdatensatz lesen

B.18 Koronale Nanoflares, (Abschn. 15)

```
# corona_resonanzen_validierung.py
2 # Optimiertes Modell: n=10, stärkere Kopplung, längere Zeit,
     bessere Statistik
3 import numpy as np
import matplotlib.pyplot as plt
from scipy.integrate import solve_ivp
from scipy.signal import correlate2d
from scipy.stats import linregress
8 from astropy.io import fits
9 import csv
10 from datetime import datetime
11
12 # ============
13 # 1. SIMULATIONSKONFIGURATION (optimiert)
  # ===========
14
 print("
    Starte optimierte Simulation...")
16
17
18 n = 10
                      # Größer → bessere Statistik
_{19} t max = 500
                      # Länger → stabilere Verteilung
20 t eval points = 300 # Mehr Zeitpunkte
|q_{1}| = 0.1
F_strength = 1.0
                      # Weniger Rauschen → höhere α erwartet
23
```

```
24 # Initialisierung
a = np.random.uniform(0, 1, (n, n))
i, j = np.indices((n, n))
i = i[..., np.newaxis, np.newaxis]
j = j[..., np.newaxis, np.newaxis]
|\mathbf{k}| = \text{np.arange(n).reshape(1, 1, n, 1)}
|1| = \text{np.arange(n).reshape(1, 1, 1, n)}
|dist = np.sqrt((i - k)**2 + (j - 1)**2)|
  distances = np.where(dist > 0, np.exp(-0.5 * dist**1.3), 0)
32
33
  # Flexible Schleifenstrukturen (z .B. magnetische Loops)
34
  loop_regions = np.zeros((n, n, n, n), dtype=bool)
35
  for i_idx in range(n):
36
      for j idx in range(n):
          for k_idx in range(n):
38
              for 1 idx in range(n):
39
                   if (abs(i_idx - k_idx) <= 1 and abs(j_idx -</pre>
40
     l_idx) <= 1) or (i_idx + j_idx == k_idx + l_idx):
                       loop_regions[i_idx, j_idx, k_idx, l_idx]
41
     = True
  distances = np.where(loop_regions, distances * 10,
     distances) # Starke Kopplung in Loops
  energy_events = []
44
45
  # Oszillator-Dynamik mit nichtlinearer Kopplung
  def coupled oscillators(t, y):
47
      a = y.reshape((n, n))
      a = np.round(a, decimals=1)
49
      dadt = np.zeros_like(a)
50
      F_{ext} = F_{strength} * (np.random.random((n, n)) - 0.5)
51
      dadt -= gamma * a
      phase_diff = a[..., np.newaxis, np.newaxis] -
     a.reshape(1, 1, n, n)
      # Nichtlineare Kopplung: sin^3 → stärkere Synchronisation
54
      coupling = np.sum(distances * (np.sin(phase_diff) ** 3),
     axis=(2, 3)
      dadt += coupling + F_ext
56
      return dadt.flatten()
58
59 # Simulation lösen
t_eval = np.linspace(0, t_max, t_eval_points)
  sol = solve_ivp(coupled_oscillators, [0, t_max],
     a.flatten(), t_eval=t_eval, method='RK45', rtol=1e-2)
```

```
a_time_series = sol.y.T.reshape(-1, n, n)
63
# Dynamischer Schwellenwert
65 max_energy = np.max(a_time_series**2)
threshold_sim = 0.05 * max_energy
67
  # Energieereignisse detektieren
68
  def detect_energy_events(a_old, a_new, threshold):
69
      energy old = a old**2
70
      energy_new = a_new**2
71
      delta_energy = energy_old - energy_new
      event_locations = (energy_old > threshold) &
73
     (delta_energy > 0)
      event indices = np.where(event locations)
74
      return [(i, j, delta_energy[i, j]) for i, j in
     zip(event_indices[0], event_indices[1])]
76
 total_energy_ts = np.zeros(len(t_eval))
77
  for step in range(1, len(t_eval)):
78
      a_old = a_time_series[step-1]
79
      a_new = a_time_series[step]
20
      events = detect_energy_events(a_old, a_new,
81
     threshold_sim)
      energy_events.extend(events)
82
      total_energy_ts[step] = sum(e for (_, _, e) in events)
83
85 # Räumliche Ereigniskarte
 event_map_sim = np.zeros((n, n))
86
 for i, j, e in energy_events:
87
      event_map_sim[i, j] += e
89
90 # Power-Law-Analyse (Simulation)
 event_energies_sim = [e for (_, _, e) in energy_events]
 alpha_sim = np.nan
92
  if len(event_energies_sim) > 10:
93
      log_bins = np.log_space(np.log_10(max(0.1,
94
     min(event energies sim))),
     np.log10(max(event_energies_sim)), 50)
      counts, bins = np.histogram(event_energies_sim,
95
     bins=log bins)
      bin_centers = (bins[:-1] + bins[1:]) / 2
96
      valid = (counts > 0) & (bin_centers > 0.1)
97
      if np.sum(valid) > 5:
98
          log counts = np.log10(counts[valid])
99
```

```
log_bins = np.log10(bin_centers[valid])
100
          slope, _, _, _, = linregress(log_bins, log_counts)
101
          alpha sim = -slope
  # ============
104
  # 2. ANALYSE DER ECHTEN DATEN (Mini-AIA)
  # ==============
106
  print("[] Analysiere echte AIA-Daten...")
108
109
  # Lade die lokale FITS-Datei
  try:
      with fits.open('aia_171_20240605_120000.fits') as hdul:
          data = hdul[0].data
  except FileNotFoundError:
114
      raise FileNotFoundError("FITS-Datei
      'aia_171_20240605_120000.fits' nicht gefunden. Bitte im
      selben Ordner ablegen.")
116
  data = np.nan_to_num(data)
  data = (data - data.min()) / (data.max() - data.min() + 1e-8)
119
# Residuen (für "Ereignisse")
from scipy.ndimage import gaussian_filter
smoothed = gaussian_filter(data, sigma=2)
residual = data - smoothed
threshold_real = np.mean(residual) + 2 * np.std(residual)
event_mask = residual > threshold_real
  event_energies_real = residual[event_mask]
127
# Power-Law (Real)
  alpha_real = np.nan
129
  if len(event energies real) > 10:
      log_bins = np.log_space(np.log_10(max(0.1,
     min(event_energies_real))),
      np.log10(max(event_energies_real)), 50)
      counts, bins = np.histogram(event energies real,
      bins=log_bins)
      bin_centers = (bins[:-1] + bins[1:]) / 2
133
      valid = (counts > 0) & (bin centers > 0.1)
134
      if np.sum(valid) > 5:
          log_counts = np.log10(counts[valid])
136
          log_bins = np.log10(bin_centers[valid])
          slope, _, _, _ = linregress(log_bins, log_counts)
138
```

```
alpha_real = -slope
139
140
  # =============
141
  # 3. ERGEBNISSE & BERICHT
142
  # ==============
143
  print("\n" + "="*50)
145
                                                       " )
  print("
               VALIDIERUNGSBERICHT (OPTIMIERT)
146
  print("="*50)
  print(f"Power-Law Exponent (Simulation): \alpha =
      {alpha sim:.2f}")
print(f"Power-Law Exponent (Realität):
     {alpha real:.2f}")
  delta alpha = abs(alpha sim - alpha real)
  print(f"Abweichung:
                                            \Delta \alpha =
      {delta alpha:.2f}")
  if delta alpha < 0.8 and alpha sim >= 1.8:
      print("D Die Simulation reproduziert realistische
154
     Nanoflare-Statistik!")
  elif alpha_sim >= 1.6:
      else:
157
      print("□ Überarbeitung empfohlen (z .B. noch stärkere
158
     Kopplung).")
159
  # Speichern des Berichts (UTF-8-sicher)
160
  timestamp = datetime.now().strftime('%Y-%m-%d %H:%M:%S')
  with open('sorona validation report.txt', 'w',
     encoding='utf-8') as f:
      f.write(f"Validierungsbericht\n")
163
      f.write(f"Erstellt: {timestamp}\n")
164
      f.write(f"\n")
      f.write(f"Power-Law \alpha (sim): {alpha_sim:.2f}\n")
      f.write(f"Power-Law α (real): {alpha real:.2f}\n")
167
      f.write(f"Abweichung \Delta\alpha: {delta_alpha:.2f}\n")
168
      f.write(f"\n")
      f.write("[ Simulation validiert!\n" if delta_alpha < 0.8</pre>
170
     and alpha_sim >= 1.8 else "[] Parameteranpassung
     empfohlen.\n")
  print("
    Bericht gespeichert:
     validation_report_optimized.txt")
173
```

```
# ==============
  # 4. VISUALISIERUNG (optional)
  # ===========
  plt.figure(figsize=(12, 8))
178
179
  plt.subplot(2, 3, 1)
180
  plt.plot(t_eval, total_energy_ts, 'b-', alpha=0.7)
181
  plt.title("Lichtkurve")
  plt.xlabel("Zeit")
  plt.ylabel("Emittierte Energie")
185
  plt.subplot(2, 3, 2)
186
  if event energies sim:
187
      plt.hist(event_energies_sim, bins=50, log=True,
188
      color='skyblue', alpha=0.7)
      plt.yscale('log')
189
      plt.xlabel("Energie")
190
      plt.ylabel("Häufigkeit")
191
      plt.title(f"Sim. Energie α(={alpha_sim:.2f})")
192
  plt.subplot(2, 3, 3)
194
  plt.imshow(event_map_sim, cmap='hot',
      interpolation='nearest')
  plt.colorbar()
196
  plt.title("Ereignis-Map (sim)")
198
  plt.subplot(2, 3, 4)
199
  with fits.open('aia_171_20240605_120000.fits') as hdul:
200
      real_data = hdul[0].data
  plt.imshow(real_data, cmap='afmhot', origin='lower')
  plt.colorbar()
203
  plt.title("Original (AIA 171 Å)")
204
  plt.subplot(2, 3, 5)
206
  event_map_real = np.zeros_like(real_data)
207
  event map real[residual > threshold real] =
      residual[residual > threshold_real]
  plt.imshow(event_map_real, cmap='hot')
2.09
  plt.colorbar()
210
  plt.title(f"Ereignisse (real, α={alpha_real:.2f})")
213 plt.subplot(2, 3, 6)
214 alphas = [alpha_sim, alpha_real]
```

```
labels = ['Simulation', 'Realität']
plt.bar(labels, alphas, color=['skyblue', 'orange'],
        edgecolor='black')
plt.ylabel('Power-Law Exponent α')
plt.title('Vergleich α')
plt.axhline(y=2.0, color='r', linestyle='--', label='α ≥ 2.0
        (kritisch)')
plt.legend()

plt.tight_layout()
plt.savefig('corona_validation_summary.png', dpi=150)
plt.show()
```

Listing B.18: Visualisierung Koronale Nanoflares

B.19 Koronale Nanoflares (Animation), (Abschn. 15)

```
# nanoflares soc animation.py
2 import numpy as np
import matplotlib.pyplot as plt
4 from PIL import Image
5 import io
6
8 # 1. Simulation gekoppelter Oszillatoren (SOC-Modell)
10 n = 10
_{11} N_steps = 120
gamma = 0.1
_{13} F strength = 1.0
14
15 # Initialisierung
a = np.random.uniform(0, 1, (n, n))
i, j = np.indices((n, n))
_{18} dist = np.sqrt((i[..., None, None] - i) ** 2 + (j[..., None,
     None] - j) ** 2)
_{19} distances = np.exp(-0.5 * dist ** 1.3)
20 distances[dist == 0] = 0
21
22 # Flexible Schleifen (magnetische Loops)
```

```
|loop_mask| = (np.abs(i[..., None, None] - i) <= 1) &
     (np.abs(i[..., None, None] - i) <= 1)
  distances = np.where(loop mask, distances * 8, distances)
26 # Speichere Frames
  frames = []
28
  for step in range(N_steps):
29
      # Externe Anregung
30
      F_{ext} = F_{strength} * (np.random.random((n, n)) - 0.5)
31
      # Nichtlineare Kopplung
33
      phase_diff = a[..., None, None] - a
34
      coupling = np.sum(distances * np.sin(phase diff) ** 3,
35
     axis=(2, 3)
36
      # Dynamik
37
      dadt = -gamma * a + coupling + F_ext
38
      a += dadt * 0.1
39
40
      # Energie und Ereignisse
41
      energy = a ** 2
42
      event_map = np.zeros_like(energy)
43
      if step > 0:
44
          delta = energy_old - energy
45
          threshold = 0.05 * np.max(energy_old)
46
          events = (energy_old > threshold) & (delta > 0)
47
          event_map[events] = delta[events]
      energy_old = energy.copy()
49
50
51
      # 2. Plot Frame
      fig, ax = plt.subplots(figsize=(8, 8), dpi=120)
54
      ax.set_aspect('equal')
      ax.axis('off')
56
      # Pulsierende Nanoflares (Ereignisse)
58
      cmap = plt.cm.hot
59
      norm = plt.Normalize(vmin=0,
     vmax=np.percentile(event_map, 99) or 1)
      for i_row in range(n):
61
          for j_col in range(n):
62
               val = event_map[i_row, j_col]
63
```

```
if val > 0:
64
                   size = 50 + 500 * norm(val)
65
                   color = cmap(norm(val))
                   ax.scatter(j_col, i_row, s=size,
67
     color=color, alpha=0.8)
68
      # Gitterlinien (optional, dezent)
      ax.set_xlim(-0.5, n - 0.5)
70
      ax.set_ylim(-0.5, n - 0.5)
71
      ax.set xticks([])
      ax.set_yticks([])
73
74
      # Titel (14 pt)
75
      ax.text(0.5, 0.95, "Koronale Nanoflares:
76
     Selbstorganisierte Kritikalität",
               fontsize=14, fontweight='bold', color='white',
77
     ha='center', va='top',
               transform=ax.transAxes,
78
     bbox=dict(facecolor='black', alpha=0.7, pad=8))
79
      # Untertitel (12 pt)
80
      ax.text(0.5, 0.89, "Visualisierung: Klaus H. Dieckmann,
81
     2025".
               fontsize=12, color='lightgray', ha='center',
82
     va='top',
               transform=ax.transAxes.
83
     bbox=dict(facecolor='black', alpha=0.6, pad=6))
84
      # Dynamischer Erklärtext (18 pt)
85
      phase = step / N_steps
      if phase < 0.33:
87
          txt = "Phase 1: Zufällige Anregung durch externes
88
     Rauschen."
      elif phase < 0.66:</pre>
89
          txt = "Phase 2: Nichtlineare Kopplung führt zu
90
     Synchronisation."
      else:
91
          txt = "Phase 3: Nanoflares entstehen als
92
     selbstähnliche Avalanches\nα( ≈ 1.3)."
93
      ax.text(0.02, 0.04, txt,
94
               fontsize=12, fontweight='bold', color='white',
95
     ha='left', va='bottom',
```

```
transform=ax.transAxes,
96
      bbox=dict(facecolor='black', alpha=0.8, pad=8))
97
       # Speichern
98
       buf = io.BytesIO()
99
       plt.savefig(buf, format='png', bbox_inches='tight',
100
      facecolor='black', pad_inches=0.2)
       buf.seek(0)
       frames.append(Image.open(buf))
       plt.close(fig)
104
  # 3. GIF speichern
106
  output = "nanoflares soc animation.gif"
108
  frames[0].save(
109
       output,
       save all=True,
       append_images=frames[1:],
       duration=150, # ~6.7 FPS
113
       loop=0
114
115
116
print(f" GIF gespeichert als: {output}")
118 print("
             Zeigt SOC, Power-Law-Avalanches.")
```

Listing B.19: Visualisierung Koronale Nanoflares (Animation)

B.20 CMD-Analyse, (Abschn. 12.3.2)

```
# cmd_analyse_neu.py
import numpy as np
import matplotlib.pyplot as plt
from scipy.fft import fft, fftfreq
from scipy import stats
import astropy.io.fits as fits
import pandas as pd
import os

class CMBAnalyzer:
    def __init__(self):
        self.cmb_map = None
    self.mask = None
```

```
self.nside = None
14
          self.ring data = {}
15
      def load_commander_data(self, filename):
17
          """Lädt die Commander CMB-Datei"""
18
          print(f"Loading data from {filename}...")
19
          try:
21
               with fits.open(filename) as hdul:
                   # Extrahiere die I STOKES Spalte (Temperatur)
                   if len(hdul) > 1 and hasattr(hdul[1],
2.4
     'data'):
                       data_table = hdul[1].data
                       if 'I STOKES' in data table.dtype.names:
                            self.cmb_map = data_table['I_STOKES']
                           print(f"Successfully loaded I STOKES
28
     data")
                       else:
2.9
                           print(f"Available columns:
30
     {data_table.dtype.names}")
                           return False
                   # Erstelle eine einfache Maske (alle Pixel
33
     gültig)
                   self.mask = np.ones_like(self.cmb_map,
34
     dtype=bool)
35
                   # Bestimme NSIDE aus der Array-Größe
36
                   npix = len(self.cmb map)
                   self.nside = int(np.sqrt(npix / 12))
38
                   print(f"Loaded CMB map with
39
     NSIDE={self.nside}, NPIX={npix}")
                   print(f"Temperature range:
40
     {np.min(self.cmb_map):.3f} to {np.max(self.cmb_map):.3f}
     μΚ")
41
                   return True
42
43
          except Exception as e:
44
               print(f"Error loading FITS file: {e}")
45
               return False
46
47
      def get_pixel_angles_precise(self, npix, nside):
48
          """Präzisere Berechnung von Healpix-Pixelwinkeln"""
49
```

```
# Bessere Approximation der Healpix-Geometrie
50
           theta angles = np.zeros(npix)
51
           phi angles = np.zeros(npix)
           # Anzahl Pixel pro Ring
54
           pixels per ring = 4 * nside
56
           for ipix in range(npix):
               # Ringnummer
58
               ring = ipix // pixels_per_ring
59
               pixel in ring = ipix % pixels per ring
60
61
               # Theta-Berechnung basierend auf Healpix-Schema
               if ring < nside - 1:</pre>
63
                   # Nordpol-Region
64
                   theta = np.arccos(1 - (ring + 0.5)**2 / (3 *
65
     nside**2))
               elif ring < 3 * nside:</pre>
66
                   # Äquator-Region
67
                   theta = np.arccos((2 * nside - ring - 0.5) /
68
      (2 * nside))
               else:
69
                   # Südpol-Region
70
                   theta = np.arccos(-1 + (4 * nside - ring -
71
     0.5)**2 / (3 * nside**2))
               # Phi-Berechnung
73
               phi = 2 * np.pi * (pixel_in_ring + 0.5) /
74
      pixels_per_ring
               theta_angles[ipix] = theta
76
               phi_angles[ipix] = phi
77
78
           return theta_angles, phi_angles
80
      def extract_ring_data(self, theta_deg=90,
81
     delta theta=1.0):
82
           Extrahiert Daten entlang eines Rings mit gegebenem
83
     Winkel theta
84
           npix = len(self.cmb_map)
85
           nside = self.nside
86
87
```

```
print(f"Extracting ring at theta={theta_deg}°...")
22
29
           # Berechne Winkel für alle Pixel
90
           theta_angles, phi_angles =
91
      self.get_pixel_angles_precise(npix, nside)
           theta angles deg = np.degrees(theta angles)
92
93
           # Finde Pixel im gewünschten Ring
94
           ring_mask = (abs(theta_angles_deg - theta_deg) <</pre>
95
      delta theta)
           ring indices = np.where(ring mask)[0]
96
97
           if len(ring_indices) == 0:
98
               print(f"No pixels found for ring at
99
      theta={theta_deq}°")
               print(f"Available theta range:
100
      {np.min(theta_angles_deg):.1f}° to
      {np.max(theta_angles_deg):.1f}°")
               return None, None
102
           print(f"Found {len(ring_indices)} pixels in ring")
104
           # Extrahiere Temperaturwerte
           temperatures = self.cmb_map[ring_indices]
106
           phi_ring = phi_angles[ring_indices]
107
108
           # Sortiere nach phi
109
           sort_idx = np.argsort(phi_ring)
           phi sorted = phi ring[sort idx]
           temp_sorted = temperatures[sort_idx]
           self.ring_data[theta_deg] = {
114
               'phi': phi sorted,
               'temperature': temp_sorted,
                'indices': ring_indices[sort_idx]
           }
118
           return phi_sorted, temp_sorted
121
      def calculate curvature(self, temperatures):
           """Berechnet die Krümmung entlang des Rings"""
           if len(temperatures) < 3:</pre>
124
               return np.zeros_like(temperatures)
126
```

```
# Erste Ableitung
           dT dphi = np.gradient(temperatures)
128
           # Zweite Ableitung (Krümmung)
130
           curvature = np.gradient(dT_dphi)
131
           return curvature
134
       def analyze_ring_spectrum(self, theta_deg=90):
135
           """Analysiert das Spektrum eines Rings"""
136
           if theta deg not in self.ring data:
               phi, temp = self.extract_ring_data(theta_deg)
138
               if phi is None:
139
                    return {}, None, None
140
141
           data = self.ring_data[theta_deg]
           temperatures = data['temperature']
143
           if len(temperatures) < 10:</pre>
145
               print(f"Not enough data points
146
      ({len(temperatures)}) for spectral analysis")
               return {}, None, None
147
148
           # Fntferne Mittelwert und Trend
149
           temperatures_demeaned = temperatures -
150
      np.mean(temperatures)
           # FFT Analyse
           n = len(temperatures demeaned)
           fft_result = fft(temperatures_demeaned)
154
           frequencies = fftfreq(n)
156
           # Power Spectrum
           power_spectrum = np.abs(fft_result)**2 / n
           # Extrahiere Moden-Amplituden
160
           modes = \{\}
           max\_mode = min(20, n//2)
           for i in range(1, max_mode):
163
               modes[i] = power spectrum[i]
               modes[-i] = power_spectrum[-i]
166
           return modes, frequencies, power_spectrum
167
168
```

```
def statistical_significance(self, observed_power,
169
      theta deg=60, n simulations=50):
           """Berechnet die statistische Signifikanz"""
           if theta_deq not in self.ring_data:
171
               return 0, 1.0, np.array([0])
           data = self.ring data[theta deg]['temperature']
174
           data_variance = np.var(data)
           simulated powers = []
           for in range(n simulations):
178
               # Simuliere Gaußsches Rauschen
179
               simulated_data = np.random.normal(0,
180
      np.sgrt(data variance), len(data))
181
               # FFT Analyse
182
               fft_sim = fft(simulated_data)
183
               power sim = np.abs(fft sim)**2 /
184
      len(simulated_data)
185
               if len(power_sim) > 8:
186
                    simulated powers.append(power sim[8])
187
               else:
188
                    simulated_powers.append(0)
189
190
           simulated_powers = np.array(simulated_powers)
192
           # Signifikanz berechnen
           mean sim = np.mean(simulated powers)
194
           std_sim = np.std(simulated_powers)
195
           z_score = (observed_power - mean_sim) / std_sim if
196
      std sim > 0 else 0
           p value = stats.norm.sf(abs(z score))
           return z_score, p_value, simulated_powers
199
200
       def full_analysis(self, theta_angles=[30, 60, 90, 120,
      150]):
           """Durchführung der Analyse"""
2.02
           results = {}
204
           for theta in theta_angles:
               print(f"\nAnalyzing ring at theta = {theta}°")
206
```

```
# Extrahiere und analysiere Ring
208
               modes, frequencies, power spectrum =
209
      self.analyze ring spectrum(theta)
               if not modes:
211
                    print(f"Skipping theta={theta}° - no data")
                    continue
214
               # Berechne Krümmung
215
               curvature =
      self.calculate curvature(self.ring data[theta]
               ['temperature'])
218
               results[theta] = {
                    'modes': modes,
                    'n8_power': modes.get(8, 0),
221
                    'curvature': curvature,
                    'power spectrum': power spectrum
               }
224
               # Zeige die wichtigsten Moden
               for mode in [2, 4, 6, 8, 10]:
227
                    if mode in modes:
228
                        print(f" n={mode}: {modes[mode]:.4e}")
230
           return results
       def plot_results(self, results):
           """Plottet die Ergebnisse"""
234
           if not results:
               print("No results to plot")
236
               return
238
           fig, axes = plt.subplots(2, 2, figsize=(12, 10))
240
           # Plot 1: n=8 Power für verschiedene Ringe
241
           thetas = list(results.keys())
2.42
           n8_powers = [results[theta]['n8_power'] for theta in
243
      thetas]
           axes[0, 0].plot(thetas, n8 powers, 's-',
244
      color='red', linewidth=2, markersize=8)
           axes[0, 0].set_xlabel('Ring Angle θ (degrees)')
2.45
           axes[0, 0].set_ylabel('n=8 Power')
246
```

```
axes[0, 0].set_title('n=8 Mode Power vs. Ring
247
      Position')
           axes[0, 0].grid(True)
248
249
           # Plot 2: Power Spectrum Vergleich
250
           for theta, result in results.items():
                modes = list(range(1, 16))
                powers = [result['modes'].get(m, 0) for m in
      modes ]
                axes[0, 1].plot(modes, powers, 'o-',
254
      label=f'\theta = \{theta\}^{\circ}', markersize=4)
           axes[0, 1].set_xlabel('Mode n')
256
           axes[0, 1].set ylabel('Power')
           axes[0, 1].set_title('Power Spectrum for Different
258
      Rings')
           axes[0, 1].legend()
           axes[0, 1].grid(True)
2.60
           axes[0, 1].set_yscale('log')
261
262
           # Plot 3: Temperaturprofil für ersten erfolgreichen
263
      Ring
           if results:
264
                first_theta = list(results.keys())[0]
265
                if first_theta in self.ring_data:
266
                    data = self.ring data[first theta]
                    axes[1, 0].plot(np.degrees(data['phi']),
268
      data['temperature'], 'b-', linewidth=1, alpha=0.7)
                    axes[1, 0].set xlabel('φ (degrees)')
269
                    axes[1, 0].set_ylabel('Temperature μ(K)')
270
                    axes[1, 0].set_title(f'Temperature at
      \theta={first_theta}°')
                    axes[1, 0].grid(True)
           # Plot 4: Krümmungsprofil
2.74
           if results and first_theta in results:
                data = self.ring data[first theta]
2.76
                axes[1, 1].plot(np.degrees(data['phi']),
277
      results[first_theta]['curvature'], 'r-', linewidth=1,
      alpha=0.7)
                axes[1, 1].set_xlabel('φ (degrees)')
278
                axes[1, 1].set_ylabel('Curvature')
                axes[1, 1].set_title(f'Curvature at
280
      \theta = \{first\_theta\}^{\circ}'\}
```

```
axes[1, 1].grid(True)
281
282
           plt.tight layout()
283
           plt.savefig('cmb_analysis_results.png', dpi=300,
284
      bbox inches='tight')
           plt.show()
285
2.86
  def main():
287
       """Hauptfunktion"""
288
       print("=== CMB 8-fold Symmetry Analysis ===")
289
2.90
       analyzer = CMBAnalyzer()
       filename = "COM CMB IQU-commander 2048 R3.00 full.fits"
292
293
       if not os.path.exists(filename):
294
           print(f"Error: File {filename} not found!")
           return
296
297
       # Daten laden
298
       if not analyzer.load_commander_data(filename):
299
           print("Failed to load data")
300
           return
301
302
       # Analyse durchführen mit verschiedenen Winkeln
303
       theta_angles = [30, 45, 60, 75, 90, 105, 120, 135, 150]
304
       results =
305
      analyzer.full_analysis(theta_angles=theta_angles)
306
       if not results:
307
           print("Analysis failed - no results from any ring")
308
           return
309
310
       # Verwende den ersten erfolgreichen Ring für Statistik
311
       first_theta = list(results.keys())[0]
       n8_power = results[first_theta]['n8_power']
313
       z_score, p_value, simulated_powers =
314
      analyzer.statistical significance(n8 power,
      theta_deg=first_theta)
315
       print(f"\n=== Results for \theta={first theta}° ===")
316
       print(f"n=8 power: {n8_power:.4e}")
       print(f"Z-score: {z_score:.3f}")
318
       print(f"p-value: {p_value:.6f}")
319
320
```

```
if z score > 3.0:
321
           print(" SIGNIFICANT DETECTION of n=8 symmetry! (z >
322
      3)")
       elif z score > 2.0:
323
           print("D Suggestive evidence for n=8 symmetry (z >
324
      2)")
       else:
325
           print(" No significant evidence for n=8 symmetry")
326
327
       # Ergebnisse speichern
328
       output data = {
329
           'theta_angles': list(results.keys()),
330
           'n8_powers': [results[theta]['n8_power'] for theta
331
      in results.keys()],
           'z_score': z_score,
332
           'p value': p value
       }
334
335
336
      pd.DataFrame(output_data).to_csv('cmb_analysis_results.csv',
      index=False)
       print("Results saved to cmb analysis results.csv")
337
338
       # Plotten
339
       analyzer.plot_results(results)
340
  if __name__ == "__main__":
342
       main()# cmd_analyse.py
343
  import numpy as np
344
  import matplotlib.pyplot as plt
346 from scipy.fft import fft, fftfreq
347 from scipy import stats
import astropy.io.fits as fits
  import pandas as pd
349
  import os
350
351
  class CMBAnalyzer:
352
       def __init__(self):
353
           self.cmb map = None
354
           self.mask = None
355
           self.nside = None
           self.ring_data = {}
357
358
       def load commander data(self, filename):
359
```

```
"""Lädt die Commander CMB-Datei"""
360
           print(f"Loading data from {filename}...")
361
362
           try:
363
                with fits.open(filename) as hdul:
364
                    # Extrahiere die I STOKES Spalte (Temperatur)
365
                    if len(hdul) > 1 and hasattr(hdul[1],
366
      'data'):
                        data table = hdul[1].data
367
                        if 'I STOKES' in data table.dtype.names:
368
                             self.cmb map = data table['I STOKES']
369
                             print(f"Successfully loaded I STOKES
370
      data")
                        else:
371
                             print(f"Available columns:
372
      {data_table.dtype.names}")
                             return False
373
374
                    # Erstelle eine einfache Maske (alle Pixel
375
      gültig)
                    self.mask = np.ones_like(self.cmb_map,
376
      dtype=bool)
377
                    # Bestimme NSIDE aus der Array-Größe
378
                    npix = len(self.cmb_map)
379
                    self.nside = int(np.sqrt(npix / 12))
380
                    print(f"Loaded CMB map with
381
      NSIDE={self.nside}, NPIX={npix}")
                    print(f"Temperature range:
382
      {np.min(self.cmb_map):.3f} to {np.max(self.cmb_map):.3f}
      μΚ")
383
                    return True
384
385
           except Exception as e:
386
                print(f"Error loading FITS file: {e}")
387
                return False
388
389
       def get_pixel_angles_precise(self, npix, nside):
390
           """Präzisere Berechnung von Healpix-Pixelwinkeln"""
           # Bessere Approximation der Healpix-Geometrie
392
           theta_angles = np.zeros(npix)
393
           phi_angles = np.zeros(npix)
394
395
```

```
# Anzahl Pixel pro Ring
396
           pixels per_ring = 4 * nside
397
398
           for ipix in range(npix):
399
                # Ringnummer
400
                ring = ipix // pixels per ring
401
                pixel in ring = ipix % pixels per ring
402
403
                # Theta-Berechnung basierend auf Healpix-Schema
404
                if ring < nside - 1:</pre>
405
                     # Nordpol-Region
406
                     theta = np.arccos(1 - (ring + 0.5)**2 / (3 *
407
      nside**2))
                elif ring < 3 * nside:</pre>
408
                     # Äquator-Region
409
                     theta = np.arccos((2 * nside - ring - 0.5) /
410
      (2 * nside))
                else:
411
                     # Südpol-Region
412
                    theta = np.arccos(-1 + (4 * nside - ring -
413
      0.5)**2 / (3 * nside**2))
414
                # Phi-Berechnung
415
                phi = 2 * np.pi * (pixel_in_ring + 0.5) /
416
      pixels_per_ring
417
                theta_angles[ipix] = theta
418
                phi_angles[ipix] = phi
419
420
           return theta_angles, phi_angles
421
42.2
       def extract_ring_data(self, theta_deg=90,
423
      delta theta=1.0):
424
           Extrahiert Daten entlang eines Rings mit gegebenem
425
      Winkel theta
            n n n
426
           npix = len(self.cmb_map)
427
           nside = self.nside
428
429
           print(f"Extracting ring at theta={theta_deg}°...")
430
431
           # Berechne Winkel für alle Pixel
432
```

```
theta_angles, phi_angles =
433
      self.get pixel angles precise(npix, nside)
           theta angles deg = np.degrees(theta angles)
434
435
           # Finde Pixel im gewünschten Ring
436
           ring mask = (abs(theta angles deg - theta deg) <
437
      delta theta)
           ring_indices = np.where(ring_mask)[0]
438
439
           if len(ring indices) == 0:
440
                print(f"No pixels found for ring at
441
      theta={theta deg}°")
                print(f"Available theta range:
442
      {np.min(theta_angles_deg):.1f}° to
      {np.max(theta_angles_deg):.1f}°")
                return None, None
443
444
           print(f"Found {len(ring_indices)} pixels in ring")
445
446
           # Extrahiere Temperaturwerte
447
           temperatures = self.cmb_map[ring_indices]
448
           phi ring = phi angles[ring indices]
449
450
           # Sortiere nach phi
451
           sort_idx = np.argsort(phi_ring)
452
           phi sorted = phi ring[sort idx]
           temp_sorted = temperatures[sort_idx]
454
455
           self.ring data[theta deg] = {
456
                'phi': phi_sorted,
457
                'temperature': temp_sorted,
458
                'indices': ring_indices[sort_idx]
459
           }
461
           return phi_sorted, temp_sorted
462
463
       def calculate curvature(self, temperatures):
464
           """Berechnet die Krümmung entlang des Rings"""
465
           if len(temperatures) < 3:</pre>
466
                return np.zeros like(temperatures)
468
           # Erste Ableitung
469
           dT_dphi = np.gradient(temperatures)
470
471
```

```
# Zweite Ableitung (Krümmung)
472
           curvature = np.gradient(dT dphi)
473
474
           return curvature
475
476
       def analyze ring spectrum(self, theta deg=90):
477
           """Analysiert das Spektrum eines Rings"""
478
           if theta_deq not in self.ring_data:
479
                phi, temp = self.extract_ring_data(theta_deg)
480
                if phi is None:
481
                    return {}, None, None
482
483
           data = self.ring_data[theta_deg]
484
           temperatures = data['temperature']
485
486
           if len(temperatures) < 10:</pre>
487
                print(f"Not enough data points
488
      ({len(temperatures)}) for spectral analysis")
                return {}, None, None
489
490
           # Entferne Mittelwert und Trend
491
           temperatures demeaned = temperatures -
492
      np.mean(temperatures)
493
           # FFT Analyse
494
           n = len(temperatures demeaned)
           fft result = fft(temperatures demeaned)
496
           frequencies = fftfreq(n)
497
498
           # Power Spectrum
499
           power_spectrum = np.abs(fft_result)**2 / n
500
501
           # Extrahiere Moden-Amplituden
           modes = \{\}
503
           max\_mode = min(20, n//2)
504
           for i in range(1, max_mode):
505
                modes[i] = power_spectrum[i]
506
                modes[-i] = power_spectrum[-i]
507
508
           return modes, frequencies, power_spectrum
       def statistical_significance(self, observed_power,
511
      theta_deg=60, n_simulations=50):
           """Berechnet die statistische Signifikanz"""
```

```
if theta_deg not in self.ring_data:
513
               return 0, 1.0, np.array([0])
514
           data = self.ring_data[theta_deq]['temperature']
           data_variance = np.var(data)
517
           simulated powers = []
518
           for _ in range(n_simulations):
               # Simuliere Gaußsches Rauschen
521
               simulated data = np.random.normal(0,
      np.sgrt(data variance), len(data))
523
               # FFT Analyse
524
               fft sim = fft(simulated_data)
               power_sim = np.abs(fft_sim)**2 /
      len(simulated data)
527
               if len(power sim) > 8:
528
                    simulated_powers.append(power_sim[8])
529
               else:
530
                    simulated_powers.append(0)
           simulated_powers = np.array(simulated_powers)
534
           # Signifikanz berechnen
           mean sim = np.mean(simulated powers)
           std sim = np.std(simulated powers)
537
           z_score = (observed_power - mean_sim) / std_sim if
      std sim > 0 else 0
           p_value = stats.norm.sf(abs(z_score))
540
           return z_score, p_value, simulated_powers
541
542
       def full_analysis(self, theta_angles=[30, 60, 90, 120,
543
      150]):
           """Durchführung der Analyse"""
544
           results = {}
545
546
           for theta in theta angles:
547
               print(f"\nAnalyzing ring at theta = {theta}°")
548
549
               # Extrahiere und analysiere Ring
550
               modes, frequencies, power_spectrum =
551
      self.analyze ring spectrum(theta)
```

```
if not modes:
                    print(f"Skipping theta={theta}° - no data")
554
556
                # Berechne Krümmung
                curvature =
558
      self.calculate_curvature(self.ring_data[theta]
                ['temperature'])
559
560
                results[theta] = {
561
                    'modes': modes,
562
                    'n8_power': modes.get(8, 0),
563
                    'curvature': curvature,
564
                    'power_spectrum': power_spectrum
565
                }
566
567
               # Zeige die wichtigsten Moden
568
                for mode in [2, 4, 6, 8, 10]:
569
                    if mode in modes:
570
                        print(f" n={mode}: {modes[mode]:.4e}")
           return results
573
574
       def plot_results(self, results):
           """Plottet die Ergebnisse"""
           if not results:
577
                print("No results to plot")
578
                return
580
           fig, axes = plt.subplots(2, 2, figsize=(12, 10))
581
582
           # Plot 1: n=8 Power für verschiedene Ringe
583
           thetas = list(results.keys())
584
           n8_powers = [results[theta]['n8_power'] for theta in
585
      thetas1
           axes[0, 0].plot(thetas, n8_powers, 's-',
586
      color='red', linewidth=2, markersize=8)
           axes[0, 0].set_xlabel('Ring Angle θ (degrees)')
587
           axes[0, 0].set ylabel('n=8 Power')
588
           axes[0, 0].set_title('n=8 Mode Power vs. Ring
589
      Position')
           axes[0, 0].grid(True)
590
591
```

```
# Plot 2: Power Spectrum Vergleich
592
           for theta, result in results.items():
593
                modes = list(range(1, 16))
594
                powers = [result['modes'].get(m, 0) for m in
595
      modes ]
                axes[0, 1].plot(modes, powers, 'o-',
596
      label=f'\theta = \{theta\}^{\circ'}, markersize=4)
597
           axes[0, 1].set xlabel('Mode n')
           axes[0, 1].set_ylabel('Power')
599
           axes[0, 1].set title('Power Spectrum for Different
600
      Rings')
           axes[0, 1].legend()
601
           axes[0, 1].grid(True)
           axes[0, 1].set_yscale('log')
603
           # Plot 3: Temperaturprofil für ersten erfolgreichen
605
      Ring
           if results:
606
                first theta = list(results.keys())[0]
607
                if first_theta in self.ring_data:
                    data = self.ring data[first theta]
609
                    axes[1, 0].plot(np.degrees(data['phi']),
610
      data['temperature'], 'b-', linewidth=1, alpha=0.7)
                    axes[1, 0].set_xlabel('φ (degrees)')
611
                    axes[1, 0].set ylabel('Temperature μ(K)')
612
                    axes[1, 0].set title(f'Temperature at
613
      \theta={first_theta}°')
                    axes[1, 0].grid(True)
614
615
           # Plot 4: Krümmungsprofil
616
           if results and first_theta in results:
617
                data = self.ring data[first theta]
                axes[1, 1].plot(np.degrees(data['phi']),
      results[first_theta]['curvature'], 'r-', linewidth=1,
      alpha=0.7)
                axes[1, 1].set_xlabel('φ (degrees)')
620
                axes[1, 1].set_ylabel('Curvature')
                axes[1, 1].set_title(f'Curvature at
622
      \theta={first theta}°')
                axes[1, 1].grid(True)
623
624
           plt.tight_layout()
625
```

```
plt.savefig('cmb_analysis_results.png', dpi=300,
626
      bbox inches='tight')
           plt.show()
628
  def main():
629
       """Hauptfunktion"""
630
       print("=== CMB 8-fold Symmetry Analysis ===")
631
632
       analyzer = CMBAnalyzer()
633
       filename = "COM CMB IQU-commander 2048 R3.00 full.fits"
634
635
       if not os.path.exists(filename):
636
           print(f"Error: File {filename} not found!")
637
           return
638
639
       # Daten laden
640
       if not analyzer.load_commander_data(filename):
641
           print("Failed to load data")
           return
643
644
       # Analyse durchführen mit verschiedenen Winkeln
       theta angles = [30, 45, 60, 75, 90, 105, 120, 135, 150]
646
       results =
647
      analyzer.full_analysis(theta_angles=theta_angles)
648
       if not results:
649
           print("Analysis failed - no results from any ring")
650
           return
652
       # Verwende den ersten erfolgreichen Ring für Statistik
653
       first_theta = list(results.keys())[0]
654
       n8_power = results[first_theta]['n8_power']
655
       z score, p value, simulated powers =
656
      analyzer.statistical_significance(n8_power,
      theta_deg=first_theta)
657
       print(f"\n=== Results for \theta={first theta}° ===")
658
       print(f"n=8 power: {n8_power:.4e}")
       print(f"Z-score: {z score:.3f}")
660
       print(f"p-value: {p value:.6f}")
       if z_score > 3.0:
           print("D SIGNIFICANT DETECTION of n=8 symmetry! (z >
664
      3)")
```

```
elif z score > 2.0:
665
           print("D Suggestive evidence for n=8 symmetry (z >
666
      2)")
       else:
667
           print(" No significant evidence for n=8 symmetry")
668
       # Ergebnisse speichern
670
       output_data = {
671
           'theta angles': list(results.keys()),
672
           'n8 powers': [results[theta]['n8 power'] for theta
673
      in results.keys()],
           'z score': z score,
674
           'p_value': p_value
675
       }
676
677
      pd.DataFrame(output_data).to_csv('cmb_analysis_results.csv'
      index=False)
       print("Results saved to cmb_analysis_results.csv")
679
680
       # Plotten
       analyzer.plot results(results)
682
683
  if name == " main ":
684
       main()
685
```

Listing B.20: Visualisierung

B.21 Zyklische Modulation im GW, (Kap. 10.1)

```
# gw zyklische modulation.py
2 import numpy as np
import matplotlib.pyplot as plt
4 from scipy.fft import fft, fftfreq
 # Parameter für die Simulation
num points = 10000 # Anzahl der Zeitpunkte
_{8} t max = 100.0
                    # Maximale Zeit (s)
                    # Frequenz der zyklischen Modulation (Hz)
9 mod_freq = 0.05
                    # Amplitude der Modulation
_{10} mod amp = 0.5
                     # 8-fache Symmetrie
_{11} mode n = 8
12 strain amplitude = 1e-21 # Typische Amplitudeudarstellung
     des GW-Hintergrunds
```

```
freq_slope = -2/3 # Frequenzspektrum des GW-Hintergrunds
     (f^{(-2/3)})
14
# Zeitachse generieren
16 t = np.linspace(0, t_max, num_points)
|dt = t[1] - t[0]
18
<sup>19</sup> # Frequenzabhängiges Rauschen generieren (f^(-2/3) Spektrum)
20 freqs = fftfreq(num points, dt)
21 freqs[0] = 1e-10 # Vermeide Division durch 0
22 amplitudes = strain amplitude * np.abs(fregs) ** freg slope
phases = np.random.uniform(0, 2 * np.pi, num_points)
gw_background = np.real(np.fft.ifft(amplitudes * np.exp(1j *
     phases)))
 # Zyklische Modulation mit n=8-Mode
 modulation = 1 + mod_amp * np.cos(mode_n * 2 * np.pi *
     mod freq * t)
 modulated_qw = qw_background * modulation
29
# Plot des modulierten Signals
gal plt.figure(figsize=(12, 6))
plt.plot(t, modulated_gw, label='Modulierter GW-Hintergrund')
plt.plot(t, modulation * strain_amplitude * 5, '--',
     label='Modulationsfunktion (skaliert)', alpha=0.7)
34|plt.title('Simulation einer zyklischen Modulation im
     GW-Hintergrund')
 plt.xlabel('Zeit (s)')
gel plt.ylabel('Strain-Amplitude')
37 plt.legend()
plt.grid(True)
plt.savefig('gw_modulation_strain_amplitude.png')
40 plt.show()
41
42 # Fourier-Analyse
_{43} N = len(t)
44 yf = fft(modulated gw)
|xf| = fftfreq(N, dt)
power = np.abs(yf)**2 / N
47
48 # Leistung der n=8-Mode finden
49 target_freq = mode_n * mod_freq
idx = np.argmin(np.abs(xf - target_freq))
51 n8 power = power[idx]
```

```
# Power-Spektrum plotten
plt.figure(figsize=(12, 6))
ss|plt.loglog(xf[:N//2], power[:N//2], label='Power-Spektrum')
plt.axvline(target_freq, color='r', linestyle='--',
     label=f'n=8-Mode ({target freg:.3f} Hz)')
 plt.title('Power-Spektrum des modulierten GW-Hintergrunds')
plt.xlabel('Frequenz (Hz)')
59 plt.ylabel('Power')
60 plt.legend()
61 plt.grid(True)
62 plt.savefig('qw_modulation_power_spectrum.png')
63 plt.show()
64 plt.close("all")
65
66 # Statistische Analyse
mean_power = np.mean(power[:N//2])
std power = np.std(power[:N//2])
69 z_score = (n8_power - mean_power) / std_power
print(f"Z-Score der n=8-Mode: {z score:.3f}")
print(f"Leistung der n=8-Mode: {n8_power:.3e}")
```

Listing B.21: Visualisierung zyklische Modulation im GW

B.22 Doppelpendel mit geometrischer Resonanz, (Abschn. 2.1)

```
_{14} | q = 9.81
_{15} t max = 20.0
_{16} dt = 0.01
t = np.arange(0, t_max, dt)
18
19
  # Doppelpendel-Gleichung
20
  def double_pendulum(state, t, m1, m2, l1, l2, g):
2.2
      theta1, omega1, theta2, omega2 = state
23
      dtheta = theta1 - theta2
2.4
      c, s = np.cos(dtheta), np.sin(dtheta)
25
26
      denom = 2 * m1 + m2 - m2 * c**2
      if abs(denom) < 1e-10:</pre>
28
           denom = np.sign(denom) * 1e-10
2.9
30
      dtheta1 dt = omega1
      dtheta2_dt = omega2
32
33
      domega1_dt = (
34
           -g * (2*m1 + m2) * np.sin(theta1)
35
           - m2 * q * np.sin(theta1 - 2*theta2)
36
           - 2 * s * m2 * (omega2**2 * 12 + omega1**2 * 11 * c)
37
      ) / (l1 * denom)
38
39
      domega2_dt = (
40
           2 * s * (
41
               omega1**2 * 11 * (m1 + m2)
42
               + q * (m1 + m2) * np.cos(theta1)
               + omega2**2 * 12 * m2 * c
44
45
      ) / (12 * denom)
46
47
      return [dtheta1_dt, domega1_dt, dtheta2_dt, domega2_dt]
48
49
50
  # Lyapunov-Exponent
51
52
  def lyapunov_exponent(state0, t, perturb=1e-8):
      sol = odeint(double_pendulum, state0, t, args=(m1, m2,
54
     11, 12, g))
      state0_pert = state0 + np.array([perturb, 0, perturb, 0])
```

```
sol_pert = odeint(double_pendulum, state0_pert, t,
56
     args=(m1, m2, 11, 12, g)
      diff = np.linalq.norm(sol - sol pert, axis=1)
      diff = np.maximum(diff, 1e-16)
58
      lyap = np.polyfit(t, np.log(diff), 1)[0]
59
      return lyap, sol
62
  # Geometrische Krümmung κ(t)
63
   -----
64
  def compute curvature(theta1, theta2, t):
65
      f = np.sin(theta1) + np.sin(theta2)
66
      df_dt = np.gradient(f, t)
67
      d2f dt2 = np.gradient(df dt, t)
      kappa = np.abs(d2f_dt2) / (1 + df_dt**2 + 1e-8)**1.5
69
      return kappa
70
71
72
  # Zeitliche Alignierung (zentriert)
73
74
  def align_curves(curves, ref_idx=0):
      ref = curves[ref_idx]
76
      aligned = []
77
      for curve in curves:
78
          corr = correlate(curve - np.mean(curve), ref -
79
     np.mean(ref), mode='full')
          lag = np.argmax(corr) - len(ref) + 1 # zentrierte
80
     Lag-Berechnung
          if lag > 0:
81
              aligned_curve = np.concatenate([np.full(lag,
82
     curve[0]), curve[:-lag]])
          elif lag < 0:</pre>
83
              aligned_curve = np.concatenate([curve[-lag:],
84
     np.full(-lag, curve[-1])])
          else:
85
              aligned_curve = curve.copy()
86
          aligned.append(aligned curve)
87
      return np.array(aligned)
89
90
  # Anfangsbedingungen: alle
91
92
  initial_conditions_all = [
93
                                            # IC 0
      [np.pi/2, 0, np.pi/3, 0],
94
```

```
[np.pi/2 + 0.1, 0, np.pi/3, 0],
                                            # IC 1
95
       [np.pi/2, 0, np.pi/3 + 0.1, 0],
                                            # IC 2
96
       [np.pi/2 - 0.1, 0.05, np.pi/3, 0],
                                            # IC 3
97
       [1.0, 0, 1.0, 0],
                                            # IC 4
98
                                           # IC 5: chaotisch
       [2.0, 0, 1.5, 0],
99
       [np.pi - 0.1, 0, np.pi - 0.1, 0], # IC 6: fast
100
      invertiert
  ]
101
  # 1. ROBUSTHEITSANALYSE: alle ICs
104
  print("D Robustheitsanalyse: alle 7 Anfangsbedingungen")
  results all = []
  for i, ic in enumerate(initial_conditions_all):
108
      lyap, sol = lyapunov_exponent(np.array(ic), t)
109
      theta1, theta2 = sol[:, 0], sol[:, 2]
      kappa = compute curvature(theta1, theta2, t)
111
      S = np.sum((1.0 - kappa)**2 * dt)
      results_all.append({'idx': i, 'lyap': lyap, 'kappa':
113
      kappa, 'S': S})
114
# Klassifikation
threshold = 0.3
  regular_indices = [i for i, r in enumerate(results_all) if
117
      r['lyap'] < threshold]
  chaotic_indices = [i for i, r in enumerate(results_all) if
      r['lyap'] >= threshold]
  print(f" Regular: {regular indices}, Chaotisch:
      {chaotic_indices}")
  # Alignierung aller
121
  kappas all = [r['kappa'] for r in results all]
  aligned_all = align_curves(kappas_all)
  kappa_avg_all = np.mean(aligned_all, axis=0)
124
126
  # 2. FOKUSSIERT: nur reguläre ICs
127
print("\On Fokussierte Analyse: nur reguläre Trajektorien")
  initial_conditions_req = [initial_conditions_all[i] for i in
      regular indices]
results_req = []
for i, ic in enumerate(initial conditions reg):
```

```
lyap, sol = lyapunov_exponent(np.array(ic), t)
133
      theta1, theta2 = sol[:, 0], sol[:, 2]
134
      kappa = compute curvature(theta1, theta2, t)
      results_req.append({'kappa': kappa})
136
  kappas reg = [r['kappa'] for r in results reg]
  aligned_reg = align_curves(kappas_reg)
139
  kappa_avq_req = np.mean(aligned_req, axis=0)
140
141
# Universelle Resonanzen (aus regulärer Analyse)
  peaks_reg, _ = find_peaks(kappa_avg_reg,
     height=np.percentile(kappa_avg_reg, 95), distance=200)
  t_peaks = t[peaks_reg]
145
# Schwebungshypothese: Korrelation
| f1, f2 = 2.8, 2.1 
|\cos\pi(\cdot 0.7 \cdot t)|
  correlation_r = np.corrcoef(kappa_avg_req, beat_envelope)[0,
     1]
  print(f"  Korrelation mit Schwebungshüllkurve: r =
     {correlation r:.3f}")
152 # ----
  # PLOTS FÜR LATEX
153
154
156 # Plot A: S vs. Lyapunov (alle ICs)
plt.figure(figsize=(5, 4))
158 lyaps = [r['lyap'] for r in results_all]
159 S_vals = [r['S'] for r in results_all]
colors = ['green' if i in regular_indices else 'red' for i
     in range(len(lyaps))]
plt.scatter(lyaps, S_vals, c=colors, s=60, edgecolor='k')
  for i, (1, s) in enumerate(zip(lyaps, S_vals)):
162
      plt.text(l, s, f' {i}', fontsize=8)
163
plt.xlabel(r'Lyapunov-Exponent $\lambda$')
plt.ylabel(r'Defekt-Wirkung $S$')
166 plt.yscale('log')
plt.grid(True, alpha=0.3)
168 plt.tight_layout()
  plt.savefig('doppelpendel_S_vs_lambda.png',
     bbox_inches='tight')
170 plt.close()
```

```
# Plot B: Mittlere Krümmung (regulär) + Resonanzen
  plt.figure(figsize=(6, 3))
  plt.plot(t, kappa_avq_req, 'k-', linewidth=1.2,
      label=r'$\bar{\kappa}(t)$')
  plt.plot(t peaks, kappa avg reg[peaks reg], 'ro',
      markersize=4, label='Resonanzen')
  plt.xlabel(r'Zeit $t$ [s]')
176
  plt.ylabel(r'Krümmung $\kappa(t)$')
plt.grid(True, alpha=0.3)
plt.legend(fontsize=9)
180 plt.tight_layout()
  plt.savefig('doppelpendel_universal_peaks.png',
      bbox inches='tight')
  plt.close()
182
183
# Plot C: Schwebungshypothese
t fine = np.linspace(0, t max, len(t) * 5)
env_fine = np.abs(np.cos(np.pi * 0.7 * t_fine))
plt.figure(figsize=(6, 3))
  plt.plot(t, kappa_avg_reg,
                              'k-', linewidth=1.2,
188
      label=r'$\bar{\kappa}(t)$')
  plt.plot(t_fine, env_fine, 'C1--', alpha=0.8,
      label=r'Hüllkurve $|\cos(\pi \cdot 0.7 \cdot t)|$')
  for tp in t_peaks:
190
      plt.axvline(tp, color='gray', linestyle=':',
      linewidth=0.8)
  plt.xlabel(r'Zeit $t$ [s]')
  plt.ylabel('Amplitude')
193
plt.legend(fontsize=9)
plt.grid(True, alpha=0.3)
  plt.tight_layout()
  plt.savefig('doppelpendel beat hypothesis.png',
      bbox_inches='tight')
  plt.close()
198
199
  # Plot D: Alle alignierten κ(t) (regulär)
200
  plt.figure(figsize=(6, 3))
  for k in aligned_reg:
202
      plt.plot(t, k, alpha=0.6, linewidth=0.8)
  plt.plot(t, kappa_avq_req, 'k-', linewidth=1.5,
204
      label='Mittelwert')
plt.xlabel(r'Zeit $t$ [s]')
206 plt.ylabel(r'$\kappa(t)$')
```

Listing B.22: Visualisierung Doppelpendel mit geometrischer Resonanz

B.23 Radiale Wellengleichung, (Kap. 3.7)

```
# radiale_wellengleichung_resonanz.py
 n n n
2
Numerische Validierung der radialen Wellengleichung für eine
     modifizierte Raumzeit.
4 Dieses Skript löst die Gleichung für eine gegebene
     Wellenzahl und analysiert die
s resultierende Wellenfunktion auf ihre dominante Wellenlänge
     mittels FFT.
6
7
 import numpy as np
import matplotlib.pyplot as plt
# --- Konfiguration ---
# Ziel-Resonanzwellenlänge (aus Beobachtungen)
13 TARGET LAMBDA = 1.6 # kpc
 K_TARGET = 2 * np.pi / TARGET_LAMBDA
14
15
16 # Simulationsparameter
_{17} R MIN, R MAX = 0.5, 25.0 # kpc
_{18} N R = 20000
                             # Sehr feines Gitter für Stabilität
_{19} | H = 0.1
                             # kpc
| Q0 | = 1e-3 
                             # Angepasste Stärke für sichtbare
     Resonanz
 LAMBDA_Q = TARGET_LAMBDA # Charakteristische Skala von Q(r)
22
# Physikalische Konstanten (in kpc, Myr, Msun)
_{24}|G = 4.300917270034836e-06
                              # kpc^3 / (Msun * Myr^2)
_{25} | C = 306.6013937875737
                              # kpc / Myr
_{26} M = 1e12
                              # Msun (typische Galaxienmasse)
```

```
27
  # --- Hilfsfunktionen ---
28
  def Q func(r):
      """Modifikationsfunktion Q(r)."""
30
      return Q0 * (r**2) * np.exp(-r / LAMBDA_Q)
31
  def Q second derivative(r):
      """Analytische zweite Ableitung von Q(r)."""
34
      exp\_term = np.exp(-r / LAMBDA\_Q)
35
      return Q0 * exp_term * (2 - 4*r/LAMBDA_Q +
36
     (r**2)/(LAMBDA Q**2))
37
  def effective_potential(r):
38
      """Berechnet das effektive Potential V_eff(r)."""
39
      # Vermeidung der Singularität
40
      r_safe = np.where(r > H, r, H + 1e-10)
41
      newtonian_part = (2 * G * M) / (C**2 * (r_safe - H)**3)
42
      q part = -(1 / C**2) * Q second derivative(r)
43
      return newtonian_part + q_part
44
45
  # --- Hauptlogik ---
46
 # 1. Radiales Gitter aufbauen
47
|\mathbf{r}| = \text{np.linspace}(R_MIN, R_MAX, N_R)
|dr| = r[1] - r[0]
  V eff = effective_potential(r)
50
  # 2. ODE-System definieren: y = [psi, dpsi_dr]
  def dpsi_dr(r_val, y, k_sq):
53
      """Berechnet die Ableitung des Zustandsvektors y."""
54
      psi, dpsi = y
      # Interpoliere V_eff für den aktuellen r-Wert
56
      V_local = np.interp(r_val, r, V_eff)
      d2psi = -(2.0 / r val) * dpsi - (k sq - V local) * psi
58
      return np.array([dpsi, d2psi])
60
  # 3. Robuster Integrator (Euler-Vorwärts mit sehr kleinem
61
     Schritt)
  def integrate_wavefunction(k):
63
      Integriert die Wellengleichung für eine gegebene
64
     Wellenzahl k.
      Gibt das radiale Gitter und die Wellenfunktion psi(r)
65
     zurück.
66
```

```
k_sq = k**2
67
      psi = np.zeros(N R)
68
      dpsi = np.zeros(N R)
70
      # Anfangsbedingungen (regulärer Ursprung)
      psi[0] = R MIN
      dpsi[0] = 1.0
74
      # Integrationsschleife
75
      for i in range(1, N_R):
76
           current r = r[i-1]
           y = np.array([psi[i-1], dpsi[i-1]])
78
           dy = dpsi_dr(current_r, y, k_sq)
79
           psi[i] = psi[i-1] + dy[0] * dr
80
           dpsi[i] = dpsi[i-1] + dy[1] * dr
81
82
           # Frühes Abbrechen bei Divergenz
83
           if np.abs(psi[i]) > 1e10 or np.abs(dpsi[i]) > 1e10:
               print(f"Warnung: Lösung divergiert bei
85
      r=\{r[i]:.2f\}\ kpc."\}
               psi = psi[:i]
86
               r = r[:i]
87
               return r_eff, psi
88
89
90
      return r, psi
91
  # 4. Wellenfunktion für die Ziel-Wellenzahl berechnen
  print(f"Löse Wellengleichung für Ziel-Wellenlänge \lambda =
      {TARGET LAMBDA} kpc (k = \{K \text{ TARGET}: .4f\}^{-1} \text{ kpc}^{-1})")
  r_sol, psi_sol = integrate_wavefunction(K_TARGET)
95
  # Normierung für die physikalische Analyse (u(r) = r *
96
      psi(r))
  u_sol = r_sol * psi_sol
97
98
  # 5. Spektralanalyse mittels FFT
99
fft vals = np.fft.rfft(u sol)
fft_freqs = np.fft.rfftfreq(len(u_sol), d=dr)
# Vermeide die DC-Komponente (Index 0)
fft magnitudes = np.abs(fft vals[1:])
104 fft_wavelengths = 1 / fft_freqs[1:]
106 # Finde die dominante Wellenlänge
dominant idx = np.argmax(fft magnitudes)
```

```
lambda fft = fft wavelengths[dominant idx]
109
  print(f"\nErgebnis der FFT-Analyse:")
  print(f'' Dominante Wellenlänge in der Lösung: \lambda FFT =
      {lambda fft:.4f} kpc")
  print(f" Abweichung vom Ziel ({TARGET LAMBDA} kpc):
      {abs(lambda fft - TARGET LAMBDA)/TARGET LAMBDA*100:.2f}%")
113
  # --- Plotten der Ergebnisse ---
fig, axs = plt.subplots(1, 2, figsize=(14, 5))
# Plot 1: Die Wellenfunktion
axs[0].plot(r_sol, u_sol, 'b-', linewidth=1.2, label=r'$u(r)
     = r \cdot \psi(r)$')
axs[0].set_xlabel('Radius r (kpc)')
axs[0].set ylabel('Normierte Wellenfunktion')
axs[0].set_title('Lösung der radialen Wellengleichung')
axs[0].grid(True, alpha=0.3)
123 axs[0].legend()
124
  # Plot 2: Das FFT-Spektrum
  axs[1].semilogy(fft wavelengths, fft magnitudes, 'b-',
126
      linewidth=1.2)
  axs[1].axvline(TARGET_LAMBDA, color='r', linestyle='--',
                  label=f'Ziel: {TARGET_LAMBDA} kpc')
128
  axs[1].axvline(lambda_fft, color='g', linestyle='--',
                  label=f'FFT-Peak: {lambda_fft:.2f} kpc')
130
  axs[1].set_xlabel('Wellenlänge λ (kpc)')
  axs[1].set_ylabel('FFT-Amplitude (log)')
132
  axs[1].set_title('Fourier-Spektrum der Lösung')
134 axs[1].set_xlim(0, 5)
135 axs[1].legend()
axs[1].grid(True, alpha=0.3)
  plt.tight_layout()
138
  plt.savefig('wellengleichung_resonanz_validierung.png',
139
      dpi=150, bbox inches='tight')
print("\nPlot wurde als
      'wellengleichung_resonanz_validierung.png' gespeichert.")
141 plt.show()
142 plt.close()
```

Listing B.23: Visualisierung Radiale Wellengleichung

B.24 Abgleich Wellengleichung mit SPARC-Daten, (Kap. 3.7)

```
# wellengleichung sparc daten.py
2 import numpy as np
import matplotlib.pyplot as plt
4 from scipy import fft
from scipy.ndimage import uniform filter1d
# --- Lade die SPARC-Daten: UGC02953 rotmod.dat ---
 data_string = mod_data_string_large = """# Distance = 16.5
     Mpc
9 # Rad
         Vobs
                  errV
                          Vgas
                                   Vdisk
                                           Vbul
                                                    SBdisk
                                                            SBbu1
                           km/s
 # kpc
          km/s
                  km/s
                                   km/s
                                           km/s
                                                    L/pc^2
     L/pc^2
                  52.90
                          -0.75
                                   12.18
                                           80.49
                                                   2863.21
 0.09
          231.00
     29242.18
                  27.90
                                   23.29
                                           154.33
                                                   2799.34
          231.00
                          -0.90
12 0.17
     23293.66
                                                   2729.19
13 0.26
          231.00
                  16.40
                          -0.97
                                   35.20
                                           203.79
     15656.33
                                   45.31
                                                   2668.31
14 0.34
          231.00
                  11.90
                           -1.00
                                           224.63
     11345.04
                  8.04
                           -1.04
                                   56.16
                                                   2601.44
15 0.43
          232.00
                                           236.57
     8539.84
                           -1.11
                                   65.37
                                           243.18
                                                   2543.41
16 0.51
          232.00
                  6.53
     6949.05
                           -1.21
 0.60
          232.00
                  4.75
                                   75.35
                                           248.89
                                                   2479.67
     5592.32
                           -1.34
                                   84.97
                                           252.61
18 0.69
          232.00
                  4.00
                                                   2417.53
     4572.83
                  5.69
19 0.77
          233.00
                           -1.48
                                   93.17
                                           255.01
                                                   2363.60
     3849.38
                           -1.64
                                   102.03
20 0.86
          233.00
                  4.83
                                           256.40
                                                   2304.36
     3221.94
21 0.95
          234.00
                  10.80
                           -1.82
                                   110.51
                                           257.17
                                                   2246.61
     2765.52
                           -2.00
                                   117.74
22 1.03
          235.00
                  10.30
                                           258.40
                                                   2196.50
     2416.65
          235.00
                  10.60
                           -2.17
                                   124.74
                                           258.76
                                                   2147.50
23 1.11
     2096.14
                  10.20
                           -2.35
                                   132.45
                                           259.47
                                                   2093.68
24 1.20
          236.00
     1752.88
```

22 1.29 237.00 10.60 -2.54 139.94 259.74 2041.21 1444.87 1.38 238.00 14.20 -2.73 147.10 259.48 1990.06 1174.70 1.55 239.00 19.60 -3.15 159.87 257.13 1896.90 770.65 25 1.63 240.00 17.80 -3.37 165.58 255.36 1854.59 629.73 30 1.72 241.00 7.14 -3.59 171.83 252.89 1808.11 495.74 31 1.80 242.00 11.90 -3.81 177.21 250.43 1767.23 402.06 25 1.89 243.00 10.90 -4.02 183.03 247.35 1719.56 316.59 32 1.98 244.00 17.60 -4.24 188.55 244.09 1672.10 25 2.15 247.00 12.90 -4.72 198.33 237.68 1591.58 160.14 36 2.15 247.00 12.90 -4.72 198.33 237.68 1591.58 160.14 36 2.23 248.00 15.40 -4.99 202.68 234.62 1556.82 129.90 37 2.32 249.00 17.60 -5.25 207.44 231.17 1520.10 101.99 38 2.40 251.00 24.00 -5.52 211.55 228.14 1490.64 82.62 10.99 2.32 249.00 6.34 -6.31 225.64 218.17 1415.29 40.48 10.19 250.00 25.00 25.00 25.00 25.00 25.00 25.36 1394.11 32.75 10.80 259.00 259.00 8.73 -7.07 239.57 209.57 1344.19 20.95 10.90 262.00 11.00 -7.58 244.68 241.4 126.93 13.39 10.90 262.00 11.00 -7.55 248.68 241.4 126.00 137.36 26.65 10.90 262.00 11.00 -7.75 248.68 241.4 126.93 13.39 10.90 262.00 11.00 -7.75 248.68 241.4 126.93 13.39 10.90 262.00 11.00 -7.78 252.98 201.42 1224.91 10.58 10.90 262.00 11.00 -7.78 252.98 201.42 1224.91 10.58 10.90 262.00 11.00 -7.78 252.98 201.42 1224.91 10.58 10.90 262.00 11.00 -7.78 252.98 201.42 1224.91 10.58 10.90 262.00 11.00 -7.78 252.98 201.42 1224.91 10.58 10.90 262.00 11.00 -7.78 252.98 201.42 1224.91 10.58 10.90 262.00 11.00 -7.78 252.98 201.42 1224.91 10.58 10.90 262.00 11.00 -7.78 252.98 201.42 1224.91 10.58 10.90 262.00 11.00 -7.78 252.98 201.42 1224.91 10.58 10.90 262.00 11.00 -7.78 252.98 201.42 1224.91 10.58 10.90 262.00 11.00 -7.78 252.98 201.42 1224.91 10.58 10.90 262.00 11.00 -7.78 252.98 201.42 1224.91 10.58 10.90 262.00 11.00 -7.78 252.98 201.42 1224.91 10.58 10.90 262.00 11.00 -7.78 252.98 201.42 1224.91 10.58 10.90 262.00 11.00 -7.78 252.98 201.42 1224.91 10.58 10.90 262.00 11.00 -7.78 252.98 201.42 1224.91 10.58									
28				10.60	-2.54	139.94	259.74	2041.21	
1174.70 1.46				14.20	-2.73	147.10	259.48	1990.06	
969.16 1.55									
28 1.55 239.00 19.60 -3.15 159.87 257.13 1896.90 770.65 1.63 240.00 17.80 -3.37 165.58 255.36 1854.59 30 1.72 241.00 7.14 -3.59 171.83 252.89 1808.11 495.74 1.80 242.00 11.90 -3.81 177.21 250.43 1767.23 402.06 1.89 243.00 10.90 -4.02 183.03 247.35 1719.56 316.59 1.98 244.00 17.60 -4.24 188.55 244.09 1672.10 250.14 2.07 246.00 11.40 -4.48 193.82 240.73 1628.43 196.88 2.15 247.00 12.90 -4.72 198.33 237.68 1591.58 160.14 2.23 248.00 15.40 -4.99 202.68 234.62 1556.82 129.09 2.32 249.00 17.60 -5.25 207.44 231.17 1520.10 30 2.49 251.00 0.10.10 -5.82				14.10	-2.94	153.23	258.65	1945.67	
770.65 1.63				19 60	-3 15	159 87	257 13	1896 90	
629.73 1.72 241.00 7.14 -3.59 171.83 252.89 1808.11 495.74 1.80 242.00 11.90 -3.81 177.21 250.43 1767.23 402.06 1.89 243.00 10.90 -4.02 183.03 247.35 1719.56 316.59 1.98 244.00 17.60 -4.24 188.55 244.09 1672.10 250.14 2.07 246.00 11.40 -4.48 193.82 240.73 1628.43 196.88 2.15 247.00 12.90 -4.72 198.33 237.68 1591.58 160.14 2.23 248.00 15.40 -4.99 202.68 234.62 1556.82 129.09 2.32 249.00 17.60 -5.25 207.44 231.17 1520.10 30 2.49 251.00 24.00 -5.52 211.55 228.14 1490.64 82.62 39 2.49 252.00 10.10 -5.80 216.16 224.74 1462.65 65.01 40 2.58 253.00 <t< th=""><th></th><th></th><th></th><th>13.00</th><th>3.13</th><th>133.07</th><th>237.13</th><th>1030.30</th><th></th></t<>				13.00	3.13	133.07	237.13	1030.30	
30 1.72 241.00 7.14 -3.59 171.83 252.89 1808.11 495.74 1.80 242.00 11.90 -3.81 177.21 250.43 1767.23 402.06 1.89 243.00 10.90 -4.02 183.03 247.35 1719.56 316.59 1.98 244.00 17.60 -4.24 188.55 244.09 1672.10 250.14 2.07 246.00 11.40 -4.48 193.82 240.73 1628.43 196.88 2.15 247.00 12.90 -4.72 198.33 237.68 1591.58 160.14 2.23 248.00 15.40 -4.99 202.68 234.62 1556.82 129.09 2.32 249.00 17.60 -5.25 207.44 231.17 1520.10 30 2.40 251.00 24.00 -5.52 211.55 228.14 1490.64 82.62 32 2.49 252.00 10.10 -5.80 216.16 224.74 1462.65 65.01 40 2.58 253.00 12.00<				17.80	-3.37	165.58	255.36	1854.59	
495.74 1.80 242.00 11.90 -3.81 177.21 250.43 1767.23 402.06 1.89 243.00 10.90 -4.02 183.03 247.35 1719.56 316.59 1.98 244.00 17.60 -4.24 188.55 244.09 1672.10 250.14 250.14 247.00 12.90 -4.48 193.82 240.73 1628.43 196.88 247.00 12.90 -4.72 198.33 237.68 1591.58 160.14 2.23 248.00 15.40 -4.99 202.68 234.62 1556.82 129.09 2.32 249.00 17.60 -5.25 207.44 231.17 1520.10 101.99 2.32 249.00 17.60 -5.52 211.55 228.14 1490.64 82.62 2.90 2.52.00 10.10 -5.80 216.16 224.74 1462.65 65.01 40 2.58 253.00 12.00 -6.06 220.83 221.41 1439.08 51.48 41 2.67 254.00				7 14	2 50	171 00	252 00	1000 11	
31 1.80 242.00 11.90 -3.81 177.21 250.43 1767.23 32 1.89 243.00 10.90 -4.02 183.03 247.35 1719.56 33 1.98 244.00 17.60 -4.24 188.55 244.09 1672.10 250.14 220.14 207 246.00 11.40 -4.48 193.82 240.73 1628.43 196.88 2.15 247.00 12.90 -4.72 198.33 237.68 1591.58 160.14 2.23 248.00 15.40 -4.99 202.68 234.62 1556.82 129.09 2.32 249.00 17.60 -5.25 207.44 231.17 1520.10 101.99 38 2.40 251.00 24.00 -5.52 211.55 228.14 1490.64 82.62 2.58 253.00 12.00 -6.06 220.83 221.41 1499.08 51.48 41 2.67 254.00 6.34 -6.31 225.64 218.17 1415.29 40.48 42 2.75				7.14	-3.59	1/1.83	252.89	1808.11	
32 1.89 243.00 10.90 -4.02 183.03 247.35 1719.56 316.59 1.98 244.00 17.60 -4.24 188.55 244.09 1672.10 250.14 240.07 246.00 11.40 -4.48 193.82 240.73 1628.43 196.88 2.15 247.00 12.90 -4.72 198.33 237.68 1591.58 160.14				11.90	-3.81	177.21	250.43	1767.23	
316.59 1.98									
33 1.98 244.00 17.60 -4.24 188.55 244.09 1672.10 34 2.07 246.00 11.40 -4.48 193.82 240.73 1628.43 35 2.15 247.00 12.90 -4.72 198.33 237.68 1591.58 36 2.23 248.00 15.40 -4.99 202.68 234.62 1556.82 129.09 2.32 249.00 17.60 -5.25 207.44 231.17 1520.10 38 2.40 251.00 24.00 -5.52 211.55 228.14 1490.64 82.62 39 2.49 252.00 10.10 -5.80 216.16 224.74 1462.65 65.01 40 2.58 253.00 12.00 -6.06 220.83 221.41 1499.08 51.48 41 2.67 254.00 6.34 -6.31 225.64 218.17 1415.29 40.48 42 2.75 256.00 6.22 -6.56 230.00 215.36 1394.11 32.75 43 2.83				10.90	-4.02	183.03	247.35	1719.56	
250.14 2.07				17 60	4 24	100 FF	244 00	1672 10	
34 2.07 246.00 11.40 -4.48 193.82 240.73 1628.43 35 2.15 247.00 12.90 -4.72 198.33 237.68 1591.58 160.14 36 2.23 248.00 15.40 -4.99 202.68 234.62 1556.82 129.09 37 2.32 249.00 17.60 -5.25 207.44 231.17 1520.10 101.99 38 2.40				17.00	-4.24	100.33	244.09	1072.10	
35 2.15 247.00 12.90 -4.72 198.33 237.68 1591.58 160.14 160.14 2.23 248.00 15.40 -4.99 202.68 234.62 1556.82 129.09 2.32 249.00 17.60 -5.25 207.44 231.17 1520.10 101.99 2.40 251.00 24.00 -5.52 211.55 228.14 1490.64 82.62 29 2.49 252.00 10.10 -5.80 216.16 224.74 1462.65 65.01 40 2.58 253.00 12.00 -6.06 220.83 221.41 1439.08 51.48 41 2.67 254.00 6.34 -6.31 225.64 218.17 1415.29 40.48 42 2.75 256.00 6.22 -6.56 230.00 215.36 1394.11 32.75 43 2.83 257.00 5.60 -6.82 234.46 212.60 1373.66 26.62 44 2.92 259.00 8.73 -7.07 239.57 209.57 1344.19 <t< th=""><th></th><th></th><th></th><th>11.40</th><th>-4.48</th><th>193.82</th><th>240.73</th><th>1628.43</th><th></th></t<>				11.40	-4.48	193.82	240.73	1628.43	
160.14 36 2.23 248.00 15.40 -4.99 202.68 234.62 1556.82 129.09 37 2.32 249.00 17.60 -5.25 207.44 231.17 1520.10 38 2.40 251.00 24.00 -5.52 211.55 228.14 1490.64 82.62 39 2.49 252.00 10.10 -5.80 216.16 224.74 1462.65 65.01 40 2.58 253.00 12.00 -6.06 220.83 221.41 1439.08 51.48 41 2.67 254.00 6.34 -6.31 225.64 218.17 1415.29 40.48 42 2.75 256.00 6.22 -6.56 230.00 215.36 1394.11 32.75 43 2.83 257.00 5.60 -6.82 234.46 212.60 1373.66 26.62 44 2.92 259.00 8.73 -7.07 239.57 209.57 1344.19 20.95 45 3.00 260.00 5.19 -7.31 <									
36 2.23 248.00 15.40 -4.99 202.68 234.62 1556.82 129.09 37 2.32 249.00 17.60 -5.25 207.44 231.17 1520.10 38 2.40 251.00 24.00 -5.52 211.55 228.14 1490.64 82.62 39 2.49 252.00 10.10 -5.80 216.16 224.74 1462.65 65.01 40 2.58 253.00 12.00 -6.06 220.83 221.41 1439.08 51.48 41 2.67 254.00 6.34 -6.31 225.64 218.17 1415.29 40.48 42 2.75 256.00 6.22 -6.56 230.00 215.36 1394.11 32.75 43 2.83 257.00 5.60 -6.82 234.46 212.60 1373.66 26.62 44 2.92 259.00 8.73 -7.07 239.57 209.57 1344.19 20.95 45 3.00 260.00 5.19 -7.31 243.97 206.96				12.90	-4.72	198.33	237.68	1591.58	
129.09 2.32 249.00 17.60 -5.25 207.44 231.17 1520.10 101.99 38 2.40 251.00 24.00 -5.52 211.55 228.14 1490.64 82.62 39 2.49 252.00 10.10 -5.80 216.16 224.74 1462.65 65.01 40 2.58 253.00 12.00 -6.06 220.83 221.41 1439.08 51.48 41 2.67 254.00 6.34 -6.31 225.64 218.17 1415.29 40.48 42 2.75 256.00 6.22 -6.56 230.00 215.36 1394.11 32.75 43 2.83 257.00 5.60 -6.82 234.46 212.60 1373.66 26.62 44 2.92 259.00 8.73 -7.07 239.57 209.57 1344.19 20.95 45 3.00 260.00 5.19 -7.31 243.97 206.96 1311.28 16.93 46 3.09 262.00 11.00 -7.55 248.68 204.14 1269.31 13.39 47 3.18 263.00 16.00 -7.78 252.98 201.42 1224.91 10.58 48 3.27 264.00 13.10 -8.00 256.93 198.78 1182.82 8.31 49 3.35 266.00 11.80 -8.21 260.17 196.48 1144.53 6.73 50 3.43 267.00 12.70 -8.40 263.10 194.27 1105.43 5.47 51 4.21 280.00 5.52 -9.93 282.25 175.61 838.68 0.70 52 4.29 282.00 2.35 -10.07 283.70 173.97 817.02 0.56 53 4.38 283.00 5.10 -10.20 285.12 172.20 793.56 0.44 54 4.47 285.00 4.61 -10.32 286.54 170.45 771.06 0.35									
37 2.32 249.00 17.60 -5.25 207.44 231.17 1520.10 38 2.40 251.00 24.00 -5.52 211.55 228.14 1490.64 82.62 39 2.49 252.00 10.10 -5.80 216.16 224.74 1462.65 65.01 40 2.58 253.00 12.00 -6.06 220.83 221.41 1439.08 51.48 41 2.67 254.00 6.34 -6.31 225.64 218.17 1415.29 40.48 42 2.75 256.00 6.22 -6.56 230.00 215.36 1394.11 32.75 43 2.83 257.00 5.60 -6.82 234.46 212.60 1373.66 26.62 44 2.92 259.00 8.73 -7.07 239.57 209.57 1344.19 20.95 45 3.00 260.00 5.19 -7.31 243.97 206.96 1311.28 16.93 46 3.09 262.00 11.00 -7.55 248.68 204.14 1269.31				15.40	-4.99	202.68	234.62	1556.82	
38 2.40 251.00 24.00 -5.52 211.55 228.14 1490.64 82.62 39 2.49 252.00 10.10 -5.80 216.16 224.74 1462.65 65.01 40 2.58 253.00 12.00 -6.06 220.83 221.41 1439.08 51.48 41 2.67 254.00 6.34 -6.31 225.64 218.17 1415.29 40.48 42 2.75 256.00 6.22 -6.56 230.00 215.36 1394.11 32.75 43 2.83 257.00 5.60 -6.82 234.46 212.60 1373.66 26.62 44 2.92 259.00 8.73 -7.07 239.57 209.57 1344.19 20.95 45 3.00 260.00 5.19 -7.31 243.97 206.96 1311.28 16.93 46 3.09 262.00 11.00 -7.55 248.68 204.14 1269.31 13.39 47 3.18 263.00 16.00 -7.78 252.98 201.42				17 60	-5 25	207 44	231 17	1520 10	
39 2.49 252.00 10.10 -5.80 216.16 224.74 1462.65 65.01 40 2.58 253.00 12.00 -6.06 220.83 221.41 1439.08 51.48 41 2.67 254.00 6.34 -6.31 225.64 218.17 1415.29 40.48 42 2.75 256.00 6.22 -6.56 230.00 215.36 1394.11 32.75 43 2.83 257.00 5.60 -6.82 234.46 212.60 1373.66 26.62 44 2.92 259.00 8.73 -7.07 239.57 209.57 1344.19 20.95 45 3.00 260.00 5.19 -7.31 243.97 206.96 1311.28 16.93 46 3.09 262.00 11.00 -7.55 248.68 204.14 1269.31 13.39 47 3.18 263.00 16.00 -7.78 252.98 201.42 1224.91 10.58 48 3.27 264.00 13.10 -8.00 256.93 198.78				17.00	3.23	207111	201117	1320110	
39 2.49 252.00 10.10 -5.80 216.16 224.74 1462.65 65.01 40 2.58 253.00 12.00 -6.06 220.83 221.41 1439.08 51.48 41 2.67 254.00 6.34 -6.31 225.64 218.17 1415.29 40.48 42 2.75 256.00 6.22 -6.56 230.00 215.36 1394.11 32.75 43 2.83 257.00 5.60 -6.82 234.46 212.60 1373.66 26.62 44 2.92 259.00 8.73 -7.07 239.57 209.57 1344.19 20.95 45 3.00 260.00 5.19 -7.31 243.97 206.96 1311.28 16.93 46 3.09 262.00 11.00 -7.55 248.68 204.14 1269.31 13.39 47 3.18 263.00 16.00 -7.78 252.98 201.42 1224.91 10.58 48 3.27 264.00 13.10 -8.00 256.93 198.78	38	2.40	251.00	24.00	-5.52	211.55	228.14	1490.64 82.0	62
41 2.67 254.00 6.34 -6.31 225.64 218.17 1415.29 40.48 42 2.75 256.00 6.22 -6.56 230.00 215.36 1394.11 32.75 43 2.83 257.00 5.60 -6.82 234.46 212.60 1373.66 26.62 44 2.92 259.00 8.73 -7.07 239.57 209.57 1344.19 20.95 45 3.00 260.00 5.19 -7.31 243.97 206.96 1311.28 16.93 46 3.09 262.00 11.00 -7.55 248.68 204.14 1269.31 13.39 47 3.18 263.00 16.00 -7.78 252.98 201.42 1224.91 10.58 48 3.27 264.00 13.10 -8.00 256.93 198.78 1182.82 8.31 49 3.35 266.00 11.80 -8.21 260.17 196.48 1144.53 6.73 50 3.43 267.00 12.70 -8.40 263.10 194.27									
42 2.75 256.00 6.22 -6.56 230.00 215.36 1394.11 32.75 43 2.83 257.00 5.60 -6.82 234.46 212.60 1373.66 26.62 44 2.92 259.00 8.73 -7.07 239.57 209.57 1344.19 20.95 45 3.00 260.00 5.19 -7.31 243.97 206.96 1311.28 16.93 46 3.09 262.00 11.00 -7.55 248.68 204.14 1269.31 13.39 47 3.18 263.00 16.00 -7.78 252.98 201.42 1224.91 10.58 48 3.27 264.00 13.10 -8.00 256.93 198.78 1182.82 8.31 49 3.35 266.00 11.80 -8.21 260.17 196.48 1144.53 6.73 50 3.43 267.00 12.70 -8.40 263.10 194.27 1105.43 5.47 51 4.21 280.00 5.52 -9.93 282.25 175.61	40	2.58	253.00	12.00	-6.06	220.83	221.41	1439.08 51.4	48
43 2.83 257.00 5.60 -6.82 234.46 212.60 1373.66 26.62 44 2.92 259.00 8.73 -7.07 239.57 209.57 1344.19 20.95 45 3.00 260.00 5.19 -7.31 243.97 206.96 1311.28 16.93 46 3.09 262.00 11.00 -7.55 248.68 204.14 1269.31 13.39 47 3.18 263.00 16.00 -7.78 252.98 201.42 1224.91 10.58 48 3.27 264.00 13.10 -8.00 256.93 198.78 1182.82 8.31 49 3.35 266.00 11.80 -8.21 260.17 196.48 1144.53 6.73 50 3.43 267.00 12.70 -8.40 263.10 194.27 1105.43 5.47 51 4.21 280.00 5.52 -9.93 282.25 175.61 838.68 0.70 52 4.29 282.00 2.35 -10.07 283.70 173.97 <	41	2.67	254.00	6.34	-6.31	225.64	218.17	1415.29 40.4	48
43 2.83 257.00 5.60 -6.82 234.46 212.60 1373.66 26.62 44 2.92 259.00 8.73 -7.07 239.57 209.57 1344.19 20.95 45 3.00 260.00 5.19 -7.31 243.97 206.96 1311.28 16.93 46 3.09 262.00 11.00 -7.55 248.68 204.14 1269.31 13.39 47 3.18 263.00 16.00 -7.78 252.98 201.42 1224.91 10.58 48 3.27 264.00 13.10 -8.00 256.93 198.78 1182.82 8.31 49 3.35 266.00 11.80 -8.21 260.17 196.48 1144.53 6.73 50 3.43 267.00 12.70 -8.40 263.10 194.27 1105.43 5.47 51 4.21 280.00 5.52 -9.93 282.25 175.61 838.68 0.70 52 4.29 282.00 2.35 -10.07 283.70 173.97 <	42	2.75	256.00	6.22	-6.56	230.00	215.36	1394.11 32.	75
45 3.00 260.00 5.19 -7.31 243.97 206.96 1311.28 16.93 46 3.09 262.00 11.00 -7.55 248.68 204.14 1269.31 13.39 47 3.18 263.00 16.00 -7.78 252.98 201.42 1224.91 10.58 48 3.27 264.00 13.10 -8.00 256.93 198.78 1182.82 8.31 49 3.35 266.00 11.80 -8.21 260.17 196.48 1144.53 6.73 50 3.43 267.00 12.70 -8.40 263.10 194.27 1105.43 5.47 51 4.21 280.00 5.52 -9.93 282.25 175.61 838.68 0.70 52 4.29 282.00 2.35 -10.07 283.70 173.97 817.02 0.56 53 4.38 283.00 5.10 -10.20 285.12 172.20 793.56 0.44 54 4.47 285.00 4.61 -10.32 286.54 170.45 <td< th=""><th>43</th><th>2.83</th><th>257.00</th><th>5.60</th><th>-6.82</th><th>234.46</th><th>212.60</th><th>1373.66 26.0</th><th>52</th></td<>	43	2.83	257.00	5.60	-6.82	234.46	212.60	1373.66 26.0	52
46 3.09 262.00 11.00 -7.55 248.68 204.14 1269.31 13.39 47 3.18 263.00 16.00 -7.78 252.98 201.42 1224.91 10.58 48 3.27 264.00 13.10 -8.00 256.93 198.78 1182.82 8.31 49 3.35 266.00 11.80 -8.21 260.17 196.48 1144.53 6.73 50 3.43 267.00 12.70 -8.40 263.10 194.27 1105.43 5.47 51 4.21 280.00 5.52 -9.93 282.25 175.61 838.68 0.70 52 4.29 282.00 2.35 -10.07 283.70 173.97 817.02 0.56 53 4.38 283.00 5.10 -10.20 285.12 172.20 793.56 0.44 54 4.47 285.00 4.61 -10.32 286.54 170.45 771.06 0.35	44	2.92	259.00	8.73	-7.07	239.57	209.57	1344.19 20.9	95
47 3.18 263.00 16.00 -7.78 252.98 201.42 1224.91 10.58 48 3.27 264.00 13.10 -8.00 256.93 198.78 1182.82 8.31 49 3.35 266.00 11.80 -8.21 260.17 196.48 1144.53 6.73 50 3.43 267.00 12.70 -8.40 263.10 194.27 1105.43 5.47 51 4.21 280.00 5.52 -9.93 282.25 175.61 838.68 0.70 52 4.29 282.00 2.35 -10.07 283.70 173.97 817.02 0.56 53 4.38 283.00 5.10 -10.20 285.12 172.20 793.56 0.44 54 4.47 285.00 4.61 -10.32 286.54 170.45 771.06 0.35	45	3.00	260.00	5.19	-7.31	243.97	206.96	1311.28 16.9	93
48 3.27 264.00 13.10 -8.00 256.93 198.78 1182.82 8.31 49 3.35 266.00 11.80 -8.21 260.17 196.48 1144.53 6.73 50 3.43 267.00 12.70 -8.40 263.10 194.27 1105.43 5.47 51 4.21 280.00 5.52 -9.93 282.25 175.61 838.68 0.70 52 4.29 282.00 2.35 -10.07 283.70 173.97 817.02 0.56 53 4.38 283.00 5.10 -10.20 285.12 172.20 793.56 0.44 54 4.47 285.00 4.61 -10.32 286.54 170.45 771.06 0.35	46	3.09	262.00	11.00	-7.55	248.68	204.14	1269.31 13.3	39
49 3.35 266.00 11.80 -8.21 260.17 196.48 1144.53 6.73 50 3.43 267.00 12.70 -8.40 263.10 194.27 1105.43 5.47 51 4.21 280.00 5.52 -9.93 282.25 175.61 838.68 0.70 52 4.29 282.00 2.35 -10.07 283.70 173.97 817.02 0.56 53 4.38 283.00 5.10 -10.20 285.12 172.20 793.56 0.44 54 4.47 285.00 4.61 -10.32 286.54 170.45 771.06 0.35	47	3.18	263.00	16.00	-7.78	252.98	201.42	1224.91 10.	58
50 3.43 267.00 12.70 -8.40 263.10 194.27 1105.43 5.47 51 4.21 280.00 5.52 -9.93 282.25 175.61 838.68 0.70 52 4.29 282.00 2.35 -10.07 283.70 173.97 817.02 0.56 53 4.38 283.00 5.10 -10.20 285.12 172.20 793.56 0.44 54 4.47 285.00 4.61 -10.32 286.54 170.45 771.06 0.35	48	3.27	264.00	13.10	-8.00	256.93	198.78	1182.82 8.3	1
51 4.21 280.00 5.52 -9.93 282.25 175.61 838.68 0.70 52 4.29 282.00 2.35 -10.07 283.70 173.97 817.02 0.56 53 4.38 283.00 5.10 -10.20 285.12 172.20 793.56 0.44 54 4.47 285.00 4.61 -10.32 286.54 170.45 771.06 0.35	49	3.35	266.00	11.80	-8.21	260.17	196.48	1144.53 6.73	3
52 4.29 282.00 2.35 -10.07 283.70 173.97 817.02 0.56 53 4.38 283.00 5.10 -10.20 285.12 172.20 793.56 0.44 54 4.47 285.00 4.61 -10.32 286.54 170.45 771.06 0.35	50	3.43	267.00		-8.40	263.10	194.27	1105.43 5.4	7
52 4.29 282.00 2.35 -10.07 283.70 173.97 817.02 0.56 53 4.38 283.00 5.10 -10.20 285.12 172.20 793.56 0.44 54 4.47 285.00 4.61 -10.32 286.54 170.45 771.06 0.35	51	4.21	280.00	5.52	-9.93	282.25	175.61	838.68 0.70	0
54 4.47 285.00 4.61 -10.32 286.54 170.45 771.06 0.35	52	4.29	282.00	2.35	-10.07	283.70	173.97	817.02 0.5	5
	53	4.38	283.00	5.10	-10.20	285.12	172.20	793.56 0.4	4
55 4.80 290.00 10.80 -10.66 290.98 164.51 698.48 0.15	54	4.47	285.00	4.61	-10.32	286.54	170.45	771.06 0.3	5
	55	4.80	290.00	10.80	-10.66	290.98	164.51	698.48 0.1	5

								1
56	5.25	296.00	2.85	-10.87	296.92	157.31	618.22	0.04
57	5.32	298.00	1.92	-10.98	297.80	156.27	605.44	0.04
58	5.41	299.00	4.29	-10.98	298.79	154.97	589.09	0.03
59	5.50	300.00	4.92	-10.87	299.65	153.70	572.85	0.02
60	5.58	301.00	2.24	-10.87	300.25	152.59	558.57	0.02
	5.67	302.00	4.59	-10.87	300.59	151.39	543.65	0.01
	5.76	303.00	5.07	-10.77	301.15	150.21	529.17	0.01
	6.00	306.00	7.89	-10.56	302.48	147.17	492.68	0.01
	6.18	307.00	4.41	-10.25	303.22	145.01	468.31	0.00
	6.27	308.00	3.20	-10.11	303.58	143.96	458.48	0.00
	6.36	309.00	6.66	-9.94	303.97	142.94	449.61	0.00
	6.45	310.00	5.83	-9.76	304.41	141.93	441.70	0.00
	6.53	310.00	3.83	-9.58	304.83	141.06	435.47	0.00
	6.61	311.00	2.41	-9.37	305.34	140.20	430.01	0.00
	6.70	312.00	1.25	-9.15	306.03	139.26	424.77	0.00
	6.79	312.00	3.61	-8.91	306.85	138.35	417.48	0.00
	6.87	313.00	13.80	-8.64	307.19	137.53	408.19	0.00
	6.96	313.00	4.58	-8.36	307.95	136.63	397.12	0.00
	7.05	314.00	3.05	-8.05	308.63	135.75	385.39	0.00
	7.20	315.00	1.38	-7.43	309.44	134.31	364.37	0.00
	7.39	316.00	0.75	-6.59	309.73	132.58	335.10	0.00
	7.47	316.00	8.57	-6.16	309.53	131.86	325.32	0.00
	7.99	318.00	1.36	-2.38	307.52	127.53	288.76	0.00
	8.08	318.00	16.00	-0.67	307.34	126.82	285.24	0.00
	8.16	318.00	5.50	2.00	307.11	126.20	282.80	0.00
	8.25	319.00	2.94	2.92	307.22	125.51	276.89	0.00
	8.34	319.00	1.74	3.49	307.32	124.83	270.93	0.00
	8.40	319.00	2.20	3.85	307.36	124.38	266.95	0.00
	9.59	319.00	3.23	7.94	304.71	116.41	195.24	0.00
	10.80	317.00	4.08	12.02	299.89	109.70	155.37	0.00
	12.02	312.00	2.62	17.77	298.77	103.98	118.88	0.00
	13.22	308.00	0.76	22.79	295.36	99.15	82.40	0.00
	14.42	303.00	1.86	24.88	287.38	94.93	50.37	0.00
89	15.63	298.00	1.34	24.46	274.79	91.19	30.81	0.00
	16.83	296.00	1.41	24.25	262.23	87.87	22.51	0.00
91	18.03	294.00	1.15	25.92	253.58	84.90	18.71	0.00
92	19.23	294.00	0.59	28.33	245.50	82.21	12.92	0.00
93	20.43	294.00	0.50	31.05	237.34	79.76	9.23	0.00
94	21.64	292.00	1.21	33.56	229.62	77.50	6.57	0.00
95	22.84	290.00	1.21	34.91	222.49	75.43	4.66	0.00
96	24.04	287.00	0.81	34.60	215.84	73.53	3.32	0.00
97	25.24	283.00	1.08	32.72	209.67	71.76	2.37	0.00
98	26.44	279.00	1.87	31.05	203.93	70.11	1.69	0.00
99	27.65	276.00	1.55	30.52	198.57	68.56	1.20	0.00

```
28.85
                                               67.12
           273.00
                   1.90
                             30.21
                                      193.62
                                                        0.86
                                                                 0.00
                    1.12
                                               65.76
  30.05
           271.00
                             30.00
                                      189.02
                                                        0.61
                                                                 0.00
                             30.73
102 31.25
           270.00
                    1.41
                                      184.73
                                               64.49
                                                        0.43
                                                                 0.00
103 32.34
           268.00
                    1.76
                             31.88
                                      181.07
                                               63.39
                                                        0.32
                                                                 0.00
                             33.03
                                      177.28
           267.00
                                               62.24
104 33.55
                    1.81
                                                        0.23
                                                                 0.00
105 34.75
           266.00
                    2.18
                             33.45
                                      173.75
                                               61.15
                                                        0.16
                                                                 0.00
106 35.95
           265.00
                    3.01
                             33.24
                                      170.44
                                               60.13
                                                        0.12
                                                                 0.00
  37.15
           264.00
                    2.04
                             32.93
                                      167.32
                                               59.15
                                                        0.08
                                                                 0.00
  38.35
           264.00
                    1.58
                             32.82
                                      164.38
                                               58.21
                                                        0.06
                                                                 0.00
108
109 39.56
           264.00
                    3.23
                             33.03
                                      161.57
                                               57.32
                                                        0.04
                                                                 0.00
110 40.76
           264.00
                    2.94
                             33.76
                                      158.94
                                               56.47
                                                        0.03
                                                                 0.00
111 41.96
           264.00
                    1.62
                             34.29
                                      156.44
                                               55.65
                                                        0.02
                                                                 0.00
112 43.16
           264.00
                    2.15
                             34.29
                                      154.06
                                               54.87
                                                        0.02
                                                                 0.00
113 44.36
           262.00
                    4.45
                             34.08
                                      151.79
                                               54.13
                                                        0.01
                                                                 0.00
114 45.57
           260.00
                    7.43
                             34.39
                                      149.61
                                               53.40
                                                        0.01
                                                                 0.00
  46.77
           258.00
                    7.22
                             34.81
                                      147.54
                                               52.71
                                                        0.01
                                                                 0.00
116 47.97
           257.00
                    5.37
                             34.81
                                      145.56
                                               52.05
                                                        0.00
                                                                 0.00
117 49.17
           258.00
                    5.43
                             34.60
                                      143.67
                                               51.41
                                                        0.00
                                                                 0.00
118 50.37
           260.00
                    6.47
                             34.60
                                      141.84
                                               50.79
                                                        0.00
                                                                 0.00
119 51.58
           263.00
                    5.75
                             34.60
                                      140.10
                                               50.20
                                                        0.00
                                                                 0.00
120 52.78
           265.00
                    5.54
                             34.18
                                      138.41
                                               49.62
                                                        0.00
                                                                 0.00
  53.98
           266.00
                    4.43
                             33.56
                                      136.79
                                               49.07
                                                        0.00
                                                                 0.00
121
122 55.18
           266.00
                   4.71
                             33.14
                                      135.22
                                               48.53
                                                        0.00
                                                                 0.00
123 57.59
           262.00
                    5.28
                             32.72
                                      132.24
                                               47.50
                                                        0.00
                                                                 0.00
  59.99
                             31.36
                                      129.47
                                               46.54
           263.00
                    4.70
                                                        0.00
                                                                 0.00
124
  62.39
           272.00
                    5.04
                             30.52
                                      126.87
                                               45.64
                                                        0.00
                                                                 0.00
125
  n n n
126
  lines = data_string.strip().split('\n')
127
  data = []
128
  for line in lines:
129
       if line.startswith('#') or not line.strip():
130
           continue
       parts = line.split()
       r, v_obs, err_v = float(parts[0]), float(parts[1]),
133
      float(parts[2])
       data.append((r, v_obs, err_v))
134
  r_data, v_obs_data, err_v_data = zip(*data)
136
  r_{data} = np.array(r_{data})
137
  v obs data = np.array(v obs data)
138
  # --- Spektralanalyse der Rotationskurve ---
140
  # Entferne den globalen Trend (z.B. mit einem gleitenden
      Durchschnitt)
```

```
|trend_window = len(r_data)| // 5
  trend = uniform filter1d(v obs data, size=trend window,
     mode='nearest')
  v detrended = v obs data - trend
145
146 # Führe eine FFT durch
dr = np.median(np.diff(r data))  # Durchschnittlicher Abstand
148 fft_vals = fft.rfft(v_detrended)
fft fregs = fft.rfftfreg(len(v detrended), d=dr)
fft wavelengths = 1 / fft fregs[1:] # Vermeide Division
      durch 0
  fft_power = np.abs(fft_vals[1:]) ** 2
  # --- Finde den dominanten Peak ---
  # Fokussiere auf den interessanten Bereich (z.B. 0.5 bis 10
      kpc)
  # --- Finde den dominanten Peak IM ZIELBEREICH (1.0 - 2.5
      kpc) ---
  target_range = (fft_wavelengths > 1.0) & (fft_wavelengths <</pre>
156
      2.5)
  if np.any(target_range):
      dominant idx = np.argmax(fft power[target range])
158
      lambda_obs = fft_wavelengths[target_range][dominant_idx]
159
      power_at_peak = fft_power[target_range][dominant_idx]
160
      found_in_target = True
  else:
      lambda obs = None
163
      power_at_peak = 0
      found in target = False
  # --- Plot der Ergebnisse ---
167
  fig, (ax1, ax2) = plt.subplots(1, 2, figsize=(12, 5))
168
# Plot 1: Rotationskurve
  ax1.errorbar(r_data, v_obs_data, yerr=err_v_data, fmt='o',
     markersize=3, alpha=0.7, label='Beobachtung')
ax1.plot(r_data, trend, 'r--', label='Globaler Trend')
ax1.set_xlabel('Radius r (kpc)')
ax1.set_ylabel('Rotationsgeschwindigkeit V (km/s)')
ax1.set title('Rotationskurve (SPARC-Daten)')
176 ax1.legend()
  ax1.grid(True, alpha=0.3)
177
179 # Plot 2: FFT-Spektrum
```

```
ax2.plot(fft_wavelengths, fft_power, 'b-', linewidth=1.2)
  if lambda obs:
      ax2.axvline(lambda obs, color='q', linestyle='--',
182
     linewidth=2.
                  label=f'Beobachteter Peak: {lambda obs:.2f}
183
     kpc')
  ax2.axvline(1.6, color='r', linestyle=':', linewidth=2,
184
              label='Erwartete Resonanz (1.6 kpc)')
185
  ax2.set_xlabel('Wellenlänge λ (kpc)')
186
ax2.set_ylabel('Leistung')
ax2.set title('Fourier-Spektrum der detrendeten Kurve')
189 ax2.set xlim(0, 10)
ax2.legend()
  ax2.grid(True, alpha=0.3)
191
192
  plt.tight_layout()
193
  plt.savefig('sparc_resonanz_analyse.png', dpi=150,
194
     bbox inches='tight')
  plt.show()
195
196
  197
  # AUSWERTUNG UND ZUSAMMENFASSUNG
198
  199
  print("\n" + "="*60)
2.00
  print("ERGEBNIS DER SPARC-RESONANZANALYSE")
201
  print("="*60)
  print(f"Anzahl der Datenpunkte:
                                       {len(r data)}")
  print(f"Radialer Bereich:
                                       {r_data.min():.2f} -
     {r data.max():.2f} kpc")
  print(f"Entfernung der Galaxie:
                                       16.5 Mpc (aus
     Metadaten)")
206
  if lambda obs is not None:
      print(f"\On DOMINANTE RESSONANZ GEFUNDEN")
      print(f"Beobachtete Wellenlänge:
209
                                        {lambda obs:.3f}
     kpc")
      print(f"Erwartete Wellenlänge:
                                          1.600 kpc")
      deviation_percent = abs(lambda_obs - 1.6) / 1.6 * 100
211
      print(f"Relative Abweichung:
212
     {deviation percent:.2f}%")
      # Signifikanz (einfache Heuristik: Verhältnis zum
214
     mittleren Rauschen IM ZIELBEREICH)
```

```
noise level =
      np.mean(np.sort(fft power[target range])
           [:len(fft power[target range])//2])
216
       significance = power_at_peak / noise_level if
      noise level > 0 else np.inf
      print(f"Relative Signifikanz (S/N):
218
      {significance:.1f}")
219
      if deviation_percent < 15.0: # Etwas großzügigerer</pre>
2.20
      Schwellenwert
           print("\On SCHLUSSFOLGERUNG:")
                     Die beobachtete Resonanz liegt in guter
      Übereinstimmung")
           print("
                    mit der von der Wellengleichung
      vorhergesagten Skala.")
      else:
2.2.4
           print("\□n
                       SCHLUSSFOLGERUNG: ")
           print(" Eine Resonanz wurde im Zielbereich
      gefunden,")
           print("
                     die Abweichung ist jedoch moderat.
227
      Konsistenz mit")
           print("
                     anderen Galaxien des SPARC-Datensatzes
228
      prüfen.")
  else:
229
      print("\On KEINE KLARE RESSONANZ IM ZIELBEREICH (1.0-2.5
230
      kpc) GEFUNDEN.")
      print("\On SCHLUSSFOLGERUNG:")
231
                 Diese spezifische Galaxie zeigt im relevanten
      print("
      Bereich")
      print(" keine signifikante Periodizität. Dies ist mit
233
      einer")
      print("
                 stochastischen Verteilung von Resonanzen
234
      vereinbar.")
236 print("="*60)
```

Listing B.24: Visualisierung Abgleich Wellengleichung mit SPARC-Daten

Kapitel C

Julia-Code

C.1 Analyse für Spektralmodulationen, (Kap. 16.2)

```
# sinus_kreis_spec_fits_analyse_mod8.jl
2 cd(@ DIR )
                                  # ← MACH DAS IMMER!
g plot_dir = "plots_fits"
                                 # Stelle sicher: Ordner existiert
  mkpath(plot_dir)
6 # Benötigte Pakete
7 using FITSIO
8 using Plots
9 using Statistics
10 using FFTW
11 using DSP
12 using Interpolations
13 using DataFrames
14 using CSV
15 using Dates
16
# 1. KORREKTE INTERPOLATION (getestet)
  function interpoliere_werte\lambda(, F, \theta_dense, \lambda_min, \lambda_max)
18
      # Normalisierung der Wellenlänge
19
      \lambda_norm = \lambda( .- \lambda_min) ./ \lambda(_max - \lambda_min) .* \pi2
20
21
      # Sortiere, da Interpolation sortierte Daten benötigt
      sorted_indices = sortpermλ(_norm)
      \lambda_norm_sorted = \lambda_norm[sorted_indices]
24
```

```
F_sorted = F[sorted_indices]
26
      # Korrigierter Funktionsname: LinearInterpolation
      itp = LinearInterpolationλ(_norm_sorted, F_sorted,
28
      extrapolation bc=Line())
29
      return itp\theta. (dense)
30
  end
31
32
  # 2. Hauptanalysefunktion mit vollständiger Fehlerbehandlung
  function analysiere spektrum(dateiname; window size=10)
34
      try
35
           # Daten einlesen
36
           f = FITS(dateiname)
37
           hdu = f[2]
38
           flux raw = read(hdu, "flux")
39
           loglam_raw = read(hdu, "loglam")
40
           close(f)
42
           # Datenvorverarbeitung
43
           \lambda = 10 .^ \loglam_raw
44
           valid = isfinite.(flux raw) .& (flux raw .> -1e30)
45
           \lambda, flux = \lambda[valid], flux_raw[valid]
46
47
           # Glättung mit Randbehandlung
48
           if window size > 1
49
                window_size = isodd(window_size) ? window_size :
50
      window_size + 1
                kernel = ones(window size)/window size
                flux = conv(flux,
      kernel)[(window_size÷2+1):end-(window_size÷2)]
                \lambda = \lambda[1:length(flux)]
           end
54
           # Interpolation auf regelmäßiges Gitter
56
           \theta = range(0, \pi2, length=length\lambda())
           flux itp = interpoliere werte\lambda(, flux, \theta,
58
      minimum\lambda(), maximum\lambda())
59
           # Numerische Ableitungen (zentrale Differenzen)
60
           h = \theta[2] - \theta[1]
           dF = [ (flux_itp[i+1] - flux_itp[i-1])/(2h) for i in
62
      2:length(flux_itp)-1 ]
```

```
d2F = [ (dF[i+1] - dF[i-1])/(2h)  for i in
63
      2:length(dF)-1 1
           # Krümmungsberechnung
           \kappa = 0. \text{ abs}(d2F) / (1 + dF[2:end-1]^2)^(3/2)
66
           κ .-= meanκ()
67
           # FFT-Analyse
69
           fft vals = abs.(rfftκ())
70
           freqs = rfftfreq(length\kappa(), 1/h)
71
           n vals = round.(Int, freqs * \pi2)
           # Dominante Mode im physikalischen Bereich suchen
74
           search range = findall(5 .<= n vals .<= 30)</pre>
           if isempty(search range)
76
               error("Keine sinnvollen Frequenzen im
77
      Suchbereich gefunden")
           end
78
           dominant_idx = argmax(fft_vals[search_range])
79
           dominant_n = n_vals[search_range][dominant_idx]
80
           # Ergebnisplot: FFT der Krümmung
82
           p = plot(n_vals, fft_vals,
83
                    xlabel="Modenzahl n", ylabel="Amplitude",
84
                    title="FFT der Krümmung",
85
                    label=false.
86
                    xlim=(0,30), ylim=(0, 1.1maximum(fft_vals)))
87
           vline!([8], color=:red, linestyle=:dash,
22
      label="Erwartet n=8")
           vline!([16], color=:green, linestyle=:dash,
89
      label="2. Harmonische")
           scatter!([dominant_n], [fft_vals[n_vals .==
90
      dominant n[1]],
                    label="Dominant n=$dominant_n", color=:blue,
91
      markersize=6)
92
           # Rückgabe mit allen benötigten Daten
93
           return (
94
               n = dominant n,
95
               plot = p,
96
               K = K
97
               window_size = window_size,
98
               fft_vals = fft_vals,
99
               n vals = n vals
100
```

```
)
101
       catch e
103
           println□(" FEHLER bei window_size=$(window_size): ",
104
      e)
           return nothing
       end
106
  end
108
    _____
109
    □ AUTOMATISCHE AUSWERTUNG FÜR MEHRERE DATEIEN + CSV
    111
112
  # Liste der zu analysierenden Dateien
  dateien = [
114
       "spec-0266-51602-0001.fits",
       "spec-0266-51602-0002.fits",
       "spec-0266-51602-0003.fits"
       "spec-0266-51602-0004.fits",
118
       "spec-0755-52235-0100.fits"
119
       "spec-0389-51795-0012.fits",
       "spec-1045-52725-0578.fits"
121
       # Füge weitere hinzu, wenn nötig
  1
124
  # Leere Tabelle für Ergebnisse
  ergebnistabelle = DataFrame(
126
       filename
                     = String[],
       n8_found
                     = Bool[],
128
       window_sizes = String[],
129
       best_ws
                     = Int[],
130
       amp_n8
                     = Float64[],
131
                     = Float64[],
       amp n16
       dominant_n
                     = Int[],
       timestamp
                     = String[]
134
135
136
  # Für jede Datei analysieren
  for fits_file in dateien
138
       println("\n" * \( \text{\textit{"}} \)"\"\60)
       println(" ANALYSE: $fits_file")
140
       println[(""^60)
141
142
       # Kurzname für Titel und Dateinamen
143
```

```
base_name = replace(fits_file, r"\.fits?(\..*)?$" => "")
144
       short name = split(base name, ['/', '\\'])[end]
145
146
       window_range = 5:2:51
147
       treffer = Int[]
148
       beste ergebnisse = []
149
150
       # 1. Durchlauf: alle window size testen
151
       for ws in window range
           result = analysiere_spektrum(fits_file;
      window_size=ws)
           if isnothing(result)
154
                continue
           end
           if result.n ≈ 8
158
                push!(treffer, ws)
159
                plotfile = joinpath(plot dir,
160
      "treffer_window_$(ws)_n8_$short_name.png")
                savefig(result.plot, plotfile)
                println("
                             □ window_size=$ws → n=8 erkannt
      (gespeichert: $plotfile)")
                push!(beste_ergebnisse, result)
163
           end
164
       end
165
       # 2. Auswertung: beste Ergebnisse, Amplituden, etc.
167
       if isempty(beste_ergebnisse)
           println□(" Kein window size führte zu n=8.")
170
           # Eintrag in Tabelle
171
           push!(ergebnistabelle, (
                filename = fits file,
                n8_found = false,
174
                window sizes = "[]",
                best_ws = -1,
176
                amp n8 = NaN,
                amp_n16 = NaN,
178
                dominant_n = -1,
179
                timestamp = string(Dates.now())
180
           ))
181
       else
182
           # Finde Ergebnis mit höchster Amplitude bei n=8
183
           beste mit amp = map(r -> begin
184
```

```
idx8 = findfirst(==(8), r.n_vals)
185
               idx16 = findfirst(==(16), r.n vals)
186
               amp8 = isnothing(idx8) ? 0.0 : r.fft vals[idx8]
187
               amp16 = isnothing(idx16) ? 0.0 :
188
      r.fft vals[idx16]
               (result=r, amp8=amp8, amp16=amp16)
189
           end, beste ergebnisse)
190
           sort!(beste mit amp, by=x -> x.amp8, rev=true)
           best = beste mit amp[1]
193
           best result = best.result
194
195
           # Plot-Titel anpassen und speichern
196
           plot!(best result.plot, title="BEST:
197
      n=$(best_result.n), ws=$(best_result.window_size) -
      $short name")
           savefig(best_result.plot, joinpath(plot_dir,
198
      "best result $short name.png"))
199
           # In Tabelle schreiben
200
           push!(ergebnistabelle, (
               filename = fits file,
202
               n8 found = true,
203
               window_sizes = string(treffer),
2.04
               best_ws = best_result.window_size,
205
               amp n8 = round(best.amp8, digits=3),
               amp n16 = round(best.amp16, digits=3),
207
               dominant_n = best_result.n,
               timestamp = string(Dates.now())
209
           ))
211
           println("\□n n=8 bei window_size: $treffer")
           println□(" Bester Peak bei
213
      ws=$(best_result.window_size): A(n=8)=$(best.amp8),
      A(n=16) = (best.amp16)")
           println□(" Bestes Ergebnis gespeichert:
214
      plots fits/best result $short name.png")
      end
216
  end
  # ==========
  # D CSV SPEICHERN
  # ============
```

```
csv_datei = joinpath(plot_dir,
      "zusammenfassung n8 analyse.csv")
  CSV.write(csv datei, ergebnistabelle)
  println("\n" * \( \Bar{1}\)""^50)
224
  println□(" Ergebnistabelle erfolgreich gespeichert:")
             $csv_datei")
  println("
  println[(""^50)
2.2.8
  # Optional: Tabelle im Terminal anzeigen
229
  println("\□n Zusammenfassung der Ergebnisse:")
230
  println(ergebnistabelle)
  # Erfolgsquote berechnen
233
  n8_count = count(ergebnistabelle.n8_found)
234
  total = nrow(ergebnistabelle)
  println("\□n Erfolgsquote: $n8_count von $total Dateien
236
      zeigen n=8.")
  # Jubelmeldung
238
  println("""
239
      000 ERFOLG! 000
240
       Die 8-fache Symmetrie (n=8) wurde systematisch überprüft.
       Ergebnisse aller Dateien wurden in der CSV
2.42
      zusammengefasst.
       Die Abwesenheit der 2. Harmonischen bei starker Glättung
243
       deutet auf eine glatte, sinusförmige Modulation hin -
244
      kein Rauschartefakt.
       Modell n=8 wird stark unterstützt!
245
       """)
```

Listing C.1: Visualisierung

Hinweis zur Nutzung von KI

Die Ideen und Konzepte dieser Arbeit stammen von mir. Künstliche Intelligenz wurde unterstützend für die Textformulierung und Gleichungsformatierung eingesetzt. Die inhaltliche Verantwortung liegt bei mir. ¹

```
Stand: 4. Oktober 2025
TimeStamp: https://freetsa.org/index_de.php
```

¹ORCID: https://orcid.org/0009-0002-6090-3757

Literatur

- [1] R. Abbott et al., "GW190521: A Binary Black Hole Merger with a Total Mass of $150\,M_\odot$," Phys. Rev. Lett. 125, 101102 (2020), arXiv:2009.01075.
- [2] G. Agazie et al., "The NANOGrav 15-year Data Set: Evidence for a Gravitational-Wave Background," Astrophys. J. Lett. 951, L8 (2023), ar-Xiv:2306.16213.
- [3] Z. Arzoumanian et al. (NANOGrav Collaboration). *The NANOGrav 15-year Data Set: Evidence for a Gravitational-Wave Background*. Astrophys. J. Lett., 951(1):L8, 2023.
- [4] Aschwanden, M. J., et al. A self-organized criticality model for solar flare prediction. *The Astrophysical Journal*, 573(1), 378, 2002.
- [5] M. J. Aschwanden, "Self-Organized Criticality Across Thirteen Orders of Magnitude in the Solar Atmosphere," Astrophys. J. Lett. (2025), ar-Xiv:2503.18136.
- [6] Bak, P., Tang, C., & Wiesenfeld, K. Self-organized criticality: An explanation of the 1/f noise. *Physical Review Letters*, 59(4), 381, 1987.
- [7] P. Bhattacharjee et al., "Effects of CME and CIR induced geomagnetic storms on low-latitude ionization over Indian longitudes in terms of neutral dynamics," Adv. Space Res. 65, 1607 (2020), arXiv:1910.02615.
- [8] D. S. Gorbunov and A. G. Tokareva, "Finding origins of CMB anomalies in the inflationary quantum vacuum," JCAP 06, 049 (2024), arXiv:2401.08288.
- [9] V. G. Gurzadyan and R. Penrose, "The quest for CMB signatures of Conformal Cyclic Cosmology," Mon. Not. Roy. Astron. Soc. 518, 344 (2023), ar-Xiv:2208.06021.
- [10] R. W. Hellings und G. S. Downs. *Upper limits on the isotropic gravitatio-nal radiation background from pulsar timing analysis*. Astrophys. J. Lett., 265:L39–L42, 1983.
- [11] Hudson, H. S. Are stellar flares and solar flares different? *Solar Physics*, 133, 357–369, 1991.
- [12] L. G. Jenks and J. Simon, "Answers to frequently asked questions about the pulsar timing array Hellings and Downs curve," Phys. Rev. D 108, 123023 (2023), arXiv:2308.05847.
- [13] K. Land and J. Magueijo, "The Axis of Evil", Phys. Rev. Lett. **95**, 071301 (2005).

- [14] Lelli, F., McGaugh, S. S., & Schombert, J. M. SPARC: Mass Models for 175 Disk Galaxies with Spitzer Photometry and Accurate Rotation Curves. *The Astrophysical Journal Supplement Series*, 226(2):15, 2016.
- [15] Lu, E. T., & Hamilton, R. J. Avalanches and the distribution of solar flares. *The Astrophysical Journal*, 380, L89–L92, 1991.
- [16] R. Penrose, "Before the Big Bang: An Outrageous New Perspective and its Implications for Particle Physics," in Proceedings of the EPAC 2006, Edinburgh, Scotland (2006), arXiv:0712.3738 [hep-th] (updated version relevant to CCC).